

การหาแบบจำลองวงจรทระดับที่ใช้กึ่งควบคุมแรงดันด้วยวิธีชักตัวอย่างข้อมูล



นาย อนันต์ สุกราวงศ์

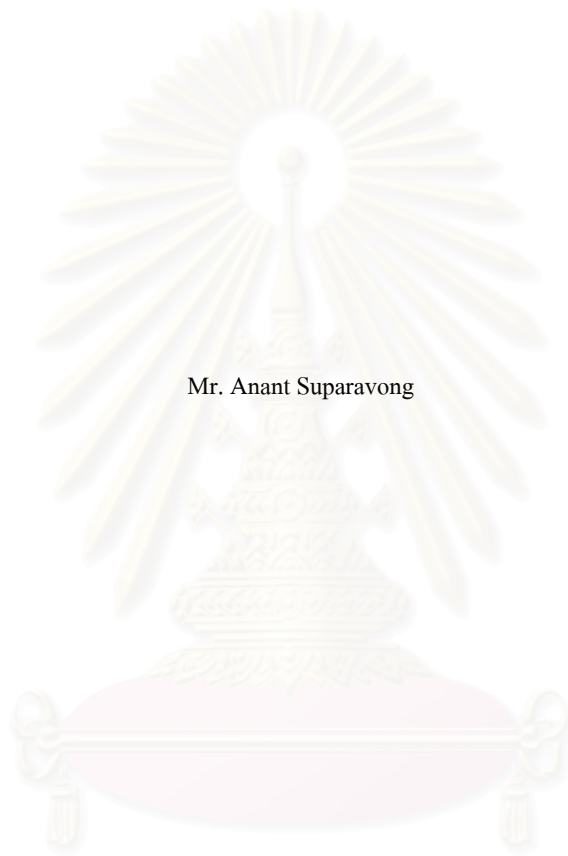
สถาบันวิทยบริการ
วิทยานิพนธ์นี้เป็นส่วนหนึ่งของการศึกษาตามหลักสูตรปริญญาวิศวกรรมศาสตรมหาบัณฑิต
สาขาวิชาวิศวกรรมไฟฟ้า ภาควิชาวิศวกรรมไฟฟ้า
คณะวิศวกรรมศาสตร์ จุฬาลงกรณ์มหาวิทยาลัย

ปีการศึกษา 2547

ISBN 974-53-1206-1

ลิขสิทธิ์ของจุฬาลงกรณ์มหาวิทยาลัย

SAMPLED-DATA MODELING OF BOOST CONVERTER USING VOLTAGE CONTROL BRANCH



Mr. Anant Suparavong

A Thesis Submitted in Partial Fulfillment of the Requirements
for the Degree of Master of Engineering in Electrical Engineering

Department of Electrical Engineering

Faculty of Engineering

Chulalongkorn University

Academic Year 2004

ISBN 974-53-1206-1

หัวข้อวิทยานิพนธ์ การหาแบบจำลองวงจรทระดับที่ใช้กิ่งควบคุมแรงดันด้วยวิธีซีกตัวอย่างข้อมูล
โดย นาย อนันต์ สุกราวงศ์
สาขาวิชา วิศวกรรมไฟฟ้า
อาจารย์ที่ปรึกษา รองศาสตราจารย์ ดร. ยุทธนา กุลวิทิต

คณะวิศวกรรมศาสตร์ จุฬาลงกรณ์มหาวิทยาลัย อนุมัติให้หัวข้อวิทยานิพนธ์ฉบับนี้เป็นส่วนหนึ่ง
ของการศึกษาตามหลักสูตรปริญญาวิทยาศาสตรบัณฑิต

..... คณบดีคณะวิศวกรรมศาสตร์
(ศาสตราจารย์ ดร. ดิเรก ลาวัณย์ศิริ)

คณะกรรมการสอบวิทยานิพนธ์

..... ประธานกรรมการ
(อาจารย์ ดร. สมบูรณ์ แสงวงศ์วานิชย์)

..... อาจารย์ที่ปรึกษา
(รองศาสตราจารย์ ดร. ยุทธนา กุลวิทิต)

สถาบันวิทยบริการ
จุฬาลงกรณ์มหาวิทยาลัย
..... กรรมการ
(ผู้ช่วยศาสตราจารย์ ดร. มานพ วงศ์สายสุวรรณ)

อนันต์ ศุภราชวงศ์ : การหาแบบจำลองวงจรทระดับที่ใช้กึ่งควบคุมแรงดันด้วยวิธีชั้กตัวอย่างข้อมูล.
(SAMPLED-DATA MODELING OF BOOST CONVERTER USING VOLTAGE CONTROL
BRANCH) อ. ที่ปริิษา: รศ. ดร. ยุทธนา กุลวิทิต, 86 หน้า. ISBN 974-53-1206-1.

ได้มีการใช้วิธีหาแบบจำลองโดยวิธีชั้กตัวอย่างข้อมูลเพื่อคำนวณหาแบบจำลองสัญญาณขนาดเล็้กของ
วงจรทระดับที่ใช้กึ่งควบคุมแรงดัน ที่ใช้อินเวอร์เตอร์เรโซแนนซ์อนุกรมทำหน้าที่เป็นแหล่งกระแสของกึ่ง
ควบคุมแรงดัน ในแต่ละคาบของการทำงานประกอบด้วย 4 ช่วงเวลาที่มีรูปแบบของวงจรเป็นแบบเชิงเส้นที่
แตกต่างกัน ตำแหน่งเวลาชั้กตัวอย่างข้อมูลจะเลือกให้ตรงกับเวลาสิ้นสุดของแต่ละคาบ สมการผลต่างสืบเนื่อง
ของวงจรเชิงเส้นที่ไม่แปรผันตามเวลาให้ความสัมพันธ์ระหว่างตัวแปรสถานะที่จุดสิ้นสุดคาบการสวิตช์สอง
คาบที่ติดต่อกันคำนวณจากผลเฉลยของสมการสถานะของแต่ละรูปลักษณะ โดยใช้ค่าสุดท้ายของช่วงเวลาก่อน
หน้าเป็นค่าเริ่มต้นของช่วงเวลาคัดไป การหาแบบจำลองแบบเชิงเส้นจากแบบจำลองสำหรับสัญญาณขนาดใหญ่
ใช้อนุพันธ์อันดับหนึ่งของอนุกรมเทเลอร์ ทำให้ได้สมการผลต่างสืบเนื่องของการเปลี่ยนแปลงขนาดเล็้กของตัว
แปรสถานะจากคาบหนึ่งไปยังอีกคาบหนึ่ง จากนั้นจึงเปลี่ยนสมการผลต่างสืบเนื่องของการเปลี่ยนแปลงขนาด
เล็้กให้เป็นสมการอนุพันธ์ของการเปลี่ยนแปลงขนาดเล็้กของตัวแปรสถานะเพื่อใช้คำนวณหาฟังก์ชันโอนย้าย
แบบต่อเนื่อง ซึ่งได้แก่ ผลตอบเชิงความถี่ของตัวแปรควบคุมไปสู่ตัวแปรด้านออก ผลตอบเชิงความถี่ตัวแปรด้าน
เข้าไปสู่ตัวแปรด้านออก อิมพีแดนซ์ด้านเข้าและอิมพีแดนซ์ด้านออก โดยคำนวณสำหรับเงื่อนไขการทำงานที่
แตกต่างกัน 4 เงื่อนไข และนำไปเปรียบเทียบกับผลการทดลองและผลการจำลองด้วยคอมพิวเตอร์

สถาบันวิทยบริการ
จุฬาลงกรณ์มหาวิทยาลัย

ภาควิชา.....วิศวกรรมไฟฟ้า..... ลายมือชื่อนิสิต.....
สาขาวิชา.....วิศวกรรมไฟฟ้า..... ลายมือชื่ออาจารย์ที่ปรึกษา.....
ปีการศึกษา..... 2547.....

4470725321 : MAJOR POWER ELECTRONICS

KEYWORD : BOOST CONVERTER / CIRCUIT AVERAGING / DC MODEL / SAMPLED-DATA /
SMALL-SIGNAL MODEL / STATE-SPACE AVERAGING / VOLTAGE CONTROL BRANCH

ANANT SUPARAVONG: SAMPLED-DATA MODELING OF BOOST CONVERTER USING
VOLTAGE CONTROL BRANCH. THESIS ADVISOR : ASSOC. PROF. YOUTHANA
KULVITIT, Ph.D., 86 pp. ISBN 974-53-1206-1

Sampled-data modeling technique was applied to derive a small-signal model of a boost converter using voltage control cell. Series resonant inverter was used as a current source of the voltage control cell. In each switching period, the operation of the converter consists of four switching intervals with different linear circuit configurations. The sampling instant was chosen to coincide with the end of each switching period. Discrete-time equation of a linear time invariant system relating state vector at the end of two successive switching periods was derived by calculating consecutively the forced response of state-space model of each circuit configuration using final values of the preceding interval as an initial values of the interval under consideration. Linearization of the large signal discrete-time equation using first order Tailors' series expansion led to a discrete-time equation describing a small change of state vector from one sampling instant to the next. Small signal discrete-time equation was then converted to continuous-time equation so that the continuous-time transfer function could be derived. Frequency response of control to output, line to output, input and output impedances of the converter for four different operating conditions were calculated and compared with those obtained experimentally. The results of computer simulation as well as those calculated from circuit averaging model were also presented for comparison.

สถาบันวิทยบริการ
จุฬาลงกรณ์มหาวิทยาลัย

DepartmentELECTRICAL ENGINEERING..... Student's signature

Field of study ...ELECTRICAL ENGINEERING... Advisor's signature

Academic year2004.....

กิตติกรรมประกาศ

วิทยานิพนธ์นี้สำเร็จลุล่วงไปได้ด้วยความช่วยเหลือและความเอาใจใส่ของอาจารย์ที่ปรึกษาอันเป็นที่รักยิ่งของข้าพเจ้า รองศาสตราจารย์ ดร. ยุทธนา กุลวิฑิต ซึ่งได้ทุ่มเทแรงกายแรงใจให้คำแนะนำด้านต่างๆ ที่เป็นประโยชน์ต่อการทำวิจัยตลอดมาและยังมีบุคคลที่ต้องกล่าวถึงคือ นาย โสภณ อุดมรัตนานนท์ เป็นผู้ศึกษา วิจัยงานทางด้านการหาแบบจำลองวงจรแปลงผันไฟตรง-ไฟตรงและเป็นรุ่นพี่ที่ห้องปฏิบัติการวิจัยอิเล็กทรอนิกส์กำลังของข้าพเจ้า ซึ่งได้ให้คำแนะนำที่จุดประกายความคิดในการหาหัวข้อวิทยานิพนธ์และข้อมูลอันมีค่าแก่ข้าพเจ้า

ขอขอบคุณบัณฑิตวิทยาลัยที่ให้ทุนสนับสนุนในการทำวิจัย ตลอดจนรุ่นพี่ รุ่นน้องและเพื่อนๆ ห้องปฏิบัติการวิจัยอิเล็กทรอนิกส์กำลังทุกคนที่ให้ความช่วยเหลือและคำแนะนำในการพัฒนางานวิจัย รวมถึงอาจารย์ทุกท่านที่ให้ความรู้ตั้งแต่อดีตจนกระทั่งถึงปัจจุบัน

สุดท้ายนี้ผู้วิจัยขอขอบพระคุณบิดา มารดา และญาติพี่น้อง ผู้ซึ่งให้โอกาสทางการศึกษา และเป็นกำลังใจด้วยดีเสมอมา



สถาบันวิทยบริการ
จุฬาลงกรณ์มหาวิทยาลัย

สารบัญ

	หน้า
บทคัดย่อภาษาไทย	ง
บทคัดย่อภาษาอังกฤษ.....	จ
กิตติกรรมประกาศ.....	ฉ
สารบัญ.....	ช
สารบัญตาราง.....	ซ
สารบัญภาพ	ฅ
รายการสัญลักษณ์	ญ
บทที่	
1 ความเป็นมาของวงจรทระดับที่ใช้กึ่งควบคุมแรงดัน	1
1.1 ความเป็นมาของวงจร	1
1.2 วัตถุประสงค์ของงานวิจัย	7
1.3 ขอบเขตของงานวิจัย.....	7
1.4 ขั้นตอนและวิธีการดำเนินงาน	7
1.5 ประโยชน์ที่คาดว่าจะได้รับ	7
2 การหาแบบจำลองของวงจรแปลงผันไฟตรง-ไฟตรง.....	8
2.1 วิธีเฉลี่ยวงจร	11
2.2 วิธีเฉลี่ยปริภูมิสถานะ	13
2.3 วิธีชักตัวอย่างข้อมูล.....	15
3 แบบจำลองสัญญาณขนาดใหญ่.....	18
3.1 คำนวณหาสมการปริภูมิสถานะ	18
3.2 คำนวณหาแบบจำลองความถี่ต่ำ.....	28
4 แบบจำลองสัญญาณขนาดเล็ก	35
4.1 คำนวณหาสมการสัญญาณขนาดเล็กของสมการผลต่างสี่บหนึ่ง	35
4.2 คำนวณหาตัวแปรรั้งความของตัวแปรตำแหน่งเวลา.....	40
4.2.1 คำนวณหาตัวแปรรั้งความของ t_1 ในรูปของ $x(t_0)$ กับ $u(t_0)$	40
4.2.2 คำนวณหาตัวแปรรั้งความของ t_3 ในรูปของ $x(t_0)$ กับ $u(t_0)$	42
4.3 กำจัดตัวแปรรั้งความของตัวแปรตำแหน่งเวลา.....	47
4.4 คำนวณหาสมการสัญญาณขนาดเล็กของสมการอนุพันธ์	49
4.5 คำนวณหาแบบจำลองสัญญาณขนาดเล็กของฟังก์ชัน โอชียัย	49

สารบัญ (ต่อ)

บทที่	หน้า
5 ผลการเปรียบเทียบผลตอบสนองเชิงความถี่	51
5.1 ผลตอบสนองเชิงความถี่ของฟังก์ชัน โอนย้ายวงรอบเปิดสำหรับคุณลักษณะ HLLL	53
- ฟังก์ชัน โอนย้ายวงรอบเปิดจากแรงดันด้านเข้าสู่แรงดันด้านออก	53
- ฟังก์ชัน โอนย้ายวงรอบเปิดจากกระแสด้านเข้าสู่แรงดันด้านเข้า	55
- ฟังก์ชัน โอนย้ายวงรอบเปิดจากความถี่การสวิตช์สู่แรงดันด้านออก.....	57
- ฟังก์ชัน โอนย้ายวงรอบเปิดจากแหล่งกระแสด้านออกสู่แรงดันด้านออก.....	59
5.2 ผลตอบสนองเชิงความถี่ของฟังก์ชัน โอนย้ายวงรอบเปิดสำหรับคุณลักษณะ LLFL	61
- ฟังก์ชัน โอนย้ายวงรอบเปิดจากแรงดันด้านเข้าสู่แรงดันด้านออก	61
- ฟังก์ชัน โอนย้ายวงรอบเปิดจากกระแสด้านเข้าสู่แรงดันด้านเข้า	63
- ฟังก์ชัน โอนย้ายวงรอบเปิดจากความถี่การสวิตช์สู่แรงดันด้านออก.....	65
- ฟังก์ชัน โอนย้ายวงรอบเปิดจากแหล่งกระแสด้านออกสู่แรงดันด้านออก.....	67
6 สรุปผลและข้อเสนอแนะ.....	69
6.1 สรุปผล.....	69
6.2 ข้อเสนอแนะ	69
รายการอ้างอิง	70
ประวัติผู้เขียนวิทยานิพนธ์	72

สารบัญตาราง

ตารางที่

หน้า

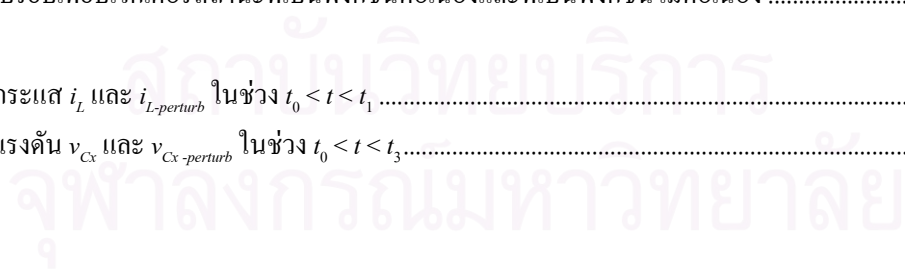
5.1 ค่าไฟตรงในสภาวะอยู่ตัวของวงจร 52



สถาบันวิทยบริการ
จุฬาลงกรณ์มหาวิทยาลัย

สารบัญภาพ

รูปที่	หน้า
1.1 วงจรเพิ่มค่าตัวประกอบกำลังแบบซาร์จปั๊ม	1-2
1.2 วงจรทระดับที่ใช้สวิตช์ PWM.....	2
1.3 วงจรทระดับที่ใช้หน่วยควบคุมแรงดัน (VCC)	3
1.4 วงจรทระดับที่ใช้หน่วยควบคุมเรียงกระแส (RCC)	3
1.5 วงจรทระดับที่ใช้กึ่งควบคุมแรงดันแบบที่มีการตรึงแรงดันของตัวเก็บประจุซาร์จปั๊ม.....	4
1.6 วงจรทระดับที่ใช้กึ่งควบคุมแรงดันกรณีใช้อินเวอร์เตอร์เป็นแหล่งกระแสควบคุม.....	5
1.7 วงจรสมมูลของวงจรทระดับที่ใช้กึ่งควบคุมแรงดันกรณีใช้อินเวอร์เตอร์เป็นแหล่งกระแสควบคุม แบบ พิจารณาเฉพาะความถี่หลักมูล.....	6
2.1 แผนภาพบล็อกระบบควบคุมของวงจรแปลงผันไฟตรง-ไฟตรง	8
2.2 การทำให้สัญญาณไม่แปรผันตามเวลา.....	9
2.3 แบบจำลองที่ได้จากวิธีเฉลี่ยวงจร.....	12
2.4 เปรียบเทียบสัญญาณต่อเนื่อง $x(t)$ และสัญญาณไม่ต่อเนื่อง $x(nT)$	15
3.1 วงจรทระดับที่ใช้กึ่งควบคุมแรงดันกรณีใช้อินเวอร์เตอร์เป็นแหล่งกระแสควบคุม.....	18
3.2 รูปคลื่นกระแสและแรงดันของวงจรในสภาวะอยู่ตัว.....	19
3.3 วงจรทระดับที่ใช้กึ่งควบคุมแรงดันในช่วงเวลา $t_0 < t < t_1$	20
3.4 วงจรทระดับที่ใช้กึ่งควบคุมแรงดันในช่วงเวลา $t_1 < t < t_2$	23
3.5 วงจรทระดับที่ใช้กึ่งควบคุมแรงดันในช่วงเวลา $t_2 < t < t_3$	25
3.6 วงจรทระดับที่ใช้กึ่งควบคุมแรงดันในช่วงเวลา $t_3 < t < t_4$	26
3.7 เปรียบเทียบเวกเตอร์สถานะที่เป็นฟังก์ชันต่อเนื่องและที่เป็นฟังก์ชันไม่ต่อเนื่อง	28
4.1 กระแส i_L และ $i_{L-perturb}$ ในช่วง $t_0 < t < t_1$	41
4.2 แรงดัน v_{Cx} และ $v_{Cx-perturb}$ ในช่วง $t_0 < t < t_3$	46



สารบัญภาพ (ต่อ)

รูปที่	หน้า
5.1 วงจรทระดับที่ใช้กิ่งควบคุมแรงดันกรณีใช้อินเวอร์เตอร์เป็นแหล่งกระแสควบคุม สำหรับการทดลองในห้องปฏิบัติการ	51
5.2 ก แผนภาพชั่วและศูนย์ของ \hat{v}_C / \hat{v}_S ในคุณลักษณะ HLLL	54
5.2 ข ผลตอบสนองเชิงความถี่ของ \hat{v}_C / \hat{v}_S ในคุณลักษณะ HLLL.....	54
5.3 ก แผนภาพชั่วและศูนย์ของ \hat{z}_I ในคุณลักษณะ HLLL	56
5.3 ข ผลตอบสนองเชิงความถี่ของ \hat{z}_I ในคุณลักษณะ HLLL	56
5.4 ก แผนภาพชั่วและศูนย์ของ \hat{v}_C / \hat{f}_S ในคุณลักษณะ HLLL	58
5.4 ข ผลตอบสนองเชิงความถี่ของ \hat{v}_C / \hat{f}_S ในคุณลักษณะ HLLL	58
5.5 ก แผนภาพชั่วและศูนย์ของ \hat{z}_O ในคุณลักษณะ HLLL- i_G	60
5.5 ข ผลตอบสนองเชิงความถี่ของ \hat{z}_O ในคุณลักษณะ HLLL- i_G	60
5.6 ก แผนภาพชั่วและศูนย์ของ \hat{v}_C / \hat{v}_S ในคุณลักษณะ LLFL	62
5.6 ข ผลตอบสนองเชิงความถี่ของ \hat{v}_C / \hat{v}_S ในคุณลักษณะ LLFL	62
5.7 ก แผนภาพชั่วและศูนย์ของ \hat{z}_I ในคุณลักษณะ LLFL	64
5.7 ข ผลตอบสนองเชิงความถี่ของ \hat{z}_I ในคุณลักษณะ LLFL.....	64
5.8 ก แผนภาพชั่วและศูนย์ของ \hat{v}_C / \hat{f}_S ในคุณลักษณะ LLFL.....	66
5.8 ข ผลตอบสนองเชิงความถี่ของ \hat{v}_C / \hat{f}_S ในคุณลักษณะ LLFL	66
5.9 ก แผนภาพชั่วและศูนย์ของ \hat{z}_O ในคุณลักษณะ LLFL- i_G	68
5.9 ข ผลตอบสนองเชิงความถี่ของ \hat{z}_O ในคุณลักษณะ LLFL- i_G	68

รายการสัญลักษณ์

A	เมตริกซ์สถานะของสมการปริภูมิสถานะ
A_D	เมตริกซ์สถานะของสมการปริภูมิสถานะที่เชิงเส้นและไม่แปรผันตามเวลาแบบไม่ต่อเนื่อง
A_C	เมตริกซ์สถานะของสมการปริภูมิสถานะที่เชิงเส้นและไม่แปรผันตามเวลาแบบต่อเนื่อง
A_1	เมตริกซ์สถานะในช่วงเวลา $t_0 < t < t_1$
A_2	เมตริกซ์สถานะในช่วงเวลา $t_1 < t < t_2$
A_3	เมตริกซ์สถานะในช่วงเวลา $t_2 < t < t_3$
A_4	เมตริกซ์สถานะในช่วงเวลา $t_3 < t < t_4$
A_{1X}	สัมประสิทธิ์ของเวกเตอร์สถานะในสมการสัญญาณขนาดเล็กเวกเตอร์สถานะที่เวลา t_1
A_{2X}	สัมประสิทธิ์ของเวกเตอร์สถานะในสมการสัญญาณขนาดเล็กเวกเตอร์สถานะที่เวลา t_2
A_{3X}	สัมประสิทธิ์ของเวกเตอร์สถานะในสมการสัญญาณขนาดเล็กเวกเตอร์สถานะที่เวลา t_3
A_{4X}	สัมประสิทธิ์ของเวกเตอร์สถานะในสมการสัญญาณขนาดเล็กเวกเตอร์สถานะที่เวลา t_4
B	เมตริกซ์ด้านเข้าของสมการปริภูมิสถานะ
B_1	เมตริกซ์ด้านเข้าในช่วงเวลา $t_0 < t < t_1$
B_2	เมตริกซ์ด้านเข้าในช่วงเวลา $t_1 < t < t_2$
B_3	เมตริกซ์ด้านเข้าในช่วงเวลา $t_2 < t < t_3$
B_4	เมตริกซ์ด้านเข้าในช่วงเวลา $t_3 < t < t_4$
B_{1X}	สัมประสิทธิ์ของเวกเตอร์ด้านเข้าในสมการสัญญาณขนาดเล็กเวกเตอร์สถานะที่เวลา t_1
B_{2X}	สัมประสิทธิ์ของเวกเตอร์ด้านเข้าในสมการสัญญาณขนาดเล็กเวกเตอร์สถานะที่เวลา t_2
B_{3X}	สัมประสิทธิ์ของเวกเตอร์ด้านเข้าในสมการสัญญาณขนาดเล็กเวกเตอร์สถานะที่เวลา t_3
B_{4X}	สัมประสิทธิ์ของเวกเตอร์ด้านเข้าในสมการสัญญาณขนาดเล็กเวกเตอร์สถานะที่เวลา t_4
C	ตัวเก็บประจุด้านออก
C_r	ตัวเก็บประจุเรโซแนนซ์
C_X	เมตริกซ์ด้านออกของสมการปริภูมิสถานะ
C_x	ตัวเก็บประจุชาร์จ์ปัมป์
D	ไดโอดในวงจรทบระดับ
D_U	เมตริกซ์เชื่อมโยงระหว่างด้านเข้ากับด้านออกของสมการปริภูมิสถานะ
D_W	เมตริกซ์เชื่อมโยงระหว่างด้านเข้ากับด้านออกของสมการปริภูมิสถานะ
D_x	ไดโอดครึ่งแรงดัน
E_{11}	สัมประสิทธิ์ของตัวแปรเวลา t_1 ในสมการสัญญาณขนาดเล็กเวกเตอร์สถานะที่เวลา t_1
E_{1X}	สัมประสิทธิ์ของเวกเตอร์สถานะในสมการสัญญาณขนาดเล็กตัวแปรเวลา t_1
E_{1U}	สัมประสิทธิ์ของเวกเตอร์ด้านเข้าในสมการสัญญาณขนาดเล็กตัวแปรเวลา t_1
E_{31}	สัมประสิทธิ์ของตัวแปรเวลา t_1 ในสมการสัญญาณขนาดเล็กเวกเตอร์สถานะที่เวลา t_3
E_{32}	สัมประสิทธิ์ของตัวแปรเวลา t_2 ในสมการสัญญาณขนาดเล็กเวกเตอร์สถานะที่เวลา t_3
E_{33}	สัมประสิทธิ์ของตัวแปรเวลา t_3 ในสมการสัญญาณขนาดเล็กเวกเตอร์สถานะที่เวลา t_3

E_{3X}	สัมประสิทธิ์ของเวกเตอร์สถานะในสมการสัญญาณขนาดเล็กวัดแปรเวลา t_3
E_{3U}	สัมประสิทธิ์ของเวกเตอร์ด้านเข้าในสมการสัญญาณขนาดเล็กวัดแปรเวลา t_3
E_{41}	สัมประสิทธิ์ของตัวแปรเวลา t_1 ในสมการสัญญาณขนาดเล็กวัดแปรสถานะที่เวลา t_4
E_{42}	สัมประสิทธิ์ของตัวแปรเวลา t_2 ในสมการสัญญาณขนาดเล็กวัดแปรสถานะที่เวลา t_4
E_{43}	สัมประสิทธิ์ของตัวแปรเวลา t_3 ในสมการสัญญาณขนาดเล็กวัดแปรสถานะที่เวลา t_4
E_{44}	สัมประสิทธิ์ของตัวแปรเวลา t_4 ในสมการสัญญาณขนาดเล็กวัดแปรสถานะที่เวลา t_4
F	เมตริกซ์สถานะของสมการปริภูมิสถานะที่เชิงเส้นและไม่แปรผันตามเวลา
f_S	ความถี่การสวิตช์
G	เมตริกซ์ด้านเข้าของสมการปริภูมิสถานะที่เชิงเส้นและไม่แปรผันตามเวลา
G_{FS}	ฟังก์ชันโอนย้ายวงรอบเปิดจากความถี่การสวิตช์สู่แรงดันคั่นด้านออก
G_{OS}	ฟังก์ชันโอนย้ายวงรอบเปิดจากแรงดันคั่นด้านเข้าสู่แรงดันคั่นด้านออก
H	เมตริกซ์ด้านออกของสมการปริภูมิสถานะที่เชิงเส้นและไม่แปรผันตามเวลา
I	เมตริกซ์เอกลักษณ์
i_C	กระแสผ่านตัวเก็บประจุด้านออก
i_{Cx}	กระแสผ่านตัวเก็บประจุขาร์จปีม
i_G	แหล่งกระแสคั่นออก
i_L	กระแสผ่านตัวเหนี่ยวนำด้านเข้า
$\langle i_L \rangle$	กระแสเฉลี่ยตัวเหนี่ยวนำด้านเข้า
i_{Lr}	กระแสผ่านตัวเหนี่ยวนำเรโซแนนซ์
$\langle i_{Lr} \rangle$	กระแสเฉลี่ยตัวเหนี่ยวนำเรโซแนนซ์
i_O	กระแสคั่นออก
i_R	กระแสผ่านตัวต้านทานคั่นออก
i_X	แหล่งกระแสไซน์
$\langle i_{X-p} \rangle$	ค่ายอดเฉลี่ยของแหล่งกระแสไซน์
J	เมตริกซ์ของสมการปริภูมิสถานะที่เชิงเส้นและไม่แปรผันตามเวลา
L	ตัวเหนี่ยวนำด้านเข้า
Lr	ตัวเหนี่ยวนำเรโซแนนซ์
R	ตัวต้านทานคั่นออก
Rr	ตัวต้านทานเรโซแนนซ์
s	ผลการแปลงลาปลาซ
S	สวิตช์ไวงานในวงจรทระดับ
S_1	สวิตช์ไวงานตัวบนในอินเวอร์เตอร์
S_2	สวิตช์ไวงานตัวล่างในอินเวอร์เตอร์
T	คาบการทำงาน
T_S	คาบการสวิตช์
t_0	เวลาที่จุดเริ่มต้นของคาบการสวิตช์

t_1	เวลาที่กระแสผ่านตัวเหนี่ยวนำเรโซแนนซ์เพิ่มขึ้นมาเท่ากับกระแสผ่านตัวเหนี่ยวนำด้านเข้า
t_2	เวลาครึ่งคาบการสวิตช์
t_3	เวลาที่แรงดันคร่อมตัวเก็บประจุชาร์จป้อนเพิ่มขึ้นมาเท่ากับแรงดันคร่อมตัวเก็บประจุด้านออก
t_4	เวลาหนึ่งคาบการสวิตช์
u	เวกเตอร์ด้านเข้า
w	เวกเตอร์ด้านเข้า
v_C	แรงดันคร่อมตัวเก็บประจุด้านออก
v_{Cr}	แรงดันคร่อมตัวเก็บประจุเรโซแนนซ์
v_{Cx}	แรงดันคร่อมตัวเก็บประจุชาร์จป้อน
v_{DC}	แรงดันไฟตรงของอินเวอร์เตอร์
v_L	แรงดันคร่อมตัวเหนี่ยวนำด้านเข้า
v_{Lr}	แรงดันคร่อมตัวเหนี่ยวนำเรโซแนนซ์
v_O	แรงดันด้านออก
v_{Rr}	แรงดันคร่อมตัวต้านทานเรโซแนนซ์
v_S	แรงดันด้านเข้า
v_{BUS}	แรงดันคร่อมโหนดของอินเวอร์เตอร์
W_C	เมตริกซ์ด้านเข้าของสมการปริภูมิสถานะที่เชิงเส้นและไม่แปรผันตามเวลาแบบต่อเนื่อง
W_D	เมตริกซ์ด้านเข้าของสมการปริภูมิสถานะที่เชิงเส้นและไม่แปรผันตามเวลาแบบไม่ต่อเนื่อง
x	ตัวแปร, ตัวแปรสถานะ, เวกเตอร์, เมตริกซ์
$x(n, :)$	แถวที่ n ของเมตริกซ์ x
$x(t)$	ฟังก์ชันของเวลาต่อเนื่อง
$x(nT)$	ฟังก์ชันของเวลาไม่ต่อเนื่อง
\bar{x}	ค่าเฉลี่ยต่อคาบการทำงานหรือคาบการสวิตช์
X	ค่าไฟตรงในสภาวะอยู่ตัว
\hat{x}	ค่าการเปลี่ยนแปลงเล็กน้อยรอบจุดทำงานสงบ
z	ผลการแปลง z
Z_{eq}	ความต้านทานสมมูล
Z_L	ฟังก์ชันโอนย้ายวงรอบเปิดจากกระแสผ่านตัวเหนี่ยวนำด้านเข้าสู่แรงดันด้านเข้า
Z_O	ฟังก์ชันโอนย้ายวงรอบเปิดจากแหล่งกระแสด้านออกสู่แรงดันด้านออก
θ	มุมเริ่มนำกระแส

บทที่ 1

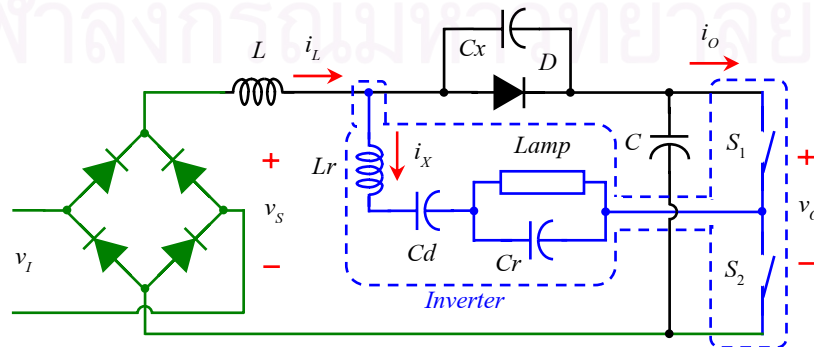
ความเป็นมาของวงจรระดับที่ใช้กึ่งควบคุมแรงดัน

1.1 ความเป็นมาของวงจร

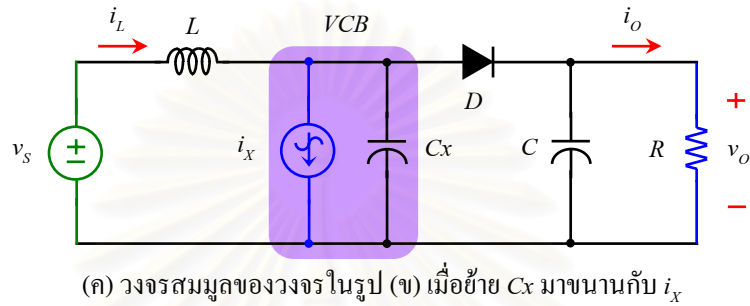
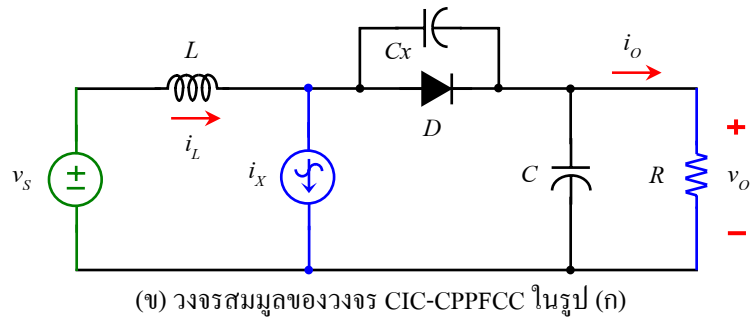
ในการพัฒนาวงจรเพิ่มค่าตัวประกอบกำลัง (Power-Factor-Correction Circuit) สำหรับบัลลาสต์อิเล็กทรอนิกส์ ได้มีการนำเสนอมวงจรเพิ่มค่าตัวประกอบกำลังแบบชาร์จปั๊ม (Charge-Pump Power-Factor-Correction Circuit หรือ CPPFCC) ดังแสดงในรูป 1.1 (ก) วงจรดังกล่าวมีคุณลักษณะเป็นวงจรแปลงผันไฟตรง-ไฟตรงแบบทระดับที่มีลักษณะพิเศษคือไม่ต้องใช้สวิตช์ไวงาน (Active Switch หรือ AS) เพิ่มเติม แต่อาศัยกระแสไหล $i_x(t)$ ของอินเวอร์เตอร์ สำหรับควบคุมการทำงานของวงจร CPPFCC ซึ่งถ้าพิจารณาเพิ่มค่าตัวประกอบกำลังแบบชาร์จปั๊มชนิดกระแสด้านเข้าต่อเนื่อง (Continuous-Input-Current Charge-Pump Power-Factor-Correction Circuit หรือ CIC-CPPFCC) ใน [1] ดังรูป 1.1 (ก) และกำหนดให้

- ในแต่ละคาบของการสวิตช์ของอินเวอร์เตอร์ แรงดันด้านเข้า $v_s(t)$ เปลี่ยนแปลงน้อยมากเมื่อเทียบกับค่าเฉลี่ยของแรงดันด้านเข้าจนสามารถประมาณได้ว่าในแต่ละคาบ $v_s(t)$ เป็นค่าคงที่ตลอดคาบการทำงานของอินเวอร์เตอร์ ($v_s[nT] \approx v_s[(n+1)T]$)
- กิ่งไหลของอินเวอร์เตอร์เรโซแนนซ์อนุกรมไหลขนานแบบกึ่งบริดจ์ (Half-Bridge Series Resonant Parallel Load หรือ HBSRPL) ที่เป็นไหลของวงจร CPPFCC สามารถแทนเป็นแหล่งกระแสกลับ $i_x(t)$
- ตัวเก็บประจุด้านออก C มีค่าใหญ่มากจนสามารถประมาณแรงดัน $v_o(t)$ เป็นค่าคงที่ตลอดคาบการทำงานของอินเวอร์เตอร์ ($v_o[nT] \approx v_o[(n+1)T]$) จนถือได้ว่าเป็นแหล่งจ่ายไฟตรงที่มีค่าคงที่ ซึ่งทำให้กิ่งสวิตช์ไวงานของอินเวอร์เตอร์ที่เป็นไหลของวงจรแปลงผันมีค่าความต้านทานสมมูลสำหรับไฟตรง R มีค่าขึ้นกับค่าเฉลี่ยของกระแสและแรงดันของกิ่งสวิตช์ไวงาน

จะได้วงจรสมมูลของวงจร CIC-CPPFCC ในสภาวะอยู่ตัวเป็นดังวงจรในรูป 1.1 (ข) เมื่อย้ายตัวเก็บประจุชาร์จปั๊ม C_x มาขนานกับแหล่งกระแสไฟฟ้ากลับ $i_x(t)$ โดยอาศัยกฎการย้ายตัวเก็บประจุใน [2] จะได้วงจรสมมูลเป็นดังรูป 1.1 (ค)

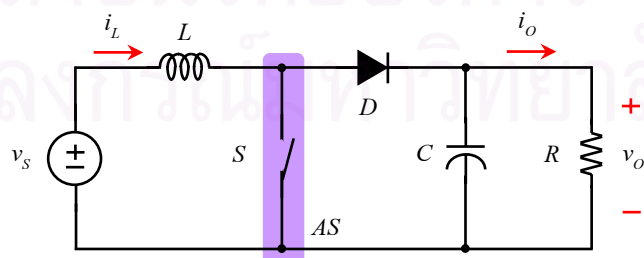


(ก) วงจร CIC-CPPFCC



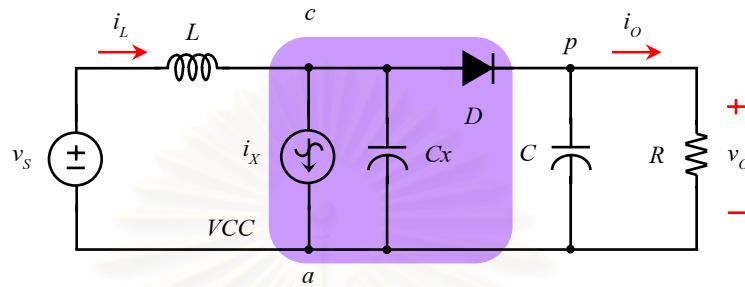
รูปที่ 1.1 วงจรเพิ่มค่าตัวประกอบกำลังแบบซาร์จปั๊ม

เมื่อเปรียบเทียบวงจร CIC-PPFCC ในรูป 1.1(ค) กับวงจรทระดับแบบพื้นฐานที่ใช้สวิตช์ PWM ในรูป 1.2 จะเห็นว่าวงจรทั้งสองมีโครงสร้างที่คล้ายกันมาก เนื่องจากวงจรทั้งสองทำหน้าที่เป็นวงจรทระดับเหมือนกัน และมีโครงสร้างที่เหมือนกันเกือบทุกประการ ยกเว้นสวิตช์ไวงาน S ของวงจรทระดับแบบพื้นฐานถูกแทนด้วยกิ่งวงจรที่ประกอบด้วยตัวเก็บประจุซาร์จปั๊ม C_x ต่อขนานกับแหล่งกระแสไฟฟ้าสลับ $i_x(t)$ จึงเรียกกิ่งวงจรนี้ว่า **กิ่งควบคุมแรงดัน (Voltage Control Branch หรือ VCB)** เนื่องจากเป็นกิ่งวงจรที่สามารถควบคุมแรงดันคร่อมกิ่งได้ โดยอาศัยแหล่งกระแสไฟฟ้าสลับ $i_x(t)$ ทำหน้าที่ควบคุมการเก็บและคายประจุของตัวเก็บประจุซาร์จปั๊ม C_x แหล่งกระแสไฟฟ้าสลับที่ใช้ในวงจรรูป 1.1 (ค) อาจจะเป็นแหล่งกระแสรายคาบที่มีรูปคลื่นใดๆ หรือเป็นกระแสไฟฟ้าสลับที่ได้จากการทำงานของวงจรอื่น ดังนั้นจึงเป็นไปได้ว่ากิ่งควบคุมแรงดันนี้น่าจะทำหน้าที่เหมือนกับสวิตช์ไวงานคือทำหน้าที่ควบคุมการทำงานของวงจรแปลงผันไฟตรง-ไฟตรง [3-4]



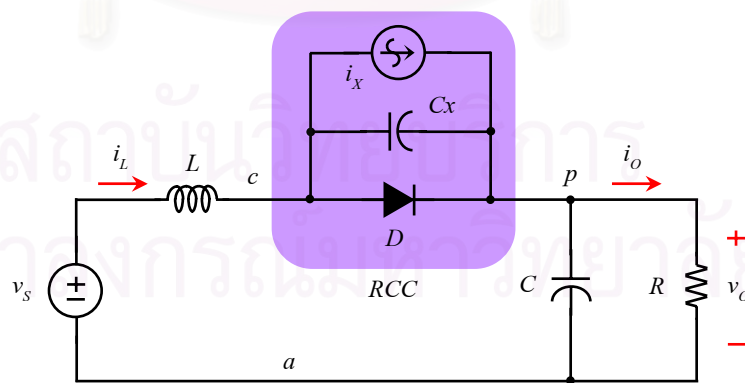
รูปที่ 1.2 วงจรทระดับที่ใช้สวิตช์ PWM

สำหรับการวิเคราะห์วงจร CIC-PPFCC ในรูป 1.1(ค) ใน [3-4] ได้ประยุกต์วิธีการวิเคราะห์ที่ได้พัฒนาสำหรับวงจรแปลงผันที่ใช้สวิตช์ PWM และสวิตช์กึ่งเรโซแนนซ์มาใช้วิเคราะห์วงจร CIC-PPFCC ทำให้ได้วงจรแปลงผันไฟตรง-ไฟตรงรูปแบบใหม่ ดังนั้นเพื่อให้สามารถอาศัยแนวคิดหน่วยสวิตช์ PWM มาใช้กับวงจร CIC-PPFCC จึงจะรวมกิ่งควบคุมแรงดัน (VCB) และไดโอด D เป็น หน่วยควบคุมแรงดัน (Voltage Control Cell หรือ VCC) ดังแสดงในรูป 1.3



รูปที่ 1.3 วงจรทระดับที่ใช้หน่วยควบคุมแรงดัน (VCC)

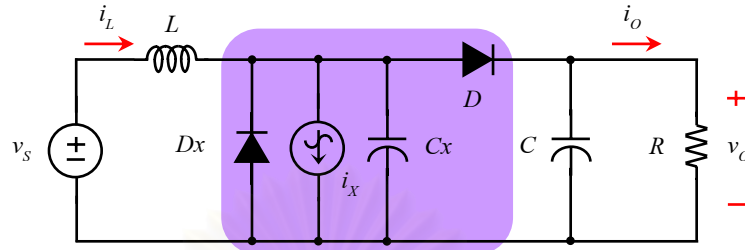
ซึ่งใน [6-7] ได้แสดงให้เห็นว่าวงจรสมมูลของหน่วยควบคุมแรงดัน (VCC) ที่เป็นวงจรสองท่า (Two Port) มีลักษณะเป็นวงจรเรียงกระแส (Rectifier) สองขั้วและเรียกหน่วยควบคุมแรงดัน (VCC) ว่า หน่วยควบคุมเรียงกระแส (Rectifier Control Cell หรือ RCC) ซึ่งมีลักษณะการแปลงผันแตกต่างจากวงจรแปลงผันที่ใช้สวิตช์ PWM กล่าวคือหน่วยเรียงกระแสสองขั้ว (RCC) จะควบคุมแรงดันหรือกระแสโหลดโดยการต่ออนุกรมกับแหล่งจ่ายไฟตรง v_s ดังรูป 1.4 ซึ่งเป็นการบวกหรือลบแรงดันแทนการคูณ หรืออาจใช้ควบคุมแรงดันหรือกระแสโหลดได้โดยตรง เนื่องจากหน่วยเรียงกระแสอาจต่อระหว่างแหล่งจ่ายและโหลดของวงจรแปลงผันแบบพื้นฐานได้หลายรูปแบบและสามารถควบคุมให้แรงดันด้านออกมีค่ามากหรือน้อยกว่าแรงดันของแหล่งจ่ายไฟตรงดังนั้นวงจรเดียวจึงอาจสามารถใช้เพิ่ม ลด หรือกลับทิศแรงดันได้



รูปที่ 1.4 วงจรทระดับที่ใช้หน่วยควบคุมเรียงกระแส (RCC)

เนื่องจากแหล่งกระแสไฟฟ้าสลับ i_x ทำหน้าที่ควบคุมการประจุและคายประจุของตัวเก็บประจุชาร์จป้อน C_x ทำให้แรงดันตกคร่อมตัวเก็บประจุชาร์จป้อน v_{C_x} เปลี่ยนแปลงกับกระแส i_{C_x} ถ้าค่ายอดของกระแส i_x มีค่าเพิ่มมากขึ้น ผลต่างของกระแส i_x และ i_L จะมีค่ามากขึ้นแรงดันสูงสุดคร่อมตัวเก็บประจุชาร์จป้อน v_{C_x} มีค่าเพิ่มขึ้น ทำให้อุปกรณ์

ในวงจรต้องรับภาระแรงดันมากขึ้นอาจทำให้วงจรเสียหายได้ ดังนั้นจึงได้มีการนำเอาไดโอด D_x ต่อขนานกับกิ่งควบคุมแรงดันทำให้มีการตรึงแรงดันของตัวเก็บประจุชาร์จเต็ม v_{Cx} ให้มีค่าเป็นศูนย์เมื่อไดโอด D_x นำกระแส ดังแสดงในรูป 1.5



รูป 1.5 วงจรทบทระดับที่ใช้กิ่งควบคุมแรงดันแบบที่มีการตรึงแรงดันของตัวเก็บประจุชาร์จเต็ม

เมื่อพิจารณารูป 1.3 จะเห็นว่าโครงสร้างของวงจรสมมูลของวงจร CIC-CPPECC เป็นการต่อกิ่งกระแสที่ประกอบด้วยตัวเหนี่ยวนำ L อนุกรมกับแหล่งแรงดัน v_s เข้ากับขั้ว c-a และต่อกิ่งแรงดันที่ประกอบด้วยตัวเก็บประจุด้านออก C ขนานกับความต้านทานโหลดสมมูล R เข้ากับขั้ว p-a ของหน่วยควบคุมแรงดัน ซึ่งประกอบด้วยกิ่งควบคุมแรงดันและไดโอด D ซึ่งการวิเคราะห์การทำงานของวงจรใน [3-5] โดยกำหนดสมมุติฐานดังนี้

- ค่าระลอกของแรงดันด้านออก v_o และกระแสตัวเหนี่ยวนำ i_L มีค่าน้อยมาก (Small-ripple approximation) จนประมาณได้ว่า ค่าในขณะใดขณะหนึ่งในแต่ละคาบมีค่าเท่ากับค่าเฉลี่ยต่อคาบการสวิตช์
- แหล่งกระแสควบคุม i_x เป็นกระแสรายคาบรูปคลื่นไซน์ ที่มีรูปคลื่นสมมาตร และมีค่าครบหนึ่งคาบการสวิตช์สมบูรณ์ ในทุกๆ คาบการสวิตช์
- ไดโอด D เป็นแบบอุดมคติ และละเลยการสูญเสียทั้งหมดในวงจร

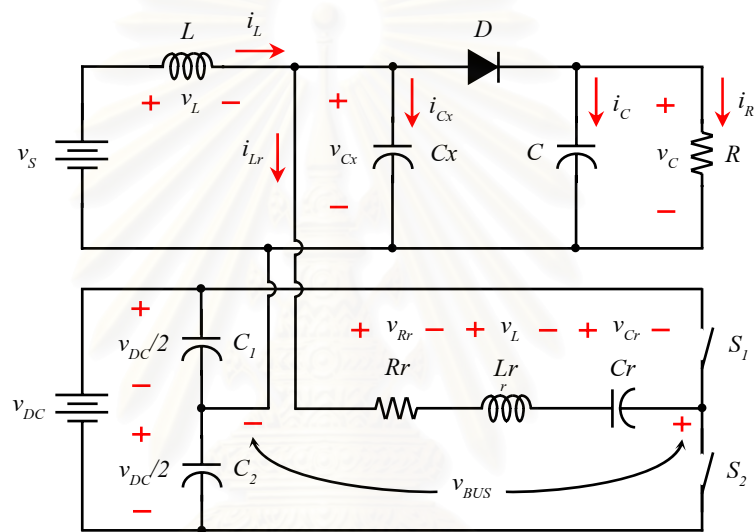
เมื่อกำหนดให้จุดเริ่มต้นของแต่ละคาบการสวิตช์เป็นเวลาทีแหล่งกระแสควบคุม i_x มีขนาดเพิ่มขึ้นเท่ากับค่าเฉลี่ยต่อคาบของกระแสผ่านตัวเหนี่ยวนำ $\langle i_L \rangle$ ทำให้สามารถแบ่งการทำงานของวงจรในแต่ละคาบการสวิตช์ออกเป็น 2 ช่วงเวลา สมการของแหล่งกระแสควบคุม i_x มีการเปลี่ยนแปลงกับเวลาเป็นฟังก์ชันไซน์ตามสมการ (1.1) โดยมีเงื่อนไข $\langle i_{x-p} \rangle$ ต้องมีค่ามากกว่า $\langle i_L \rangle$

$$i_x = \langle i_{x-p} \rangle \cdot \sin(2\pi f_s \cdot t + \theta) \quad (1.1) \text{ (ก)}$$

$$\sin \theta = \frac{\langle i_L \rangle}{\langle i_{x-p} \rangle}; \quad 0 < \theta \leq \frac{\pi}{2} \quad (1.1) \text{ (ข)}$$

เมื่อ i_x	คือแหล่งกระแสควบคุมรูปคลื่นไซน์ สมมาตรและครบคาบสมบูรณ์ ที่เวลาใดๆ
$\langle i_{x-p} \rangle$	คือค่าเฉลี่ยต่อคาบของค่ายอดของแหล่งกระแสควบคุม i_x ที่คาบใดๆ
f_s	คือความถี่ของแหล่งกระแสควบคุม i_x ที่เวลาใดๆ
θ	คือมุมเฟสของแหล่งกระแสควบคุม i_x ที่เวลาใดๆ

ที่ผ่านมา [3-4] ได้วิเคราะห์วงจรเฉพาะกรณีแหล่งกระแสควบคุม $i_X(i_{X-p}, f_S)$ มีรูปคลื่นไซน์ และมีค่าของกระแสควบคุม (i_{X-p}) ไม่ขึ้นกับความถี่การสวิตช์ f_S แต่ในทางปฏิบัติหรือใน [5] จะใช้อินเวอร์เตอร์ทำหน้าที่เป็นแหล่งกระแสควบคุม i_X ซึ่งในกรณีนี้ (i_{X-p}) จะไม่เป็นตัวแปรอิสระแต่จะขึ้นกับการทำงานของวงจร และความถี่การสวิตช์ f_S ทำให้ความถี่การสวิตช์ f_S เป็นตัวแปรควบคุมเพียงตัวเดียวในวงจร ซึ่งใน [5] ได้ใช้อินเวอร์เตอร์เรโซแนนซ์อนุกรมโพลคอนูกรมแบบกึ่งบริดจ์ (Half-Bridge Series Resonant Series Load หรือ HBSRSL) เป็นแหล่งกระแสควบคุม ดังแสดงในรูป 1.6 และเรียกวงจรนี้ว่า วงจรทระดับที่ใช้กึ่งควบคุมแรงดันกรณีใช้อินเวอร์เตอร์เป็นแหล่งกระแสควบคุม โดยที่อินเวอร์เตอร์จะรับพลังงานจากแหล่งจ่ายแรงดันไฟตรงภายนอก $v_{DC}(t)$ แทนการป้อนกลับพลังงานจากด้านออกของวงจรทระดับในวงจร CIC-PPFCC ส่วนความต้านทาน R_r เป็นความต้านทานรับกำลังไฟฟ้าแทนอินเวอร์เตอร์

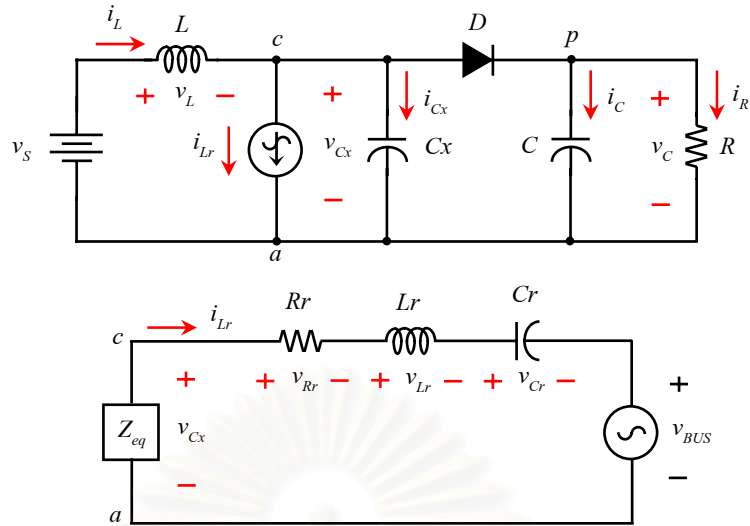


รูปที่ 1.6 วงจรทระดับที่ใช้กึ่งควบคุมแรงดันกรณีใช้อินเวอร์เตอร์เป็นแหล่งกระแสควบคุม

โดยทั่วไปแนวทางในการวิเคราะห์วงจรเรโซแนนซ์ใน [2] จะมีสองแนวทางหลัก คือ

1. การคำนวณหาฟังก์ชันของกระแสและแรงดันจากสมการของวงจรในแต่ละรูปลักษณะ
2. การวิเคราะห์โดยพิจารณาเฉพาะความถี่หลักมูล (fundamental approximate)

แนวทางแรกจะให้ผลลัพธ์ที่มีความถูกต้องมาก แต่การวิเคราะห์จะซับซ้อนมากเช่นกัน ส่วนแนวทางที่สองเป็นการวิเคราะห์แบบประมาณซึ่งจะให้ผลใกล้เคียง เมื่อความถี่การสวิตช์อยู่ใกล้กับความถี่เรโซแนนซ์ และตัวประกอบคุณภาพมีค่าสูง การวิเคราะห์แบบนี้จะไม่ซับซ้อนมากนักและทำให้เห็นภาพทางกายภาพของวงจรได้ดี ใน [5] เมื่อใช้อินเวอร์เตอร์เรโซแนนซ์เป็นแหล่งกระแสควบคุมดัง i_{Lr} แสดงในรูป 1.5 จะวิเคราะห์โดยพิจารณาเฉพาะความถี่หลักมูลทั้งกระแส $i_{Lr}(t)$ และแรงดัน $v_{BUS}(t)$ ได้วงจรสมมูลของวงจรทระดับที่ใช้กึ่งควบคุมแรงดันกรณีใช้อินเวอร์เตอร์เป็นแหล่งกระแสควบคุมเป็นดังรูป 1.7



รูปที่ 1.7 วงจรสมมูลของวงจรระดับที่ใช้กึ่งควบคุมแรงดันกรณีใช้อินเวอร์เตอร์เป็นแหล่งกระแสควบคุม แบบพิจารณาเฉพาะความถี่หลักมูล

กำหนดให้กระแส $i_{Lr}(t)$ ในรูป 1.7 มีค่าตามสมการ (1.2) (ก)

$$i_{Lr} = \langle i_{Lr} \rangle \cdot \sin(2\pi f_s \cdot t + \theta) \tag{1.2} (ก)$$

(กระแส i_{Lr} ก็คือกระแส i_x ตามสมการ 1.1)

และประมาณแรงดัน $v_{BUS}(t)$ ด้วยแรงดันที่ความถี่หลักมูลโดยมีค่าตามสมการ (1.2) (ข)

$$v_{BUS} = \frac{2V_{DC}}{\pi} \cdot \sin(2\pi f_s \cdot t) \tag{1.2} (ข)$$

และแทนวงจรระดับที่เป็นโหลดของอินเวอร์เตอร์ด้วยค่าอิมพีแดนซ์ซึ่งมีค่าตามสมการ (1.2) (ค)

$$Z_{eq} = v_{Cx, fundamental} / i_{Lr} \tag{1.2} (ค)$$

ซึ่งการวิเคราะห์โดยพิจารณาเฉพาะความถี่หลักมูลทำให้แบบจำลองที่ได้มีความคลาดเคลื่อนไปด้วยเพราะละเลยผลของฮาร์โมนิก แต่ว่าเมื่อเปรียบเทียบโครงสร้างของวงจรในรูป 1.6 กับวงจรแปลงผันไฟตรง-ไฟตรงชนิดเรโซแนนซ์โหลดจะเห็นได้ว่ามีลักษณะคล้ายกันคือรับแรงดันไฟตรง v_{DC} ผ่านอินเวอร์เตอร์โดยมีโหลดเป็นวงจรเรียงกระแสแต่จะแตกต่างกันที่วงจรในรูป 1.6 เอาวงจรเรียงกระแสมาต่ออนุกรมกับแหล่งจ่ายไฟตรง v_s ดังนั้นเราสามารถนำเอาวิธีการวิเคราะห์ห้วงจรแปลงผันไฟตรง-ไฟตรงชนิดเรโซแนนซ์โหลด มาใช้วิเคราะห์ห้วงจรระดับที่ใช้กึ่งควบคุมแรงดันกรณีใช้อินเวอร์เตอร์เป็นแหล่งกระแสควบคุมซึ่งโดยทั่วไปจะใช้วิธีวิเคราะห์ในระนาบสถานะ (State-plane analysis) ซึ่งเป็นการคำนวณหาฟังก์ชันของกระแสและแรงดันจากสมการของวงจรในแต่ละรูปลักษณะ สำหรับในวิทยานิพนธ์ฉบับนี้จะวิเคราะห์ห้วงจรโดยใช้วิธีวิเคราะห์ในระนาบสถานะ

1.2 วัตถุประสงค์ของงานวิจัย

1. หาแบบจำลองโดยไม่ใช้การประมาณด้วยความถี่หลักมูลและการประมาณว่ามีค่าระลอกน้อย
2. ทำให้แบบจำลองใกล้เคียงกับวงจรจริงมากขึ้น

1.3 ขอบเขตของงานวิจัย

1. ศึกษาวิธีการหาแบบจำลองของวงจรแปลงผันไฟตรง-ไฟตรง
2. เปรียบเทียบผลการคำนวณทางทฤษฎี, ผลการจำลองและผลการทดลอง

1.4 ขั้นตอนและวิธีการดำเนินงาน

1. ค้นคว้า และศึกษาทฤษฎีเกี่ยวกับวงจรแปลงผันไฟตรง-ไฟตรง
2. ศึกษา และวิเคราะห์การทำงานของวงจรทระดับที่ใช้กึ่งควบคุมแรงดัน
3. ค้นคว้า และศึกษาทฤษฎีเกี่ยวกับการหาแบบจำลอง
4. หาแบบจำลองของวงจรด้วยวิธีต่างๆ
5. จำลองการทำงานของวงจร ด้วยโปรแกรมคอมพิวเตอร์
6. เก็บข้อมูล ประเมินผล และสรุปผลการทดลอง
7. เขียน และจัดพิมพ์วิทยานิพนธ์

1.5 ประโยชน์ที่คาดว่าจะได้รับ

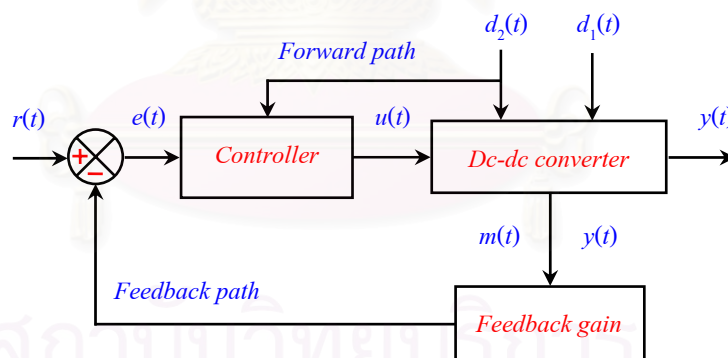
1. ช่วยให้เข้าใจหลักการในการหาแบบจำลอง
2. สามารถนำวิธีในการหาแบบจำลองไปประยุกต์ใช้กับวงจรอื่นๆ

สถาบันวิทยบริการ
จุฬาลงกรณ์มหาวิทยาลัย

บทที่ 2

การหาแบบจำลองของวงจรแปลงผันไฟตรง-ไฟตรง

ในการศึกษาลักษณะพลวัตของวงจรแปลงผันไฟตรง-ไฟตรงซึ่งเป็นการศึกษาผลอันเนื่องมาจากการแปรค่าควบคุมหรือความแปรปรวน (Disturbances) ที่ทำให้การทำงานของวงจรเบี่ยงเบนไปจากจุดทำงานสงบเดิม (ในสถานะอยู่ตัว) ซึ่งการแปรค่าควบคุมหรือความแปรปรวนดังกล่าวอาจเกิดจากการเปลี่ยนแปลงค่าของแหล่ง โหลด เวลาการสวิตช์ การเริ่มเดินเครื่องหรือปิดเครื่อง เป็นต้น โดยทั่วไปเราต้องพยายามลดผลอันเนื่องมาจากการแปรปรวนโดยการคุมค่า (regulate) ให้จุดทำงานยังคงอยู่ใกล้จุดทำงานสงบ หรือถ้าเบี่ยงเบนไปก็ควรให้กลับคืนสู่จุดทำงานสงบโดยเร็ว การคุมค่าและการคืนสู่จุดทำงานสงบโดยเร็วเป็นผลมาจากการควบคุมโดยระบบควบคุมแบบง่าย ๆ ได้แก่ ระบบวงรอบเปิด (open loop) ที่ใช้การป้อนตรง (feed forward) เทคนิคการป้อนตรงคือ การวัดความแปรปรวนที่คาดว่าจะเกิดขึ้นหรือความแปรปรวนที่วัดได้ $d_2(t)$ แล้วป้อนผลการวัดนั้นให้แก่วงจรควบคุม (controller) ซึ่งจะทำการลบล้างผลความแปรปรวนนั้น อย่างไรก็ตามการใช้เทคนิคการป้อนตรงเพียงอย่างเดียวมักจะไม่เพียงพอเพราะความแปรปรวนที่วัดไม่ได้ $d_1(t)$ เทคนิคที่ใช้กันทั่วไปในการลดผลของความแปรปรวนที่วัดไม่ได้ ได้แก่ ระบบวงรอบปิด (close loop) ซึ่งเป็นการวัดค่าของตัวแปรในวงจรที่วัดได้ $m(t)$ หรือตัวแปรด้านออก $y(t)$ เพื่อนำมาเปรียบเทียบกับค่าที่ต้องการหรือค่าอ้างอิง $r(t)$ ความคลาดเคลื่อน $e(t)$ ถูกส่งไปที่วงจรควบคุมหรือวงจรคุมค่า ไปปรับสัญญาณควบคุม $u(t)$ ของวงจรแปลงผันไฟตรง-ไฟตรงเพื่อให้ได้ตัวแปรด้านออกที่ตรงกับค่าที่ต้องการ ดังแสดงในรูป 2.1

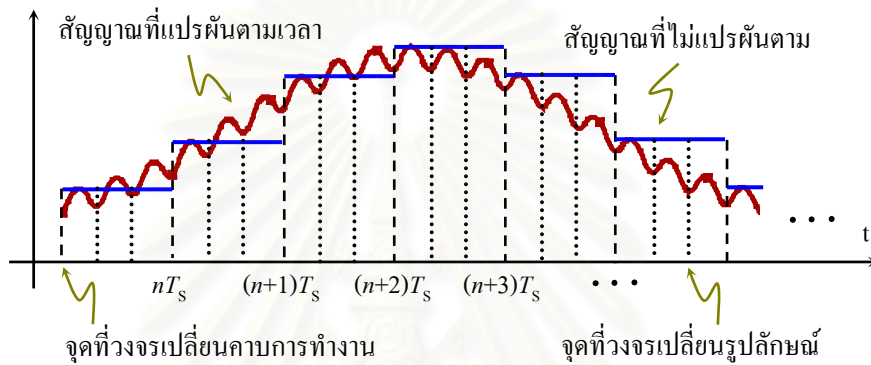


รูปที่ 2.1 แผนภาพบล็อกของระบบควบคุมของวงจรแปลงผันไฟตรง-ไฟตรง

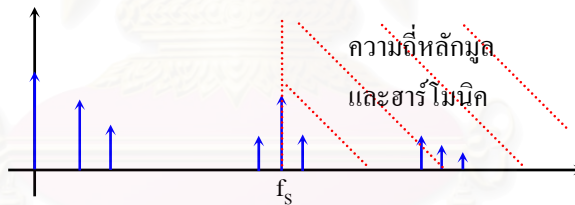
ในการศึกษาระบบควบคุมแบบป้อนกลับที่มีวงจรแปลงผันไฟตรง-ไฟตรง เราจำเป็นต้องรู้ฟังก์ชันโอนย้ายต่างๆ ของระบบ แต่วงจรแปลงผันไฟตรง-ไฟตรงประกอบด้วยสวิตช์ซึ่งทำงานแบบไม่เชิงเส้นและแปรผันตามเวลา การศึกษาวงจรไม่เชิงเส้นและแปรผันตามเวลาที่มีความยุ่งยากมาก เราจึงต้องสร้างแบบจำลองเชิงเส้นและไม่แปรผันตามเวลาซึ่งเป็นแบบจำลอง (แบบจำลองในที่นี้อาจจะหมายถึงวงจรสมมูลหรือสมการ) ใกล้เคียงที่มีข้อจำกัดในการใช้งานเพื่อให้สามารถแทนวงจรแปลงผันไฟตรง-ไฟตรง ในการวิเคราะห์การทำงานของวงจรหรือการหาแบบจำลองโดยทั่วไปเป็นการหาแบบจำลองเชิงเส้นเฉพาะย่านการทำงานที่ประกอบด้วย 2 ขั้นตอนคือ 1. ขั้นตอนการทำให้ไม่แปรผันตามเวลา 2. ขั้นตอนการทำให้เป็นเชิงเส้น

ขั้นที่หนึ่ง การทำให้ไม่แปรผันตามเวลา

วงจรแปลงผันไฟตรง-ไฟตรงเป็นวงจรที่มีการเปลี่ยนแปลงรูปลักษณะใน 1 คาบการทำงานทำให้เป็นวงจรที่แปรผันตามเวลา ดังนั้นเราจึงต้องทำให้ไม่แปรผันตามเวลาโดยการประมาณให้มีค่าคงที่ใน 1 คาบ โดยค่าคงที่นี้จะมีค่าเปลี่ยนแปลงไปได้จากคาบหนึ่งไปยังอีกคาบหนึ่งหรือ Quantization ซึ่งเป็นการเปลี่ยนวงจรที่มีการเปลี่ยนแปลงตามเวลาในแต่ละคาบให้เป็นแบบจำลองที่ไม่มีมีการเปลี่ยนแปลงกับเวลาตลอด 1 คาบ ดังแสดงในรูป 2.2 (ก) หรือเป็นการตัดพจน์ของความถี่หลักมูลและฮาร์โมนิกของความถี่การสวิตซ์ ดังแสดงในรูป 2.2 (ข) ทำให้ได้แบบจำลองที่ไม่แปรผันตามเวลาใน 1 คาบ



(ก) รูปคลื่นของสัญญาณในโดเมนเวลา



(ข) สเปกตรัมของสัญญาณในโดเมนความถี่

รูปที่ 2.2 การทำให้สัญญาณไม่แปรผันตามเวลาใน 1 คาบ

ขั้นที่สอง การทำให้เป็นเชิงเส้น

แบบจำลองที่ได้จากขั้นที่หนึ่งมักจะเป็นแบบจำลองไม่เชิงเส้นหรือเรียกว่าแบบจำลองสัญญาณขนาดใหญ่ซึ่งประกอบด้วย ส่วนที่เป็นค่าคงที่, ส่วนที่มีการเปลี่ยนแปลงโดยอยู่ในรูปผลบวกเชิงเส้นของตัวแปร และส่วนที่มีการเปลี่ยนแปลงแต่อยู่ในรูปผลคูณของตัวแปรซึ่งทั้ง 3 ส่วนนี้รวมอยู่ในพจน์เดียวกัน ดังนั้นเราจะแยกองค์ประกอบของแบบจำลองสัญญาณขนาดใหญ่โดยใช้อนุกรมเทย์เลอร์แบบหลายตัวแปร ตามสมการ (2.1)

$$f(x_1, \dots, x_n) = \sum_{j=0}^{\infty} \left\{ \frac{1}{j!} \left[\sum_{k=1}^n \frac{\partial f(x_1, \dots, x_n)}{\partial x_k} \hat{x}_k \right]^j \right\}_{x_1=X_1, \dots, x_n=X_n} \quad (2.1) \text{ (ก)}$$

$$f(x_1, \dots, x_n) = \underbrace{f(X_1, \dots, X_n)}_{\text{nominal point value}} + \underbrace{\sum_{k=1}^n \left\{ \frac{\partial f(x_1, \dots, x_n)}{\partial x_k} \cdot \hat{x}_k \right\}}_{\text{linear component}} \Bigg|_{x_1=X_1, \dots, x_n=X_n} + \underbrace{\sum_{j=2}^{\infty} \left\{ \frac{1}{j!} \left[\sum_{k=1}^n \frac{\partial^j f(x_1, \dots, x_n)}{\partial x_k^j} \hat{x}_k^j \right] \right\}}_{\text{nonlinear component}} \Bigg|_{x_1=X_1, \dots, x_n=X_n} \quad (2.1) \quad (\text{๗})$$

และทำให้เป็นเชิงเส้น (Linearization) โดยประมาณว่าตัวแปรรบกวน (Perturbation Variable) มีขนาดเล็กจนละเลยพจน์ไม่เชิงเส้นหรือพจน์ผลคูณของตัวแปรของอนุกรมเทย์เลอร์ในสมการ (2.1) จะได้แบบจำลองเชิงเส้นและไม่แปรผันตามเวลา ดังสมการ (2.2)

$$f(x_1, \dots, x_n) \approx \underbrace{f(X_1, \dots, X_n)}_{\text{DC steady-state}} + \underbrace{\sum_{k=1}^n \left\{ \frac{\partial f(x_1, \dots, x_n)}{\partial x_k} \cdot \hat{x}_k \right\}}_{\text{AC steady-state (Small-signal)}} \Bigg|_{x_1=X_1, \dots, x_n=X_n} \quad (2.2)$$

เมื่อพิจารณาสมการ (2.2) สามารถแบ่งออกเป็นสองส่วนคือ แบบจำลองไฟตรงหรือค่าที่จุดทำงานสงบ และแบบจำลองสัญญาณขนาดเล็กซึ่งเป็นการเปลี่ยนแปลงเล็กน้อยรอบๆ จุดทำงานสงบ

จากวิธีการทำให้ไม่แปรผันตามเวลาและการทำให้เป็นเชิงเส้นได้อาศัยเทคนิคการประมาณทำให้แบบจำลองที่ได้มีข้อจำกัดดังนี้

1. ใช้ได้เฉพาะสัญญาณความถี่ต่ำกว่าครึ่งหนึ่งของความถี่การทำงานของวงจร ($< F_s/2$) ซึ่งเป็นผลมาจากการทำให้ไม่แปรผันตามเวลาในขั้นที่หนึ่ง ตามหลักของทฤษฎีบทการชดัดตัวอย่าง (Sampling theorem) เพราะเราสุ่มข้อมูลทุกๆ T_s วินาที (T_s เป็นคาบการทำงานของวงจรมีค่าเท่ากับ $1/F_s$)
2. ใช้ได้เฉพาะวงจรที่มีการเปลี่ยนแปลงหรือสัญญาณเข้ามีขนาดเล็ก ซึ่ง การศึกษาระบบป้อนกลับโดยใช้สัญญาณขนาดเล็กช่วยให้สามารถประเมินเสถียรภาพของระบบเมื่อมีการเปลี่ยนแปลงเล็กน้อย (Perturbation) ทั้งนี้เพราะการศึกษาที่ใช้แบบจำลองเชิงเส้นทำให้สามารถใช้ทฤษฎีของวงจรเชิงเส้นและทฤษฎีการป้อนกลับของระบบเชิงเส้นในการวิเคราะห์แบบจำลอง ถึงแม้ว่าระบบที่มีเสถียรภาพต่อการรบกวนขนาดเล็กอาจขาดเสถียรได้เมื่อถูกรบกวนด้วยสัญญาณขนาดใหญ่ แต่โดยทั่วไปแล้วกรณีเช่นนี้ไม่เกิดขึ้นบ่อยนัก และสามารถหลีกเลี่ยงได้โดยจำกัดพื้นที่การทำงานหรือเผื่อช่วงปลอดภัย (margin) ให้มากขึ้น

จากหลักการทั่วไปในการหาแบบจำลองได้มีการนำเสนอวิธีการหาแบบจำลองที่แตกต่างกันหลายวิธี [8-14] อย่างไรก็ตามวิธีการต่างๆ สามารถจัดกลุ่มแนวทางการหาแบบจำลองได้ 3 แนวทางดังนี้

2.1 วิธีเฉลี่ยวงจร (Circuit Averaging)

สำหรับวงจรแปลงผันไฟตรง-ไฟตรง เรามักให้ความสำคัญต่อค่าเฉลี่ยของกระแสหรือแรงดันมากกว่าการเปลี่ยนแปลงที่เกิดขึ้นใน 1 คาบของการสวิตช์ ดังนั้นในการหาแบบจำลองด้วยวิธีเฉลี่ยวงจรจะสนใจการเปลี่ยนแปลงของค่าเฉลี่ยในสถานะชั่วคราวมากกว่าค่าจับพลันที่มีค่าระลอกรวมอยู่ด้วย โดยจะละเลยค่าระลอกซึ่งสมมุติเป็นค่าน้อยหรือสามารถรองออกได้ง่าย ซึ่งวิธีเฉลี่ยวงจรจะทำให้วงจรแปลงผันไฟตรง-ไฟตรงไม่เปลี่ยนแปลงตามเวลาใน 1 คาบด้วยการคำนวณหาค่าเฉลี่ยเฉพาะที่ของกระแสและแรงดันต่างๆ ในวงจร ในที่นี้จะให้คำนิยามของค่าเฉลี่ยเฉพาะที่ของตัวแปร $x(t)$ เฉลี่ยต่อช่วงเวลา T_s มีนิยามตามสมการ (2.3)

$$\bar{x}(t) = \frac{1}{T_s} \int_t^{t+T_s} x(\tau) d\tau \quad (2.3)$$

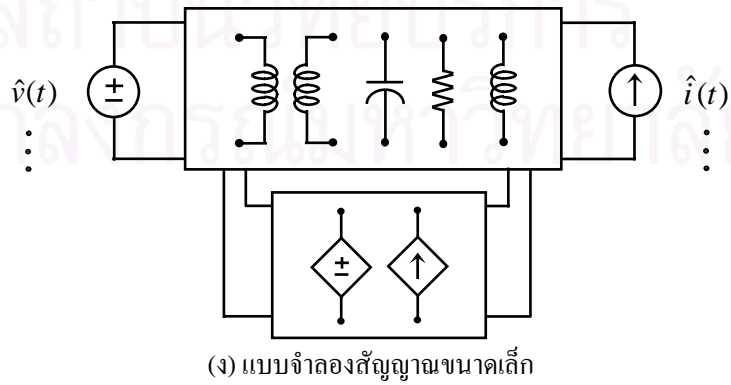
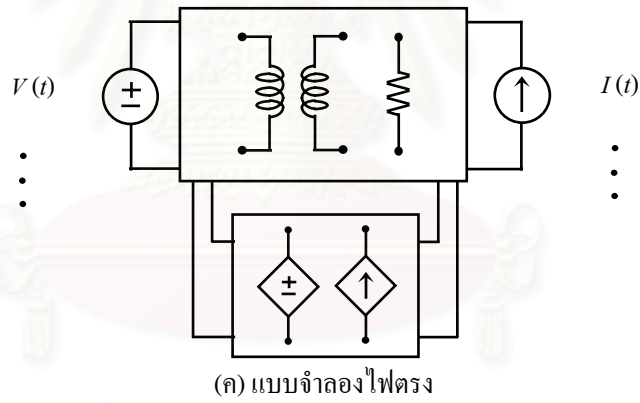
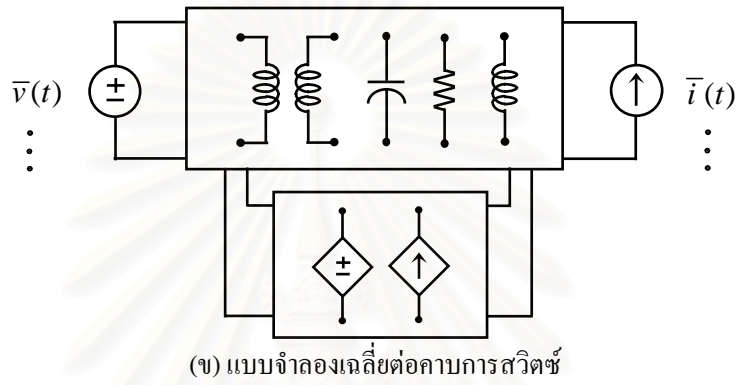
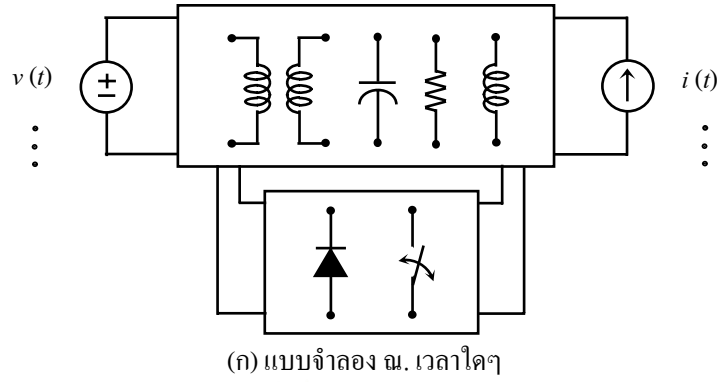
ซึ่ง $\bar{x}(t)$ เป็นฟังก์ชันที่ไม่ต่อเนื่อง ดังนั้นจะประมาณว่า $x(t)$ เป็นตัวแปรที่เปลี่ยนแปลงช้าเพื่อให้ $\bar{x}(t)$ เป็นฟังก์ชันต่อเนื่อง และถ้า $x(t)$ ไม่เป็นฟังก์ชันอิมพัลส์ จะได้คุณสมบัติที่สำคัญคือสามารถประมาณอนุพันธ์ของค่าเฉลี่ยเท่ากับค่าเฉลี่ยของอนุพันธ์ตามสมการ (2.4)

$$\frac{1}{T_s} \cdot \int_t^{t+T_s} \left\{ \frac{d}{dt} x(t) \right\} dt \approx \frac{d}{dt} \left\{ \frac{1}{T_s} \cdot \int_t^{t+T_s} x(t) dt \right\} = \frac{d}{dt} \bar{x}(t) \quad (2.4)$$

โดยทั่วไป T_s ก็คือคาบการสวิตช์หรือคาบการทำงานของวงจร และในกรณีนี้เราจะเรียกว่าค่าเฉลี่ยเฉพาะที่ว่าค่าเฉลี่ยต่อคาบการสวิตช์ (หรือค่าเฉลี่ยต่อคาบ) สมการกระแสและแรงดันในวงจรแปลงผันไฟตรง-ไฟตรง บางทีจะเป็นผลคูณของฟังก์ชันซึ่งเป็นการคูณของสัญญาณด้านเข้ากับสัญญาณภายในวงจรทำให้ไม่สามารถอินทิเกรตได้โดยตรงจึงต้องประมาณให้สัญญาณด้านเข้ามีค่าระลอกเพียงเล็กน้อยจนสมมุติได้ว่าสัญญาณด้านเข้ามีค่าใกล้เคียงกับค่าเฉลี่ยต่อคาบ ตามสมการ (2.5)

$$\frac{1}{T_s} \int_t^{t+T_s} x_1(\tau) \cdot u_2(\tau) d\tau \approx \bar{x}_1(t) \cdot \bar{u}_2(t) \quad (2.5)$$

วิธีเฉลี่ยวงจรเหมาะสมกับวงจรที่มีรูปคลื่นกระแสและแรงดันเป็นรูปทรงเรขาคณิตเพราะหาผลเฉลี่ยของการอินทิเกรตได้ง่าย วงจรที่ได้หลังจากคำนวณหาค่าเฉลี่ยต่อคาบแล้วก็คือ วงจรเฉลี่ย ซึ่งเป็นวงจรที่มีการแทนส่วนที่แปรผันตามเวลาด้วยค่าเฉลี่ยต่อคาบ ถึงแม้ว่าวงจรเฉลี่ยจะเป็นวงจรที่ไม่แปรผันตามเวลาแต่ก็เป็นวงจรไม่เชิงเส้น เพราะมีส่วนที่ขึ้นกับผลคูณกันของค่าเฉลี่ยต่อคาบ ดังนั้นเราจึงต้องทำให้เป็นเชิงเส้นโดยการประมาณว่าเป็นสัญญาณขนาดเล็ตามสมการ (2.2) แบบจำลองที่ได้จากวิธีเฉลี่ยวงจรเป็นรูปวงจรทำให้สามารถเข้าใจพฤติกรรมได้ง่ายแต่ยังขาดความเป็นวิธีการทั่วไป โดยแสดงแบบจำลองที่ได้ในแต่ละขั้นตอนไว้ในรูป 2.3



รูปที่ 2.3 แบบจำลองที่ได้จากวิธีเฉลี่ยวงจร

2.2 วิธีเฉลี่ยปริภูมิสถานะ (State-space Averaging)

การใช้ปริภูมิสถานะ (state-space) มาอธิบายพฤติกรรมของวงจรเป็นจุดเริ่มต้นของวิธีการหาแบบจำลองที่มีความเป็นไปได้และเป็นระบบสูงเพราะเป็นการคำนวณโดยอาศัยเมทริกซ์ กำหนดให้ปริภูมิสถานะสำหรับวงจรแปลงผันไฟตรง-ไฟตรงทั่วไป เป็นตามสมการ (2.6)

$$\frac{d}{dt} x(t) = A(t) \cdot x(t) + B(t) \cdot u(t) \quad (2.6) \text{ (ก)}$$

$$y(t) = H(t) \cdot x(t) + J(t) \cdot u(t) \quad (2.6) \text{ (ข)}$$

ซึ่งเรียกสมการ (2.6) (ก) กับ (ข) ว่าสมการสถานะกับสมการด้านออกตามลำดับและเมทริกซ์ $A(t)$, $B(t)$, $H(t)$ และ $J(t)$ เป็นสัมประสิทธิ์ของแต่ละพจน์ในสมการ (2.6) ตัวแปรสถานะ $x(t)$ ได้แก่ตัวแปรที่กำหนด “สถานะ” ของระบบ ตัวแปรสถานะจะสรุปแง่มุมของอดีตที่มีความหมายต่ออนาคต กล่าวคือ ค่าเริ่มต้น (initial value) ของตัวแปรเหล่านี้จะใช้ในการกำหนดพฤติกรรมของระบบในอนาคต ตัวแปรสถานะจะเกี่ยวข้องกับ “ความจำ” หรือการสะสมพลังงานของระบบ เช่น กระแสของตัวเหนี่ยวนำ และแรงดันของตัวเก็บประจุ ตัวแปรด้านเข้า $u(t)$ ได้แก่สัญญาณภายนอกของระบบ เช่น แหล่งกระแส แหล่งแรงดัน สัญญาณขับนำสวิตช์ ตัวแปรด้านเข้าบางตัวเป็นตัวแปรที่เราควบคุมได้ บางตัวเป็นความแปรปรวนที่เราควบคุมไม่ได้ เมื่อตัวแปรด้านเข้าและค่าเริ่มต้นของตัวแปรสถานะได้รับการกำหนดตัวแปรสถานะก็จะแปรไปตามกฎเกณฑ์ที่รวมเรียกว่าแบบจำลองปริภูมิสถานะ ตัวแปรด้านออก $y(t)$ ได้แก่ ปริมาณที่เราสนใจ ปริมาณที่วัดได้ ตัวแปรด้านออกเป็นฟังก์ชันของตัวแปรสถานะ, ตัวแปรด้านเข้า และเวลาดังแสดงในสมการ (2.6) (ข)

วิธีเฉลี่ยปริภูมิสถานะเป็นการหาค่าเฉลี่ยต่อคาบของปริภูมิสถานะในสมการ (2.6) ทำให้ไม่ต้องการค่าเฉลี่ยต่อคาบของกระแสและแรงดันต่างๆ ตัวในวงจรเหมือนกับวิธีเฉลี่ยวงจร จึงเหมาะสมกับวงจรที่มีโครงสร้างซับซ้อนเพราะไม่ต้องการฟังก์ชันของกระแสและแรงดันแต่เขียนอยู่ในรูปของปริภูมิสถานะแทน ซึ่งในการหาค่าเฉลี่ยต่อคาบตามสมการ (2.3) ของปริภูมิสถานะจะต้องประมาณว่าเวกเตอร์สถานะ $x(t)$ และเวกเตอร์ด้านเข้า $u(t)$ มีค่าระลอกน้อยจนสมมุติได้ว่ามีรูปคลื่นเป็นเส้นตรงที่มีค่าเท่ากับค่าเฉลี่ยต่อคาบ ดังแสดงในสมการ (2.7) และคุณสมบัติในสมการ (2.4) เพื่อจะประมาณว่าอนุพันธ์ของค่าเฉลี่ยเท่ากับค่าเฉลี่ยของอนุพันธ์กับประมาณว่า $x(t)$ เป็นตัวแปรที่เปลี่ยนแปลงช้าเพื่อให้เป็นสมการต่อเนื่อง

$$\frac{1}{T_s} \int_t^{t+T_s} \{A(t) \cdot x(t)\} dt \approx \bar{A}(t) \cdot \bar{x}(t) \quad (2.7)$$

ปริภูมิสถานะที่ได้หลังจากการหาค่าเฉลี่ยต่อคาบแล้วก็คือ **ปริภูมิสถานะเฉลี่ย** ซึ่งมักจะเป็นแบบจำลองไม่เชิงเส้น เพราะมีส่วนที่ขึ้นอยู่กับการคูณกันของค่าเฉลี่ยต่อคาบดังแสดงในสมการ (2.8)

$$\frac{d}{dt} \bar{x}(t) = \bar{A}(t) \cdot \bar{x}(t) + \bar{B}(t) \cdot \bar{u}(t) \quad (2.8) \text{ (ก)}$$

$$\bar{y}(t) = \bar{H}(t) \cdot \bar{x}(t) + \bar{J}(t) \cdot \bar{u}(t) \quad (2.8) \text{ (ข)}$$

ดังนั้นเราจึงต้องทำให้เป็นเชิงเส้นโดยการประมาณว่าสัญญาณมีขนาดเล็กตามสมการ (2.2) แบบจำลองที่ได้จากวิธีเฉลี่ยปริภูมิสถานะจะเป็นสมการไม่เชิงรูปวงจรมีเหมือนกับวิธีเฉลี่ยวงจร ซึ่งทำให้เข้าใจพฤติกรรมได้ยากกว่าได้แสดงสมการไฟตรงของปริภูมิสถานะไว้ในสมการ (ก) (2.9) และ (ข) (2.9)

$$0 = A \cdot X + B \cdot U \quad (2.9) \text{ (ก)}$$

$$Y = H \cdot X + J \cdot U \quad (2.9) \text{ (ข)}$$

และสมการสัญญาณขนาดเล็กของปริภูมิสถานะ ไว้ในสมการ (ค) (2.9) และ (ง) (2.9)

$$\frac{d}{dt} \hat{x}(t) = A \cdot \hat{x}(t) + B \cdot \hat{u}(t) \quad (2.9) \text{ (ค)}$$

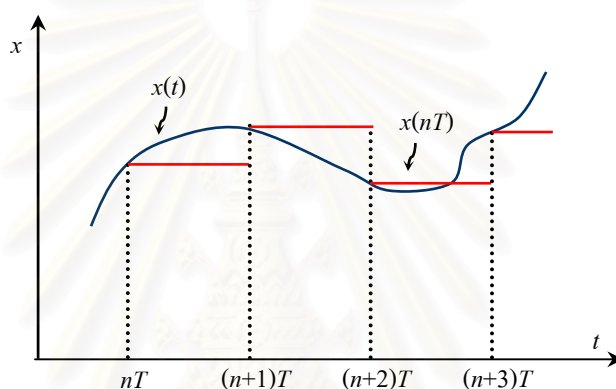
$$\hat{y}(t) = H \cdot \hat{x}(t) + J \cdot \hat{u}(t) \quad (2.9) \text{ (ง)}$$

สถาบันวิทยบริการ
จุฬาลงกรณ์มหาวิทยาลัย

2.3 วิธีชักตัวอย่างข้อมูล (Sampled-Data)

วิธีชักตัวอย่างข้อมูลจะเริ่มด้วยการหาแบบจำลองด้วยการหาสมการปริภูมิสถานะ แต่จะทำการคงค่าอันดับศูนย์ (Zero Order Hold หรือ ZOH) ทำให้แบบจำลองไม่แปรผันตามเวลาแทนการหาค่าเฉลี่ยต่อคาบ เหมือนกับวิธีเฉลี่ยวงจรมวลและเฉลี่ยปริภูมิสถานะ ซึ่งทำให้ไม่ต้องสมมุติว่าเวกเตอร์สถานะ $x(t)$ และเวกเตอร์ด้านเข้า $u(t)$ มีค่าระลอกน้อยหรือเปลี่ยนแปลงช้าเพราะไม่ต้องใช้เทคนิคการอินทิเกรต โดยมีขั้นตอนในการหาแบบจำลองดังต่อไปนี้

ขั้นที่หนึ่ง ทำให้ไม่แปรผันตามเวลาโดยใช้ตัวคงค่าอันดับศูนย์เปลี่ยนสัญญาณต่อเนื่อง $x(t)$ ให้เป็นสัญญาณไม่ต่อเนื่อง $x(nT)$ ที่มีเป็นค่าคงที่ในแต่ละคาบดังแสดงในรูป 2.3



รูปที่ 2.3 เปรียบเทียบสัญญาณต่อเนื่อง $x(t)$ และสัญญาณไม่ต่อเนื่อง $x(nT)$

กำหนดให้แบบจำลองต่อเนื่องในปริภูมิสถานะของสัญญาณ $x(t)$ ในรูป 2.3 มีค่าตามสมการ (2.10)

$$\frac{d}{dt} x(t) = F \cdot x(t) + G \cdot u(t) \quad (2.10) \text{ (ก)}$$

$$y(t) = H \cdot x(t) + J \cdot u(t) \quad (2.10) \text{ (ข)}$$

จาก [15] ในหน้า 103-107 คำนวณหาสัญญาณต่อเนื่อง $x(t)$ ได้ดังในสมการ (2.11)

$$x(t) = e^{F(t-t_0)} \cdot x(t_0) + \int_{t_0}^t e^{F(t-\tau)} G \cdot u(\tau) d\tau \quad (2.11)$$

และคำนวณหาสัญญาณ ณ. เวลาสิ้นสุดคาบในรูปของสัญญาณที่จุดเริ่มต้นคาบโดยแทนที่ $t = nT + T$ กับ $t_0 = nT$ และเวกเตอร์ด้านเข้า $u(t)$ เป็นค่าคงที่ซึ่งมีค่าเท่ากับ $u(t_0)$ ลงในสมการ (2.11) และ (2.10) (ข) ดังนั้นจะได้สัญญาณไม่ต่อเนื่อง $x(nT+T)$ หรือเรียกว่าสมการผลต่างสืบเนื่อง (difference equation) กับ $y(nT)$ เป็นตามสมการ (2.12) ซึ่งเป็นแบบจำลองไม่ต่อเนื่องของปริภูมิสถานะ

$$x(nT + T) = \Phi \cdot x(nT) + \Gamma \cdot u(nT) \quad (2.12) \text{ (ก)}$$

$$y(nT) = H \cdot x(nT) + J \cdot u(nT) \quad (2.12) \text{ (ข)}$$

ซึ่ง $\Phi = e^{F(T)}$, $\Gamma = \Psi T G$ และ $\Psi = F^{-1}(\Phi - I)/T$

ขั้นที่สอง การทำให้เป็นเชิงเส้น โดยประมาณว่าเวกเตอร์สถานะ $x(nT + T)$, $x(nT)$ และเวกเตอร์ด้านเข้า $u(nT)$ เป็นสัญญาณขนาดเล็ก จะได้แบบจำลองสัญญาณขนาดเล็ก-ไม่ต่อเนื่องในปริภูมิสถานะ ดังสมการ (2.13)

$$\hat{x}(nT + T) = \Phi \cdot \hat{x}(nT) + \Gamma \cdot \hat{u}(nT) \quad (2.13) \text{ (ก)}$$

$$\hat{y}(nT) = H \cdot \hat{x}(nT) + J \cdot \hat{u}(nT) \quad (2.13) \text{ (ข)}$$

ขั้นที่สาม ทำให้ต่อเนื่อง เราต้องการเปลี่ยนแบบจำลองสัญญาณขนาดเล็ก-ไม่ต่อเนื่องในปริภูมิสถานะในสมการ (2.13) ให้เป็นแบบจำลองสัญญาณขนาดเล็ก-ต่อเนื่องในปริภูมิสถานะตามสมการ (2.14) โดยใช้วิธีการคำนวณหาความสัมพันธ์ผกผันของตัวคงค่าอันดับศูนย์จากความสัมพันธ์ในสมการ (2.12)

$$\frac{d}{dt} \hat{x}(t) = A \cdot \hat{x}(t) + B \cdot \hat{u}(t) \quad (2.14) \text{ (ก)}$$

$$\hat{y}(t) = H \cdot \hat{x}(t) + J \cdot \hat{u}(t) \quad (2.14) \text{ (ข)}$$

ซึ่ง $A = [\log_e \Phi]/T$ และ $B = \Psi^{-1} \Gamma / T$

แต่ปริภูมิสถานะของวงจรแปลงผันไฟตรง-ไฟตรงโดยทั่วไป จะเป็นตามสมการ (2.6) ซึ่งสามารถเขียนเมตริกซ์สถานะ $A(t)$ และเมตริกซ์ด้านเข้า $B(t)$ ได้เป็น

$$A(t) = \begin{cases} A_1 & t_0 < t < t_1 \\ A_2 & t_1 < t < t_2 \\ \vdots & \vdots \\ A_i & t_{i-1} < t < t_i \end{cases} \quad \text{และ} \quad B(t) = \begin{cases} B_1 & t_0 < t < t_1 \\ B_2 & t_1 < t < t_2 \\ \vdots & \vdots \\ B_i & t_{i-1} < t < t_i \end{cases}$$

สามารถคำนวณหาสัญญาณไม่ต่อเนื่อง $x(nT)$ ได้เป็นสมการ (2.15)

$$x(t_i) = \begin{cases} \prod_{k=1}^i e^{A_k(t_k+t_{k-1})} \cdot x(t_0) + \\ \sum_{j=2}^i \left[\prod_{k=j}^i e^{A_k(t_k+t_{k-1})} \right] \cdot \left[e^{A_{j-1}(t_{j-1}+t_{j-2})} - I \right] A_{j-1}^{-1} B_{j-1} \cdot u(t_0) \\ + \left[e^{A_j(t_j+t_{j-1})} - I \right] A_j^{-1} B_j \cdot u(t_0) \end{cases} \quad (2.15)$$

แทน $t_0 = nT$ และ $t_i = nT + T$ ลงในสมการ (2.15) ไปเป็นสมการ (2.16) เรียกว่าสมการผลต่างสืบเนื่องซึ่งแสดงความสัมพันธ์ของเวกเตอร์สถานะและเวกเตอร์ด้านเข้าที่ nT กับเวกเตอร์สถานะที่ $nT + T$

$$x(nT + T) = \begin{cases} \prod_{k=1}^i e^{A_k(t_k+t_{k-1})} \cdot x(nT) + \\ \sum_{j=2}^i \left[\prod_{k=j}^i e^{A_k(t_k+t_{k-1})} \right] \left[e^{A_{j-1}(t_{j-1}+t_{j-2})} - I \right] A_{j-1}^{-1} B_{j-1} \cdot u(nT) \\ + \left[e^{A_j(t_j+t_{j-1})} - I \right] A_j^{-1} B_j \cdot u(nT) \end{cases} \quad (2.16)$$

และทำให้สมการ (2.16) เป็นเชิงเส้นได้เป็นสมการ (2.17) ตามเงื่อนไขในสมการ (2.2)

$$\hat{x}(kT + T) = \Phi \cdot \hat{x}(kT) + \Gamma \cdot \hat{w}(kT) \quad (2.17)$$

จากนั้นแปลงให้เป็นสมการต่อเนื่อง โดยใช้ความสัมพันธ์เหมือนกับสมการ (2.14)

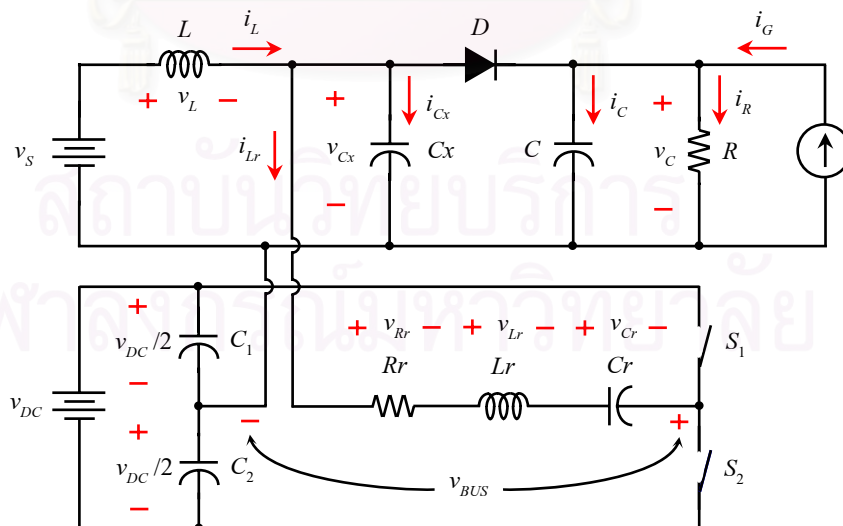
จากการศึกษาพฤติกรรมของวงจรระดับที่ใช้กิ่งควบคุมแรงดันใน [5] และวิธีการหาแบบจำลองของวงจรแปลงผันไฟตรง-ไฟตรงใน [8-15] ทำให้ทราบว่าวิธีการหาแบบจำลองของวงจรระดับที่ใช้กิ่งควบคุมแรงดันกรณีใช้อินเวอร์เตอร์เป็นแหล่งกระแสควบคุมไม่สามารถใช้วิธีเฉลี่ยปริภูมิสถานะเพราะค่าระลอกของตัวแปรสถานะมีค่ามาก (v_{Cx} , v_{Cr} และ i_{Lr}) และการหาแบบจำลองด้วยวิธีเฉลี่ยวงจรเพื่อเป็นลดความซับซ้อนในการหาฟังก์ชันกระแสและแรงดันจึงประมาณให้กระแส i_{Lr} เป็นฟังก์ชันไซน์ซึ่งเป็นการละเลยผลของฮาร์โมนิก แต่สำหรับการหาแบบจำลองด้วยวิธีชักตัวอย่างข้อมูลนั้นสามารถทำได้โดยไม่ใช้เงื่อนไขและการประมาณเหมือนกับวิธีเฉลี่ยวงจรและวิธีเฉลี่ยปริภูมิสถานะ ดังนั้นวิทยานิพนธ์ฉบับนี้จะประยุกต์ใช้วิธีการหาแบบจำลองด้วยวิธีชักตัวอย่างกับวงจรระดับที่ใช้กิ่งควบคุมแรงดันกรณีใช้อินเวอร์เตอร์เป็นแหล่งกระแสควบคุม

แบบจำลองสัญญาณขนาดใหญ่

ในบทนี้จะกล่าวถึงการหาแบบจำลองด้วยวิธีชักตัวอย่างข้อมูลในขั้นตอนของการทำให้ไม่แปรผันตามเวลาด้วยตัวคงค่าอันดับศูนย์ โดยจะคำนวณหาผลเฉลยของสมการสถานะ $x(t)$ ที่เป็นฟังก์ชันต่อเนื่องและจากนั้นคำนวณหาสมการผลต่างสืบเนื่อง $x(nT_s)$ และการหาแบบจำลองสัญญาณขนาดเล็กของวงจรทระดับที่ใช้กึ่งควบคุมแรงดันจะกล่าวในบทถัดไป ในการคำนวณหาผลเฉลยของสมการสถานะ $x(t)$ เราจำเป็นต้องทราบจำนวนและการเรียงลำดับของรูปลักษณะของวงจรเพื่อเขียนสมการปริภูมิสถานะตามสมการ (2.6) โดยจะรู้ได้จากรูปคลื่นกระแสและแรงดันของวงจรในสภาวะอยู่ตัว

3.1 คำนวณหาสมการปริภูมิสถานะ

วงจรทระดับที่ใช้กึ่งควบคุมแรงดันกรณีใช้อินเวอร์เตอร์เป็นแหล่งกระแสควบคุม แสดงไว้ในรูป 3.1 โดยวงจรในรูป 3.1 ได้เพิ่มแหล่งกระแสด้านออก i_G เพื่อใช้สำหรับคำนวณหาอิมพีแดนซ์สมมูลด้านออกของวงจร และกำหนดให้วงจรมีเงื่อนไขดังนี้ 1. วงจรทำงานในสภาวะอยู่ตัว 2. วงจรทำงานในโหมดกระแสต่อเนื่องซึ่งก็คือกระแสของตัวเหนี่ยวนำ i_L และ i_L ในวงจรเป็นฟังก์ชันต่อเนื่องเพื่อให้วงจรมีจำนวนและการเรียงลำดับของรูปลักษณะที่แน่นอน 3. อุปกรณ์ในวงจรเป็นอุดมคติเพื่อให้การคำนวณหาสมการปริภูมิสถานะไม่ซับซ้อน และกำหนดเวกเตอร์ด้านเข้า u เป็นเซตของแรงดันและกระแสที่เป็นตัวแปรอิสระซึ่งจะได้เวกเตอร์ด้านเข้า $u = [v_s \ v_{DC} \ i_G]^T$ กำหนดเวกเตอร์สถานะ $x(t)$ เป็นเซตที่ประกอบแรงดันของตัวเก็บประจุและกระแสของตัวเหนี่ยวนำซึ่งจะได้เวกเตอร์สถานะ $x = [v_{Cx} \ v_{Cr} \ v_C \ i_L \ i_L]^T$



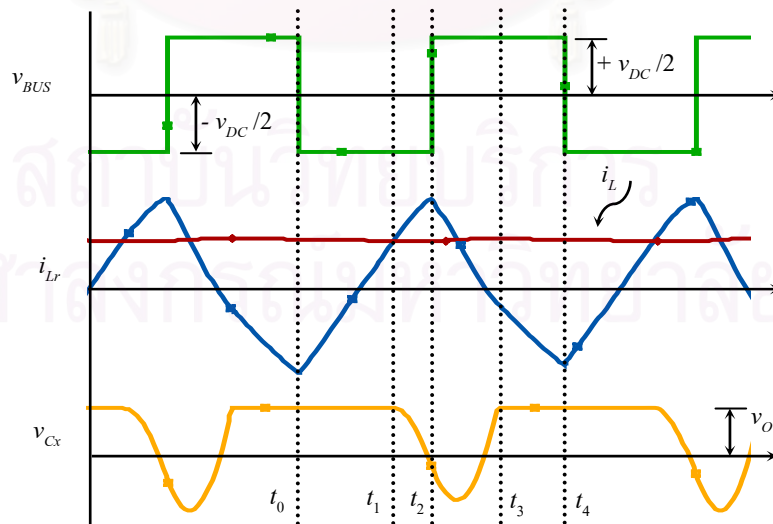
รูปที่ 3.1 วงจรทระดับที่ใช้กึ่งควบคุมแรงดันกรณีใช้อินเวอร์เตอร์เป็นแหล่งกระแสควบคุม

พิจารณารูปคลื่นกระแสและแรงดันของวงจรในสถานะอยู่ตัวดังแสดงในรูป 3.2 ซึ่งได้จากการออกแบบวงจรใน [5] และการจำลองวงจรด้วยคอมพิวเตอร์ จะได้ว่าวงจรทระดับที่ใช้กึ่งควบคุมแรงดันมีรูปลักษณะทั้งหมด 4 รูปลักษณะโดยเกิดจากการนำกระแสหรือหยุดนำกระแสของไดโอด D และการตัดหรือต่อวงจรของสวิตช์ไวงาน S_1, S_2 ซึ่งสวิตช์ไวงานจะทำงานในลักษณะตรงข้ามกันเสมอคือถ้าสวิตช์ตัวหนึ่งตัดวงจรอีกตัวหนึ่งก็จะต่อวงจร และได้ให้ความหมายของตัวแปรตำแหน่งเวลาต่างๆ เป็นดังนี้

- ตำแหน่งเวลา t_0 กำหนดให้เป็นเวลาเริ่มต้นของคาบซึ่ง v_{BUS} เปลี่ยนจาก $+v_{DC}/2$ เป็น $-v_{DC}/2$
- ตำแหน่งเวลา t_1 เป็นเวลาที่ i_{Lr} เพิ่มขึ้นเท่ากับ i_L ดังนั้น $i_{Lr}(t_1) = i_L(t_1)$ และ v_{Cx} เริ่มลดลงจาก v_C
- ตำแหน่งเวลา t_2 เป็นเวลาที่ v_{BUS} เปลี่ยนจาก $-v_{DC}/2$ เป็น $+v_{DC}/2$ ซึ่งเท่ากับครึ่งคาบ ดังนั้น $t_2 = t_s/2$
- ตำแหน่งเวลา t_3 เป็นเวลาที่ v_{Cx} เพิ่มขึ้นเท่ากับ v_C ดังนั้น $v_{Cx}(t_3) = v_C(t_3)$
- ตำแหน่งเวลา t_4 เป็นเวลาที่ v_{BUS} เปลี่ยนจาก $+v_{DC}/2$ เป็น $-v_{DC}/2$ ซึ่งเท่ากับหนึ่งคาบ ดังนั้น $t_4 = t_s$

ซึ่งสามารถเรียงลำดับรูปลักษณะของวงจรเป็นดังนี้ คือ

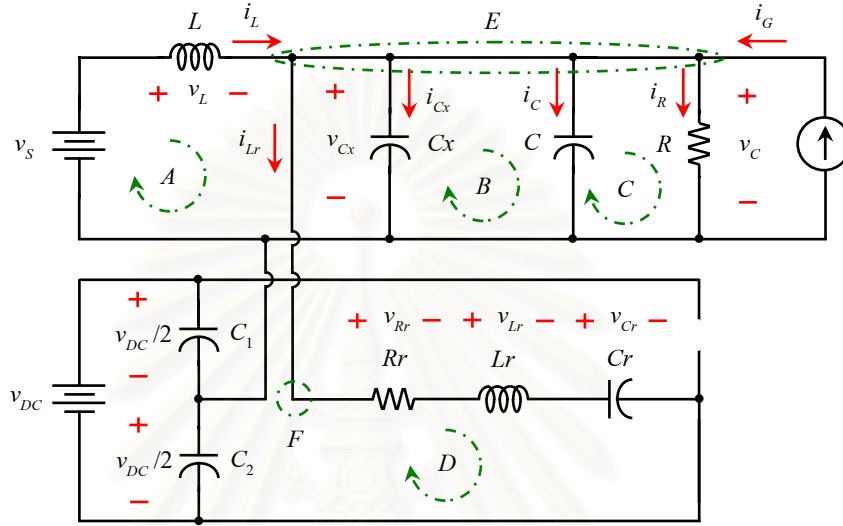
1. รูปลักษณะที่ 1 สวิตช์ไวงาน S_1 ตัดวงจร S_2 ตัดวงจร แรงดัน v_{BUS} มีค่าเท่ากับ $-v_{DC}/2$ และแรงดัน v_{Cx} มีค่าเท่ากับ v_C ไดโอด D นำกระแส
2. รูปลักษณะที่ 2 สวิตช์ไวงาน S_1 ตัดวงจร S_2 ตัดวงจร แรงดัน v_{BUS} มีค่าเท่ากับ $-v_{DC}/2$ และแรงดัน v_{Cx} มีค่าน้อยกว่า v_C ไดโอด D หยุดนำกระแส
3. รูปลักษณะที่ 3 สวิตช์ไวงาน S_1 ต่อวงจร S_2 ตัดวงจร แรงดัน v_{BUS} มีค่าเท่ากับ $+v_{DC}/2$ และแรงดัน v_{Cx} มีค่าน้อยกว่า v_C ไดโอด D หยุดนำกระแส
4. รูปลักษณะที่ 4 สวิตช์ไวงาน S_1 ต่อวงจร S_2 ตัดวงจร แรงดัน v_{BUS} มีค่าเท่ากับ $+v_{DC}/2$ และแรงดัน v_{Cx} มีค่าเท่ากับ v_C ไดโอด D หยุดนำกระแส



รูปที่ 3.2 รูปคลื่นกระแสและแรงดันของวงจรในสถานะอยู่ตัว

ช่วงเวลา $t_0 < t < t_1$

ช่วงเวลานี้เมื่อพิจารณาจากรูปคลื่นกระแสและแรงดันของวงจรดังในรูป 3.2 สวิตช์ไวนงาน S_1 ตัดวงจร S_2 ตัดวงจร แรงดัน v_{BUS} มีค่าเท่ากับ $-v_{DC} / 2$ และแรงดัน v_{Cx} มีค่าเท่ากับ v_C ไดโอด D นำกระแส รูปปลั๊กซ์ของวงจรจะเป็นดังในรูป 3.3



รูปที่ 3.3 วงจรทระดับที่ใช้กึ่งควบคุมแรงดันในช่วงเวลา $t_0 < t < t_1$

คำนวณหาสมการ $\frac{dv_{Cx}}{dt}$ โดยเขียนสมการกระแสที่ปม E ได้เป็นสมการ (3.1.1)

$$i_{Cx} = [i_L + i_G] - [i_{Lr} + i_C + i_R] \tag{3.1.1}$$

แทน $i_{Cx} = Cx \frac{dv_{Cx}}{dt}$, $i_C = C \frac{dv_C}{dt}$ และ $i_R = \frac{v_C}{R}$ ลงในสมการ (3.1.1) ได้เป็นสมการ (3.1.2)

$$Cx \frac{dv_{Cx}}{dt} = [i_L + i_G] - \left[i_{Lr} + C \frac{dv_C}{dt} + \frac{v_C}{R} \right] \tag{3.1.2}$$

หาสมการแรงดันที่วงรอบ B เขียนความสัมพันธ์ระหว่าง v_{Cx} กับ v_C และอนุพันธ์ได้เป็นสมการ (3.1.3)

$$v_{Cx} = v_C \Rightarrow \frac{dv_{Cx}}{dt} = \frac{dv_C}{dt} \tag{3.1.3}$$

แทนสมการ (3.1.3) ลงในสมการ (3.1.2) เพื่อกำจัดตัวแปร v_C และอนุพันธ์ของ v_C ได้เป็นสมการ (3.1.4)

$$\frac{dv_{C_x}}{dt} = \frac{1}{(C_x + C)} [i_L + i_G] + \frac{-1}{(C_x + C)} \left[i_{L_r} + \frac{1}{R} v_{C_x} \right] \quad (3.1.4)$$

คำนวณหาสมการ $\frac{dv_C}{dt}$ โดยแทนสมการ (3.1.3) ลงในสมการ (3.1.4) เพื่อกำจัดตัวแปร v_{C_x} และอนุพันธ์ของ v_{C_x} ได้เป็นสมการ (3.1.5)

$$\frac{dv_C}{dt} = \frac{1}{(C_x + C)} [i_L + i_G] + \frac{-1}{(C_x + C)} \left[i_{L_r} + \frac{1}{R} v_C \right] \quad (3.1.5)$$

คำนวณ $\frac{dv_{C_r}}{dt}$ โดยหาสมการกระแสที่ปม F และแทน $i_{C_r} = Cr \frac{dv_{C_r}}{dt}$ ได้เป็นสมการ (3.1.6)

$$i_{C_r} = i_{L_r} \Rightarrow \frac{dv_{C_r}}{dt} = \frac{1}{Cr} i_{L_r} \quad (3.1.6)$$

คำนวณ $\frac{di_L}{dt}$ โดยหาสมการแรงดันที่วงรอบ A ได้เป็นสมการ (3.1.7)

$$v_L = v_S - v_{C_x} \quad (3.1.7)$$

แทน $v_L = L \frac{di_L}{dt}$ ลงในสมการ (3.1.7) ได้เป็นสมการ (3.1.8)

$$\frac{di_L}{dt} = \frac{1}{L} [v_S - v_{C_x}] \quad (3.1.8)$$

คำนวณ $\frac{di_{L_r}}{dt}$ โดยหาสมการแรงดันที่วงรอบ D ได้เป็นสมการ (3.1.9)

$$v_{L_r} = \frac{1}{2} v_{DC} + v_{C_x} - [v_{R_r} + v_{C_r}] \quad (3.1.9)$$

แทน $v_{R_r} = i_{L_r} R_r$ และ $v_{L_r} = L_r \frac{di_{L_r}}{dt}$ ลงในสมการ (3.1.9) ได้เป็นสมการ (3.1.10)

$$\frac{di_{L_r}}{dt} = \frac{1}{2L_r} v_{DC} + \frac{1}{L_r} v_{C_x} - \frac{1}{L_r} [i_{L_r} R_r + v_{C_r}] \quad (3.1.10)$$

จากสมการ (3.1.4) - (3.1.6), (3.1.8) และ (3.1.10) นำมาเขียนเป็นสมการเมตริกซ์สมการเดียวได้เป็นสมการ (3.1.11) เรียกว่าสมการสถานะซึ่งสมการสถานะเป็นสมการที่ใช้สำหรับอธิบายการเปลี่ยนของเวกเตอร์สถานะ

$$\frac{dx}{dt} = \underbrace{\begin{bmatrix} \frac{-1}{RCz} & 0 & 0 & \frac{-1}{Cz} & \frac{1}{Cz} \\ 0 & 0 & 0 & \frac{1}{Cr} & 0 \\ 0 & 0 & \frac{-1}{RCz} & \frac{-1}{Cz} & \frac{1}{Cz} \\ \frac{1}{Lr} & \frac{-1}{Lr} & 0 & \frac{-Rr}{Lr} & 0 \\ \frac{-1}{L} & 0 & 0 & 0 & 0 \end{bmatrix}}_{A_1} \underbrace{\begin{bmatrix} v_{Cx} \\ v_{Cr} \\ v_C \\ i_{Lr} \\ i_L \end{bmatrix}}_{x(t)} + \underbrace{\begin{bmatrix} 0 & 0 & \frac{1}{Cz} \\ 0 & 0 & 0 \\ 0 & 0 & \frac{1}{Cz} \\ 0 & \frac{1}{2Lr} & 0 \\ \frac{1}{L} & 0 & 0 \end{bmatrix}}_{B_1} \underbrace{\begin{bmatrix} v_S \\ v_{DC} \\ i_G \end{bmatrix}}_{u(t)} \quad (3.1.11)$$

ซึ่ง $Cz = Cx + C$

และเขียนสมการที่แสดงความสัมพันธ์ระหว่างเวกเตอร์ด้านออกกับเวกเตอร์สถานะและเวกเตอร์ด้านเข้า ซึ่งจะเรียกว่าสมการด้านออก โดยเลือกตัวแปรด้านออกจากตัวแปรสถานะเพื่อให้สัมประสิทธิ์ของพจน์ x และ u ในสมการด้านออกเป็นเมตริกซ์ค่าคงที่ ทำให้มีสมการด้านออกเหมือนกันในทุกรูปลักษณะของวงจร โดยเขียนได้เป็นสมการ (3.1.12)

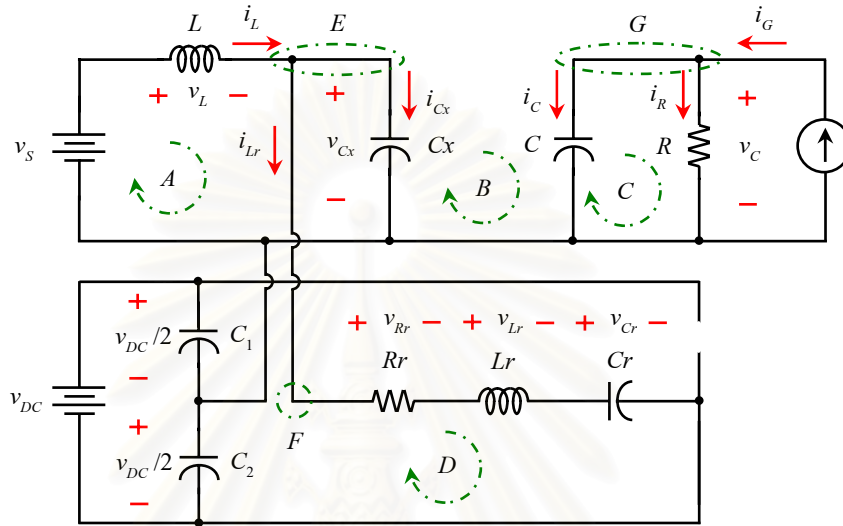
$$\underbrace{\begin{bmatrix} v_C \\ i_L \end{bmatrix}}_{y(t)} = \underbrace{\begin{bmatrix} 0 & 0 & 1 & 0 & 0 \\ 0 & 0 & 0 & 0 & 1 \end{bmatrix}}_{C_x} x(t) + \underbrace{\begin{bmatrix} 0 & 0 & 0 \\ 0 & 0 & 0 \end{bmatrix}}_{D_u} u(t) \quad (3.1.12)$$

ซึ่งสมการ (3.1.11) และ (3.1.12) เรียกว่าสมการปริภูมิสถานะ

สถาบันวิทยบริการ
จุฬาลงกรณ์มหาวิทยาลัย

ช่วงเวลา $t_1 < t < t_2$

ช่วงเวลานี้เมื่อพิจารณาจากรูปคลื่นกระแสและแรงดันของวงจรดังในรูป 3.2 สวิตช์ไวงาน S_1 ตัดวงจร S_2 ต่อวงจร แรงดัน v_{BUS} มีค่าเท่ากับ $-v_{DC} / 2$ และแรงดัน v_{Cx} มีค่าน้อยกว่า v_C ไดโอด D หยุดนำกระแส รูปลักษณะของวงจรจะเป็นดังในรูป 3.4



รูปที่ 3.4 วงจรทระดับที่ใช้กิ่งควบคุมแรงดันในช่วงเวลา $t_1 < t < t_2$

คำนวณ $\frac{dv_{Cx}}{dt}$ โดยเขียนสมการกระแสที่ปม E ได้เป็นสมการ (3.1.13)

$$i_{Cx} = i_L - i_{Lr} \tag{3.1.13}$$

แทน $i_{Cx} = Cx \frac{dv_{Cx}}{dt}$ ลงในสมการ (3.1.13) ได้สมการ (3.1.14)

$$\frac{d}{dt} v_{Cx} = \frac{1}{Cx} [i_L - i_{Lr}] \tag{3.1.14}$$

คำนวณ $\frac{dv_C}{dt}$ โดยหาสมการกระแสที่ปม G ได้สมการ (3.1.15)

$$i_C = i_G - i_R \tag{3.1.15}$$

แทน $i_C = C \frac{dv_C}{dt}$ และ $i_R = \frac{v_C}{R}$ ลงในสมการ (3.1.15) ได้สมการ (3.1.16)

$$\frac{d}{dt}v_C = \frac{1}{C} \left[i_G - \frac{v_C}{R} \right] \quad (3.1.16)$$

เมื่อเปรียบเทียบวงจรในรูป 3.4 กับ 3.3 จะได้ว่าสมการ $\frac{dv_{Cr}}{dt}$, $\frac{di_{Lr}}{dt}$ และ $\frac{di_L}{dt}$ เป็นดังสมการ (3.1.6) (3.1.10) และ (3.1.8) ตามลำดับ

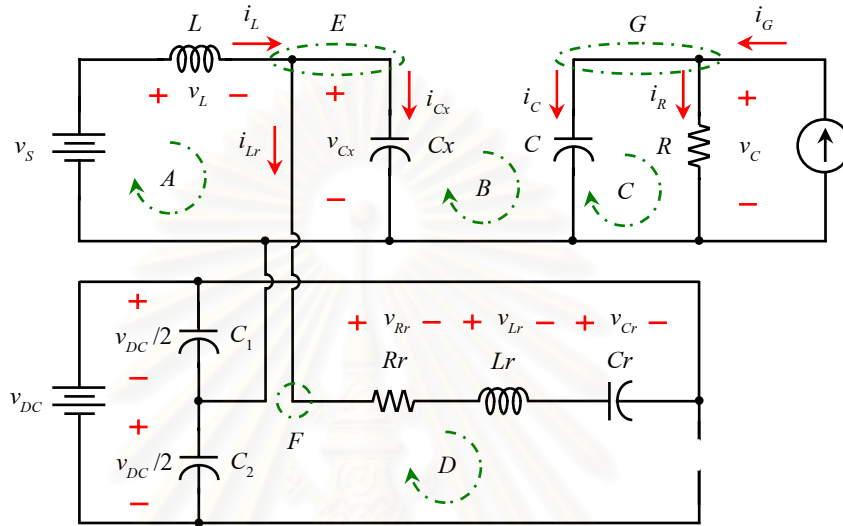
จากสมการ (3.1.14) (3.1.16) (3.1.6) (3.1.10) และ (3.1.8) นำมาเขียนเป็นสมการสถานะได้เป็นสมการ (3.1.17) และสมการด้านออกเป็นเหมือนสมการ (3.1.12)

$$\frac{dx}{dt} = \underbrace{\begin{bmatrix} 0 & 0 & 0 & -\frac{1}{Cx} & \frac{1}{Cx} \\ 0 & 0 & 0 & \frac{1}{Cr} & 0 \\ 0 & 0 & -\frac{1}{RC} & 0 & 0 \\ \frac{1}{Lr} & -\frac{1}{Lr} & 0 & -\frac{Rr}{Lr} & 0 \\ -\frac{1}{L} & 0 & 0 & 0 & 0 \end{bmatrix}}_{A_2} x(t) + \underbrace{\begin{bmatrix} 0 & 0 & 0 \\ 0 & 0 & 0 \\ 0 & 0 & \frac{1}{C} \\ 0 & \frac{1}{2Lr} & 0 \\ \frac{1}{L} & 0 & 0 \end{bmatrix}}_{B_2} u(t) \quad (3.1.17)$$

สถาบันวิทยบริการ
จุฬาลงกรณ์มหาวิทยาลัย

ช่วงเวลา $t_2 < t < t_3$

ช่วงเวลานี้เมื่อพิจารณาจากรูปคลื่นกระแสและแรงดันของวงจรดังในรูป 3.1.2 สวิตช์ไวงาน S_1 ต่อวงจร S_2 ตัดวงจร แรงดัน v_{BUS} มีค่าเท่ากับ $+v_{DC} / 2$ และแรงดัน v_{Cx} มีค่าน้อยกว่า v_C ไดโอด D หยุดนำกระแส รูปลักษณะของวงจรจะเป็นดังในรูป 3.5



รูปที่ 3.5 วงจรทระดับที่ใช้กิ่งควบคุมแรงดันในช่วงเวลา $t_2 < t < t_3$

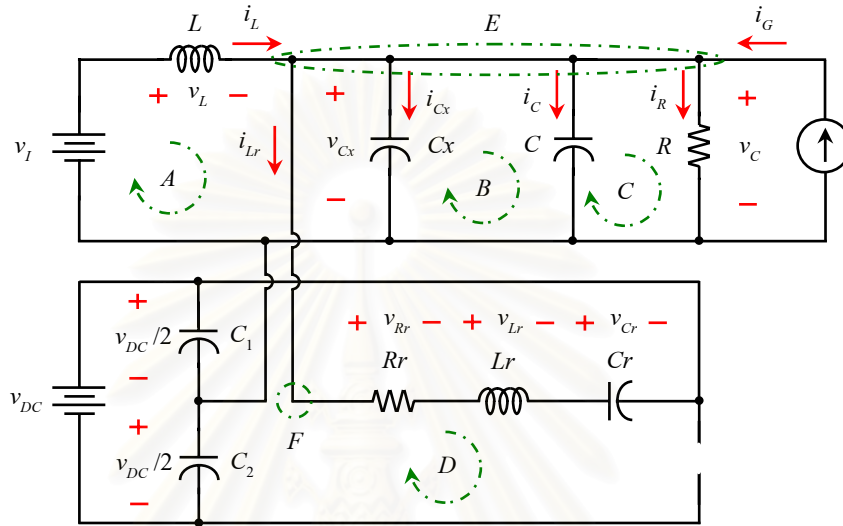
เมื่อเปรียบเทียบวงจรในรูป 3.5 กับ 3.4 จะได้ว่าสมการปริภูมิสถานะของทั้งสองรูปเหมือนกันยกเว้นสัมประสิทธิ์ของพจน์ v_{DC} จะมีเครื่องหมายตรงกันข้ามซึ่งเขียนสมการสถานะของรูป 3.5 ได้เป็นสมการ (3.1.18) และสมการด้านออกเหมือนกับสมการ (3.1.12)

$$\frac{dx}{dt} = A_3 \cdot x(t) + \underbrace{\begin{bmatrix} 0 & 0 & 0 \\ 0 & 0 & 0 \\ 0 & 0 & \frac{1}{C} \\ 0 & -\frac{1}{2Lr} & 0 \\ \frac{1}{L} & 0 & 0 \end{bmatrix}}_{B_3} u(t) \tag{3.1.18}$$

ซึ่ง $A_3 = A_2$

ช่วงเวลา $t_3 < t < t_4$

ช่วงเวลานี้เมื่อพิจารณาจากรูปคลื่นกระแสและแรงดันของวงจรดังในรูป 3.2 สวิตช์ไวนาน S_1 ต่่วงจร S_2 ต่่วงจร แรงดัน v_{BUS} มีค่าเท่ากับ $+v_{DC} / 2$ และแรงดัน v_{Cx} มีค่าเท่ากับ v_C ไดโอด D นำกระแส รูปลักษณะของวงจรจะเป็นดังในรูป 3.6



รูปที่ 3.6 วงจรระดับที่ใช้กึ่งควบคุมแรงดันในช่วงเวลา $t_3 < t < t_4$

เมื่อเปรียบเทียบวงจรในรูป 3.6 กับ 3.3 จะได้ว่าสมการปริภูมิสถานะของทั้งสองรูปเหมือนกันยกเว้นสัมประสิทธิ์ของพจน์ v_{DC} จะมีเครื่องหมายตรงกันข้ามซึ่งเขียนสมการสถานะของรูป 3.6 ได้เป็นสมการ (3.1.19) และสมการด้านออกเหมือนกับสมการ (3.1.12)

$$\frac{dx}{dt} = A_4 \cdot x(t) + \underbrace{\begin{bmatrix} 0 & 0 & \frac{1}{Cz} \\ 0 & 0 & 0 \\ 0 & 0 & \frac{1}{Cz} \\ 0 & \frac{-1}{2Lr} & 0 \\ \frac{1}{L} & 0 & 0 \end{bmatrix}}_{B_4} u(t) \tag{3.1.19}$$

ซึ่ง $A_4 = A_1$

ดังนั้นสามารถคำนวณหาสมการปริภูมิสถานะที่แปรผันตามเวลาได้จากสมการปริภูมิสถานะในแต่ละรูปลักษณะของวงจรซึ่งเขียนเป็นสมการ (3.1.20)

$$\frac{dx(t)}{dt} = \begin{cases} A_1 \cdot x(t) + B_1 \cdot u(t) & ; t_0 < t < t_1 \\ A_2 \cdot x(t) + B_2 \cdot u(t) & ; t_1 < t < t_2 \\ A_3 \cdot x(t) + B_3 \cdot u(t) & ; t_2 < t < t_3 \\ A_4 \cdot x(t) + B_4 \cdot u(t) & ; t_3 < t < t_4 \end{cases} \quad (3.1.20) \text{ (ก)}$$

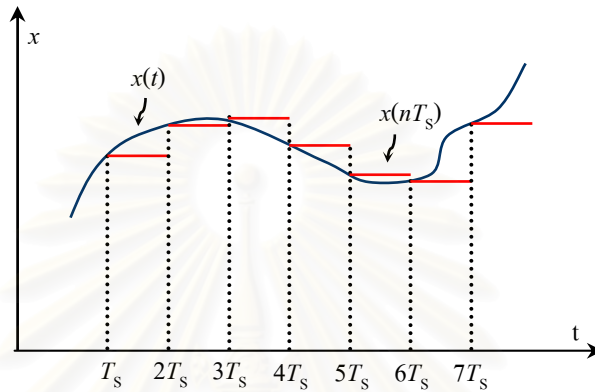
$$y(t) = C_x \cdot x(t) + D_U \cdot u(t) \quad ; t_0 < t < t_4 \quad (3.1.20) \text{ (ข)}$$

เมื่อพิจารณาสมการ (3.1.20) ได้เห็นได้ว่าสมการ (3.1.20) (ข) เป็นสมการเชิงเส้นและไม่แปรผันตามเวลาเพราะสัมประสิทธิ์ของพจน์ x และ u เป็นเมตริกซ์ค่าคงที่ แต่สัมประสิทธิ์ของพจน์ x และ u ในสมการ (3.1.20) (ก) เป็นฟังก์ชันของเวลาทำให้เป็นสมการไม่เชิงเส้นและแปรผันตามเวลา ดังนั้นในการหาแบบจำลองความถี่ต่ำหรือการทำให้ไม่แปรผันตามเวลาในหัวข้อ 3.2 จะสนใจเฉพาะสมการสถานะหรือสมการ (3.1.20) (ก) เท่านั้นเพราะสมการด้านนอกเป็นสมการที่ไม่แปรผันกับเวลาอยู่แล้ว

สถาบันวิทยบริการ
จุฬาลงกรณ์มหาวิทยาลัย

3.2 คำนวณหาแบบจำลองความถี่ต่ำ

เราจะคำนวณหาเวกเตอร์สถานะไม่ต่อเนื่อง $x(nT_s)$ จากเวกเตอร์สถานะต่อเนื่อง $x(t)$ โดยใช้การคงค่าอันดับศูนย์เพื่อเป็นการทำให้แบบจำลองไม่แปรผันตามเวลา ซึ่งเป็นการบอกว่าสัญญาณเป็นค่าคงที่ตลอด 1 คาบ โดยมีค่าเท่ากับค่าที่ได้จากการสุ่มเวกเตอร์สถานะต่อเนื่อง $x(t)$ ในที่นี้จะสุ่มข้อมูลทุกๆ T_s วินาทีซึ่งลำดับของข้อมูลที่ี้ได้จากการสุ่มทุกๆ T_s วินาทีก็คือเวกเตอร์สถานะไม่ต่อเนื่อง $x(nT_s)$ นั้นเอง ดังแสดงตัวอย่างในรูป 3.7



รูปที่ 3.7 เปรียบเทียบเวกเตอร์สถานะที่เป็นฟังก์ชันต่อเนื่องและที่เป็นฟังก์ชันไม่ต่อเนื่อง

พิจารณาสมการสถานะในสมการ (3.1.20) ซึ่งเป็นสมการที่แปรผันกับเวลานำมาเขียนใหม่เป็นสมการ (3.2.1) โดยจะเขียนให้อยู่ในรูปของคาบ n ใดๆ ในสถานะอยู่ตัว

$$\frac{d}{dt}x(t) = \begin{cases} A_1 \cdot x(t) + B_1 \cdot u(t) & t_{0,nT_s} < t < t_{1,nT_s} \\ A_2 \cdot x(t) + B_2 \cdot u(t) & t_{1,nT_s} < t < t_{2,nT_s} \\ A_3 \cdot x(t) + B_3 \cdot u(t) & t_{2,nT_s} < t < t_{3,nT_s} \\ A_4 \cdot x(t) + B_4 \cdot u(t) & t_{3,nT_s} < t < t_{4,nT_s} \end{cases} \quad (3.2.1)$$

$$\text{ซึ่ง } 0 = t_0 < t_1 < t_2 = t_4/2 < t_3 < t_4 = T_s$$

ในการคำนวณหาเวกเตอร์สถานะไม่ต่อเนื่อง $x(nT_s)$ เราต้องคำนวณหาสมการที่แสดงความสัมพันธ์ของเวกเตอร์สถานะที่จุดสิ้นสุดของคาบ $x(t_4)$ กับจุดเริ่มต้นของคาบ $x(t_0)$ ซึ่งเมื่อกำหนดให้วงจรทำงานในสถานะอยู่ตัวแล้ว เราสามารถคำนวณหาสมการแสดงความสัมพันธ์ของจุดสิ้นสุดของคาบ $x(t_4)$ กับจุดเริ่มต้นของคาบ $x(t_0)$ ที่คาบใดก็ได้ โดยจะเลือกคาบที่ศูนย์ ($n = 0$) เพื่อความสะดวก โดยจะหาผลเฉลยของสมการสถานะในแต่ละรูปลักษณะของวงจร

คำนวณหา $x(t)$ ในช่วง $t_0 < t < t_1$ ซึ่งก็คือผลเฉลยของสมการอนุพันธ์ในช่วงนี้

$$\frac{d}{dt} x(t) = A_1 \cdot x(t) + B_1 \cdot u(t) \quad (3.2.2)$$

ย้ายข้างพจน์ $A_1 \cdot x(t)$ ในสมการ (3.2.2) ได้เป็นสมการ (3.2.3)

$$\frac{d}{dt} x(t) - A_1 \cdot x(t) = B_1 \cdot u(t) \quad (3.2.3)$$

คูณสมการ (3.2.3) ด้วย $e^{A_1(-t)}$ ได้เป็นสมการ (3.2.4)

$$e^{A_1(-t)} \left\{ \frac{d}{dt} x(t) - A_1 \cdot x(t) \right\} = e^{A_1(-t)} B_1 \cdot u(t) \quad (3.2.4)$$

พิจารณาพจน์ทางด้านซ้ายของสมการ (3.2.4) สามารถเขียนในรูปอนุพันธ์ของผลคูณ เป็นสมการ (3.2.5)

$$\begin{aligned} e^{A_1(-t)} \left\{ \frac{d}{dt} x(t) - A_1 \cdot x(t) \right\} &= e^{A_1(-t)} \frac{d}{dt} x(t) + e^{A_1(-t)} (-A_1) \cdot x(t) \\ &= \frac{d}{dt} \left\{ e^{A_1(-t)} x(t) \right\} \end{aligned} \quad (3.2.5)$$

แทนสมการ (3.2.5) ลงในสมการ (3.2.4) ได้เป็นสมการ (3.2.6)

$$\frac{d}{dt} \left\{ e^{A_1(-t)} x(t) \right\} = e^{A_1(-t)} B_1 \cdot u(t) \quad (3.2.6)$$

อินทิเกรตสมการ (3.2.6) เทียบกับเวลา ได้เป็นสมการ (3.2.7)

$$\begin{aligned} \int_{t_0}^t \left[\frac{d}{dt} \left\{ e^{A_1(-\tau)} x(\tau) \right\} \right] d\tau &= \int_{t_0}^t \left[e^{A_1(-\tau)} B_1 \cdot u(\tau) \right] d\tau \\ e^{A_1(-t)} x(t) &= e^{A_1(-t_0)} x_{t_0} + \int_{t_0}^t \left[e^{A_1(-\tau)} B_1 \cdot u(\tau) \right] d\tau \end{aligned} \quad (3.2.7)$$

คูณสมการ (3.2.7) ด้วย $e^{A_1(t)}$ ได้เป็นสมการ (3.2.8) ซึ่งเป็นผลเฉลยของสมการอนุพันธ์

$$e^{A_1(t)} e^{A_1(-t)} x(t) = e^{A_1(t)} e^{A_1(-t_0)} x_{t_0} + e^{A_1(t)} \int_{t_0}^t \left[e^{A_1(-\tau)} B_1 \cdot u(\tau) \right] d\tau$$

$$\begin{aligned}
 x(t) &= e^{A_1(t-t_0)} x_{t_0} + \int_{t_0}^t \left[e^{A_1(t-\tau)} e^{A_1(-\tau)} B_1 \cdot u(\tau) \right] d\tau \\
 &= e^{A_1(t-t_0)} x_{t_0} + \int_{t_0}^t \left[e^{A_1(t-\tau)} B_1 \cdot u(\tau) \right] d\tau
 \end{aligned} \tag{3.2.8}$$

จะเห็นได้ว่าสมการ (3.2.8) ยังไม่สมบูรณ์เพราะยังมีพจน์ของการอินทิเกรตอยู่ดังนั้นเพื่อให้สามารถอินทิเกรตได้ จึงจะประมาณว่า (เกิดจากการใช้ตัวคงค่าอันดับศูนย์)

❏ สัญญาณเข้า $u(t) = u(t_0)$

ดังนั้นสามารถคำนวณสมการ (3.2.8) ได้เป็นสมการ (3.2.9)

$$\begin{aligned}
 x(t) &= e^{A_1(t-t_0)} x_{t_0} + \int_{t_0}^t \left[e^{A_1(t-\tau)} B_1 \right] d\tau \cdot u_{t_0} \\
 &= e^{A_1(t-t_0)} x_{t_0} + \int_{t_0}^t \left[e^{A_1(t-\tau)} (-A_1^{-1}) \right] d[A_1(t-\tau)] \cdot B_1 \cdot u_{t_0} \\
 &= e^{A_1(t-t_0)} x_{t_0} + \left[e^{A_1(t-t)} - e^{A_1(t-t_0)} \right] (-A_1^{-1}) B_1 u_{t_0} \\
 &= e^{A_1(t-t_0)} x_{t_0} + \left[e^{A_1(t-t_0)} - I \right] A_1^{-1} B_1 u_{t_0}
 \end{aligned} \tag{3.2.9}$$

คำนวณหาเวกเตอร์สถานะที่เวลา t_1 จากสมการ (3.2.9) โดยแทน $t = t_1$ ได้เป็นสมการ (3.2.10)

$$x_{t_1} = e^{A_1(t_1-t_0)} x_{t_0} + \left[e^{A_1(t_1-t_0)} - I \right] A_1^{-1} B_1 u_{t_0} \tag{3.2.10}$$

สถาบันวิทยบริการ
จุฬาลงกรณ์มหาวิทยาลัย

คำนวณหา $x(t)$ ในช่วง $t_1 < t < t_2$ ซึ่งก็คือผลเฉลยของสมการอนุพันธ์ในช่วงนี้

$$\frac{d}{dt} x(t) = A_2 \cdot x(t) + B_2 \cdot u(t) \quad (3.2.11)$$

สามารถคำนวณหาผลเฉลยของสมการ (3.2.11) ได้เป็นสมการ (3.2.12) โดยอาศัยสมการ (3.2.9)

$$x(t) = e^{A_2(t-t_1)} x_{t_1} + \left[e^{A_2(t-t_1)} - I \right] A_2^{-1} B_2 u_{t_0} \quad (3.2.12)$$

แทนเวกเตอร์สถานะที่เวลา t_1 ลงในสมการ (3.2.12) ได้เป็นสมการ (3.2.13)

$$x(t) = e^{A_2(t-t_1)} \left\{ e^{A_1(t_1-t_0)} x_{t_0} + \left[e^{A_1(t_1-t_0)} - I \right] A_1^{-1} B_1 u_{t_0} \right\} + \left[e^{A_2(t-t_1)} - I \right] A_2^{-1} B_2 u_{t_0}$$

$$x(t) = \begin{cases} e^{A_2(t-t_1)} e^{A_1(t_1-t_0)} x_{t_0} + \\ e^{A_2(t-t_1)} \left[e^{A_1(t_1-t_0)} - I \right] A_1^{-1} B_1 u_{t_0} \\ + \left[e^{A_2(t-t_1)} - I \right] A_2^{-1} B_2 u_{t_0} \end{cases} \quad (3.2.13)$$

คำนวณหาเวกเตอร์สถานะที่เวลา t_2 จากสมการ (3.2.13) โดยแทน $t = t_2$ ได้เป็นสมการ (3.2.14)

$$x_{t_2} = \begin{cases} e^{A_2(t_2-t_1)} e^{A_1(t_1-t_0)} x_{t_0} + \\ e^{A_2(t_2-t_1)} \left[e^{A_1(t_1-t_0)} - I \right] A_1^{-1} B_1 u_{t_0} \\ + \left[e^{A_2(t_2-t_1)} - I \right] A_2^{-1} B_2 u_{t_0} \end{cases} \quad (3.2.14)$$

สถาบันวิทยบริการ
จุฬาลงกรณ์มหาวิทยาลัย

คำนวณหา $x(t)$ ในช่วง $t_2 < t < t_3$ ซึ่งก็คือผลเฉลยของสมการอนุพันธ์ในช่วงนี้

$$\frac{d}{dt} x(t) = A_3 \cdot x(t) + B_3 \cdot u(t) \quad (3.2.14)$$

สามารถคำนวณหาผลเฉลยของสมการ (3.2.14) ได้เป็นสมการ (3.2.15) โดยอาศัยสมการ (3.2.9)

$$x(t) = e^{A_3(t-t_2)} x_{t_2} + \left[e^{A_3(t-t_2)} - I \right] A_3^{-1} B_3 u_{t_0} \quad (3.2.15)$$

แทนเวกเตอร์สถานะที่เวลา t_2 ลงในสมการ (3.2.15) ได้เป็นสมการ (3.2.16)

$$x(t) = e^{A_3(t-t_2)} \left\{ \begin{array}{l} e^{A_2(t_2-t_1)} e^{A_1(t_1-t_0)} x_{t_0} + \\ e^{A_2(t_2-t_1)} \left[e^{A_1(t_1-t_0)} - I \right] A_1^{-1} B_1 u_{t_0} \\ + \left[e^{A_2(t_2-t_1)} - I \right] A_2^{-1} B_2 u_{t_0} \end{array} \right\} + \left[e^{A_3(t-t_2)} - I \right] A_3^{-1} B_3 u_{t_0}$$

$$x(t) = \left\{ \begin{array}{l} e^{A_3(t-t_2)} e^{A_2(t_2-t_1)} e^{A_1(t_1-t_0)} x_{t_0} + \\ e^{A_3(t-t_2)} e^{A_2(t_2-t_1)} \left[e^{A_1(t_1-t_0)} - I \right] A_1^{-1} B_1 u_{t_0} \\ + e^{A_3(t-t_2)} \left[e^{A_2(t_2-t_1)} - I \right] A_2^{-1} B_2 u_{t_0} \\ + \left[e^{A_3(t-t_2)} - I \right] A_3^{-1} B_3 u_{t_0} \end{array} \right. \quad (3.2.16)$$

คำนวณหาเวกเตอร์สถานะที่เวลา t_3 จากสมการ (3.2.16) โดยแทน $t = t_3$ ได้เป็นสมการ (3.2.17)

$$x_{t_3} = \left\{ \begin{array}{l} e^{A_3(t_3-t_2)} e^{A_2(t_2-t_1)} e^{A_1(t_1-t_0)} x_{t_0} + \\ e^{A_3(t_3-t_2)} e^{A_2(t_2-t_1)} \left[e^{A_1(t_1-t_0)} - I \right] A_1^{-1} B_1 u_{t_0} \\ + e^{A_3(t_3-t_2)} \left[e^{A_2(t_2-t_1)} - I \right] A_2^{-1} B_2 u_{t_0} \\ + \left[e^{A_3(t_3-t_2)} - I \right] A_3^{-1} B_3 u_{t_0} \end{array} \right. \quad (3.2.17)$$

คำนวณหา $x(t)$ ในช่วง $t_3 < t < t_4$ ซึ่งก็คือผลเฉลยของสมการอนุพันธ์ในช่วงนี้

$$\frac{d}{dt} x(t) = A_4 \cdot x(t) + B_4 \cdot u(t) \quad (3.2.18)$$

สามารถคำนวณหาผลเฉลยของสมการ (3.2.18) ได้เป็นสมการ (3.2.19) โดยอาศัยสมการ (3.2.9)

$$x(t) = e^{A_4(t-t_3)} x_{t_3} + [e^{A_4(t-t_3)} - I] A_4^{-1} B_4 u_{t_0} \quad (3.2.19)$$

แทนเวกเตอร์สถานะที่เวลา t_3 ลงในสมการ (3.2.19) ได้เป็นสมการ (3.2.20)

$$x(t) = e^{A_4(t-t_3)} \left\{ \begin{aligned} & e^{A_3(t_3-t_2)} e^{A_2(t_2-t_1)} e^{A_1(t_1-t_0)} x_{t_0} + \\ & e^{A_3(t_3-t_2)} e^{A_2(t_2-t_1)} [e^{A_1(t_1-t_0)} - I] A_1^{-1} B_1 u_{t_0} \\ & + e^{A_3(t_3-t_2)} [e^{A_2(t_2-t_1)} - I] A_2^{-1} B_2 u_{t_0} \\ & + [e^{A_3(t_3-t_2)} - I] A_3^{-1} B_3 u_{t_0} \end{aligned} \right\} + [e^{A_4(t-t_3)} - I] A_4^{-1} B_4 u_{t_0}$$

$$x(t) = \left\{ \begin{aligned} & e^{A_4(t-t_3)} e^{A_3(t_3-t_2)} e^{A_2(t_2-t_1)} e^{A_1(t_1-t_0)} x_{t_0} + \\ & e^{A_4(t-t_3)} e^{A_3(t_3-t_2)} e^{A_2(t_2-t_1)} [e^{A_1(t_1-t_0)} - I] A_1^{-1} B_1 u_{t_0} \\ & + e^{A_4(t-t_3)} e^{A_3(t_3-t_2)} [e^{A_2(t_2-t_1)} - I] A_2^{-1} B_2 u_{t_0} \\ & + e^{A_4(t-t_3)} [e^{A_3(t_3-t_2)} - I] A_3^{-1} B_3 u_{t_0} \\ & + [e^{A_4(t-t_3)} - I] A_4^{-1} B_4 u_{t_0} \end{aligned} \right. \quad (3.2.20)$$

คำนวณหาเวกเตอร์สถานะที่เวลา t_4 จากสมการ (3.2.20) โดยแทน $t = t_4$ ได้เป็นสมการ (3.2.21)

$$x_{t_4} = \left\{ \begin{aligned} & e^{A_4(t_4-t_3)} e^{A_3(t_3-t_2)} e^{A_2(t_2-t_1)} e^{A_1(t_1-t_0)} x_{t_0} + \\ & e^{A_4(t_4-t_3)} e^{A_3(t_3-t_2)} e^{A_2(t_2-t_1)} [e^{A_1(t_1-t_0)} - I] A_1^{-1} B_1 u_{t_0} \\ & + e^{A_4(t_4-t_3)} e^{A_3(t_3-t_2)} [e^{A_2(t_2-t_1)} - I] A_2^{-1} B_2 u_{t_0} \\ & + e^{A_4(t_4-t_3)} [e^{A_3(t_3-t_2)} - I] A_3^{-1} B_3 u_{t_0} \\ & + [e^{A_4(t_4-t_3)} - I] A_4^{-1} B_4 u_{t_0} \end{aligned} \right. \quad (3.2.21)$$

พิจารณาสมการ (3.2.21) เป็นแบบจำลองสัญญาณขนาดใหญ่ของสมการผลต่างสืบเนื่องที่ใช้ได้เฉพาะความถี่ต่ำ (น้อยกว่า $F_s/2$) ซึ่งเป็นแบบจำลองไม่ต่อเนื่องและไม่เชิงเส้นเพราะสัมประสิทธิ์ของพจน์ x_{t_0} และ u_{t_0} มีตัวแปรตำแหน่งเวลา t_1, t_2, t_3 และ t_4 ประกอบอยู่ด้วย ดังนั้นเราจะทำให้เป็นเชิงเส้นในบทยกเลิกไป โดยสมการ (3.2.21) สามารถคำนวณค่าแอมพลิจูดสถานะที่จุดสิ้นสุดของคาบ x_{t_4} ที่คาบ $n=0$ หรือที่คาบ n ใดๆ ขึ้นกับค่าตัวแปรต่างๆ ในสมการ (3.2.21) ว่าเป็นค่าตัวแปรของคาบ n ใด

เราสามารถคำนวณหาสมการด้านนอกหรือสมการ (3.1.20) (ข)

$$y(t) = C_x \cdot x(t) + D_U \cdot u(t) \quad ; t_0 < t < t_4 \quad (3.2.22)$$

ให้เป็นแบบจำลองไม่ต่อเนื่องโดยแทน $t = nT_s$ ลงในสมการ (3.2.22) เป็นสมการ (3.2.23)

$$y(nT_s) = C_x \cdot x(nT_s) + D_U \cdot u(nT_s) \quad ; t_0 + nT_s < t < t_4 + nT_s \quad (3.2.23)$$

ซึ่งเมื่อพิจารณาสมการ (3.2.23) จะเห็นได้ว่าเป็นสมการเชิงเส้น ดังนั้นการทำให้เป็นเชิงเส้นในบทยกเลิกไป เราจะสนใจเฉพาะสมการผลต่างสืบเนื่องหรือสมการ (3.2.21) เพราะสมการด้านนอกเป็นสมการเชิงเส้นอยู่แล้ว

บทที่ 4

แบบจำลองสัญญาณขนาดเล็ก

ในบทนี้จะกล่าวถึงการหาแบบจำลองสัญญาณขนาดเล็กของฟังก์ชัน โอนย้ายต่างๆ ของวงจร โดยเริ่มจากการคำนวณหาแบบจำลองสัญญาณขนาดเล็กของสมการผลต่างสี่บ่งซึ่งแบบจำลองดังกล่าวจะขึ้นอยู่กับตัวแปรเรียงความของตัวแปรตำแหน่งเวลา จึงต้องหาฟังก์ชันของตัวแปรเรียงความของตัวแปรตำแหน่งเวลาที่อยู่ในรูปของตัวแปรสถานะกับตัวแปรค่านเข้า โดยหาจากผลเฉลยของสมการอนุพันธ์ในช่วงเวลานั้นๆ จากนั้นจะได้แบบจำลองสัญญาณขนาดเล็กไม่ต่อเนื่องของสมการปริภูมิสถานะ และแปลงแบบจำลองไม่ต่อเนื่องให้เป็นแบบจำลองต่อเนื่องด้วยความสัมพันธ์ผกผันของตัวคงค่าอันดับศูนย์และคำนวณหาแบบจำลองสัญญาณขนาดเล็กของฟังก์ชัน โอนย้ายต่างๆ ของวงจรจากสมการปริภูมิสถานะซึ่งเป็นแบบจำลองเชิงเส้นและไม่แปรผันตามเวลา

4.1 คำนวณหาสมการสัญญาณขนาดเล็กของสมการผลต่างสี่บ่ง

จากสมการผลต่างสี่บ่งในหัวข้อ 3.2 เขียนเป็นสมการ (4.1)

$$x_{t_4} = \begin{cases} \Phi_4 \Phi_3 \Phi_2 \Phi_1 x_{t_0} + \Phi_4 \Phi_3 \Phi_2 [\Phi_1 - I] A_1^{-1} B_1 u_{t_0} + \\ \Phi_4 \Phi_3 [\Phi_2 - I] A_2^{-1} B_2 u_{t_0} + \Phi_4 [\Phi_3 - I] A_3^{-1} B_3 u_{t_0} + [\Phi_4 - I] A_4^{-1} B_4 u_{t_0} \end{cases} \quad (4.1)$$

$$\text{ซึ่ง } \Phi_i = e^{A_i(t_i - t_{i-1})}$$

และใช้อนุกรมเทย์เลอร์กับการประมาณว่าสัญญาณมีขนาดเล็กตามสมการ (2.2) เราจะได้สมการสัญญาณขนาดเล็กของสมการ (4.1) เป็นสมการ (4.2)

$$\hat{x}_{t_4} = A_{4X} \cdot \hat{x}_{t_0} + B_{4U} \cdot \hat{u}_{t_0} + E_{41} \cdot \hat{t}_1 + E_{42} \cdot \hat{t}_2 + E_{43} \cdot \hat{t}_3 + E_{44} \cdot \hat{t}_4 \quad (4.2)$$

คำนวณหาสัมประสิทธิ์ของพจน์ \hat{x}_{t_0} ในสมการ (4.2) ได้เป็น

$$A_{4X} = \frac{\partial x_{t_4}}{\partial x_{t_0}} = \Phi_4 \Phi_3 \Phi_2 \Phi_1$$

คำนวณหาสัมประสิทธิ์ของพจน์ \hat{u}_{t_0} ในสมการ (4.2) ได้เป็น

$$B_{4U} = \frac{\partial x_{t_4}}{\partial u_{t_0}} = \begin{cases} \Phi_4 \Phi_3 \Phi_2 [\Phi_1 - I] A_1^{-1} B_1 + \Phi_4 \Phi_3 [\Phi_2 - I] A_2^{-1} B_2 \\ + \Phi_4 [\Phi_3 - I] A_3^{-1} B_3 + [\Phi_4 - I] A_4^{-1} B_4 \end{cases}$$

คำนวณหาสัมประสิทธิ์ของพจน์ \hat{t}_1 ในสมการ (4.2) ได้เป็น $E_{41} = \frac{\partial x_{t_4}}{\partial t_1}$

$$\begin{aligned}
&= \frac{\partial}{\partial t_1} \left\{ \begin{aligned} &e^{A_4(t_4-t_3)} e^{A_3(t_3-t_2)} e^{A_2(t_2-t_1)} e^{A_1(t_1-t_0)} x_{t_0} + \\ &e^{A_4(t_4-t_3)} e^{A_3(t_3-t_2)} e^{A_2(t_2-t_1)} \left[e^{A_1(t_1-t_0)} - I \right] A_1^{-1} B_1 u_{t_0} \\ &+ e^{A_4(t_4-t_3)} e^{A_3(t_3-t_2)} \left[e^{A_2(t_2-t_1)} - I \right] A_2^{-1} B_2 u_{t_0} \\ &+ e^{A_4(t_4-t_3)} \left[e^{A_3(t_3-t_2)} - I \right] A_3^{-1} B_3 u_{t_0} \\ &+ \left[e^{A_4(t_4-t_3)} - I \right] A_4^{-1} B_4 u_{t_0} \end{aligned} \right. \\
&= \Phi_4 \Phi_3 \frac{\partial}{\partial t_1} \left\{ \begin{aligned} &e^{A_2(t_2-t_1)} e^{A_1(t_1-t_0)} x_{t_0} + \\ &e^{A_2(t_2-t_1)} \left[e^{A_1(t_1-t_0)} - I \right] A_1^{-1} B_1 u_{t_0} \\ &+ \left[e^{A_2(t_2-t_1)} \right] A_2^{-1} B_2 u_{t_0} \end{aligned} \right. \\
&= \Phi_4 \Phi_3 \frac{\partial}{\partial t_1} \left\{ \begin{aligned} &e^{A_2(t_2-t_1)} e^{A_1(t_1-t_0)} \left[x_{t_0} + A_1^{-1} B_1 u_{t_0} \right] \\ &+ e^{A_2(t_2-t_1)} \left[-A_1^{-1} B_1 u_{t_0} + A_2^{-1} B_2 u_{t_0} \right] \end{aligned} \right. \\
&= \Phi_4 \Phi_3 \left\{ \begin{aligned} &\left[e^{A_2(t_2-t_1)} e^{A_1(t_1-t_0)} A_1 + e^{A_2(t_2-t_1)} (-A_2) e^{A_1(t_1-t_0)} \right] \left[x_{t_0} + A_1^{-1} B_1 u_{t_0} \right] \\ &+ e^{A_2(t_2-t_1)} (-A_2) \left[-A_1^{-1} B_1 u_{t_0} + A_2^{-1} B_2 u_{t_0} \right] \end{aligned} \right. \\
&= \Phi_4 \Phi_3 \Phi_2 \left\{ \begin{aligned} &\left[e^{A_1(t_1-t_0)} A_1 - A_2 e^{A_1(t_1-t_0)} \right] \left[x_{t_0} + A_1^{-1} B_1 u_{t_0} \right] \\ &+ A_2 \left[A_1^{-1} B_1 u_{t_0} - A_2^{-1} B_2 u_{t_0} \right] \end{aligned} \right.
\end{aligned}$$

คำนวณหาสัมประสิทธิ์ของพจน์ \hat{t}_2 ในสมการ (4.2) ได้เป็น $E_{42} = \frac{\partial x_{t_4}}{\partial t_2}$

$$\begin{aligned}
&= \frac{\partial}{\partial t_2} \left\{ \begin{aligned} &e^{A_4(t_4-t_3)} e^{A_3(t_3-t_2)} e^{A_2(t_2-t_1)} e^{A_1(t_1-t_0)} x_{t_0} + \\ &e^{A_4(t_4-t_3)} e^{A_3(t_3-t_2)} e^{A_2(t_2-t_1)} \left[e^{A_1(t_1-t_0)} - I \right] A_1^{-1} B_1 u_{t_0} \\ &+ e^{A_4(t_4-t_3)} e^{A_3(t_3-t_2)} \left[e^{A_2(t_2-t_1)} - I \right] A_2^{-1} B_2 u_{t_0} \\ &+ e^{A_4(t_4-t_3)} \left[e^{A_3(t_3-t_2)} - I \right] A_3^{-1} B_3 u_{t_0} \\ &+ \left[e^{A_4(t_4-t_3)} - I \right] A_4^{-1} B_4 u_{t_0} \end{aligned} \right. \\
&= \Phi_4 \frac{\partial}{\partial t_2} \left\{ \begin{aligned} &e^{A_3(t_3-t_2)} e^{A_2(t_2-t_1)} e^{A_1(t_1-t_0)} x_{t_0} + \\ &e^{A_3(t_3-t_2)} e^{A_2(t_2-t_1)} \left[e^{A_1(t_1-t_0)} - I \right] A_1^{-1} B_1 u_{t_0} \\ &+ e^{A_3(t_3-t_2)} \left[e^{A_2(t_2-t_1)} - I \right] A_2^{-1} B_2 u_{t_0} \\ &+ \left[e^{A_3(t_3-t_2)} \right] A_3^{-1} B_3 u_{t_0} \end{aligned} \right. \\
&= \Phi_4 \frac{\partial}{\partial t_2} \left\{ \begin{aligned} &e^{A_3(t_3-t_2)} e^{A_2(t_2-t_1)} e^{A_1(t_1-t_0)} \left[x_{t_0} + A_1^{-1} B_1 u_{t_0} \right] \\ &+ e^{A_3(t_3-t_2)} e^{A_2(t_2-t_1)} \left[-A_1^{-1} B_1 u_{t_0} + A_2^{-1} B_2 u_{t_0} \right] \\ &+ e^{A_3(t_3-t_2)} \left[-A_2^{-1} B_2 u_{t_0} + A_3^{-1} B_3 u_{t_0} \right] \end{aligned} \right. \\
&= \Phi_4 \frac{\partial}{\partial t_2} \left\{ \begin{aligned} &e^{A_3(t_3-t_2)} e^{A_2(t_2-t_1)} \cdot \\ &\left\{ e^{A_1(t_1-t_0)} \left[x_{t_0} + A_1^{-1} B_1 u_{t_0} \right] - A_1^{-1} B_1 u_{t_0} + A_2^{-1} B_2 u_{t_0} \right\} \\ &+ e^{A_3(t_3-t_2)} \left[-A_2^{-1} B_2 u_{t_0} + A_3^{-1} B_3 u_{t_0} \right] \end{aligned} \right. \\
&= \Phi_4 \left\{ \begin{aligned} &\left[e^{A_3(t_3-t_2)} e^{A_2(t_2-t_1)} A_2 + e^{A_3(t_3-t_2)} (-A_3) e^{A_2(t_2-t_1)} \right] \cdot \\ &\left\{ e^{A_1(t_1-t_0)} \left[x_{t_0} + A_1^{-1} B_1 u_{t_0} \right] - A_1^{-1} B_1 u_{t_0} + A_2^{-1} B_2 u_{t_0} \right\} \\ &+ e^{A_3(t_3-t_2)} (-A_3) \left[-A_2^{-1} B_2 u_{t_0} + A_3^{-1} B_3 u_{t_0} \right] \end{aligned} \right. \\
&= \Phi_4 \Phi_3 \left\{ \begin{aligned} &\left[e^{A_2(t_2-t_1)} A_2 - A_3 e^{A_2(t_2-t_1)} \right] \cdot \\ &\left\{ e^{A_1(t_1-t_0)} \left[x_{t_0} + A_1^{-1} B_1 u_{t_0} \right] - A_1^{-1} B_1 u_{t_0} + A_2^{-1} B_2 u_{t_0} \right\} \\ &+ A_3 \left[A_2^{-1} B_2 u_{t_0} - A_3^{-1} B_3 u_{t_0} \right] \end{aligned} \right.
\end{aligned}$$

คำนวณหาสัมประสิทธิ์ของพจน์ \hat{t}_3 ในสมการ (4.2) ได้เป็น $E_{43} = \frac{\partial x_4}{\partial t_3}$

$$\begin{aligned}
&= \frac{\partial}{\partial t_3} \left\{ \begin{aligned} &e^{A_4(t_4-t_3)} e^{A_3(t_3-t_2)} e^{A_2(t_2-t_1)} e^{A_1(t_1-t_0)} x_{t_0} + \\ &e^{A_4(t_4-t_3)} e^{A_3(t_3-t_2)} e^{A_2(t_2-t_1)} \left[e^{A_1(t_1-t_0)} - I \right] A_1^{-1} B_1 u_{t_0} \\ &+ e^{A_4(t_4-t_3)} e^{A_3(t_3-t_2)} \left[e^{A_2(t_2-t_1)} - I \right] A_2^{-1} B_2 u_{t_0} \\ &+ e^{A_4(t_4-t_3)} \left[e^{A_3(t_3-t_2)} - I \right] A_3^{-1} B_3 u_{t_0} \\ &+ \left[e^{A_4(t_4-t_3)} - I \right] A_4^{-1} B_4 u_{t_0} \end{aligned} \right\} \\
&= \frac{\partial}{\partial t_3} \left\{ \begin{aligned} &e^{A_4(t_4-t_3)} e^{A_3(t_3-t_2)} e^{A_2(t_2-t_1)} e^{A_1(t_1-t_0)} x_{t_0} + \\ &e^{A_4(t_4-t_3)} e^{A_3(t_3-t_2)} e^{A_2(t_2-t_1)} \left[e^{A_1(t_1-t_0)} - I \right] A_1^{-1} B_1 u_{t_0} \\ &+ e^{A_4(t_4-t_3)} e^{A_3(t_3-t_2)} \left[e^{A_2(t_2-t_1)} - I \right] A_2^{-1} B_2 u_{t_0} \\ &+ e^{A_4(t_4-t_3)} \left[e^{A_3(t_3-t_2)} - I \right] A_3^{-1} B_3 u_{t_0} \\ &+ \left[e^{A_4(t_4-t_3)} \right] A_4^{-1} B_4 u_{t_0} \end{aligned} \right\} \\
&= \frac{\partial}{\partial t_3} \left\{ \begin{aligned} &\underline{e^{A_4(t_4-t_3)} e^{A_3(t_3-t_2)} e^{A_2(t_2-t_1)} e^{A_1(t_1-t_0)} \left[x_{t_0} + A_1^{-1} B_1 u_{t_0} \right]} \\ &\underline{e^{A_4(t_4-t_3)} e^{A_3(t_3-t_2)} e^{A_2(t_2-t_1)} \left[-A_1^{-1} B_1 u_{t_0} + A_2^{-1} B_2 u_{t_0} \right]} \\ &+ \underline{e^{A_4(t_4-t_3)} e^{A_3(t_3-t_2)} \left[-A_2^{-1} B_2 u_{t_0} + A_3^{-1} B_3 u_{t_0} \right]} \\ &+ e^{A_4(t_4-t_3)} \left[-A_3^{-1} B_3 u_{t_0} + A_4^{-1} B_4 u_{t_0} \right] \end{aligned} \right\} \\
&= \frac{\partial}{\partial t_3} \left\{ \begin{aligned} &e^{A_4(t_4-t_3)} e^{A_3(t_3-t_2)} \left\{ \begin{aligned} &e^{A_2(t_2-t_1)} e^{A_1(t_1-t_0)} \left[x_{t_0} + A_1^{-1} B_1 u_{t_0} \right] \\ &e^{A_2(t_2-t_1)} \left[-A_1^{-1} B_1 u_{t_0} + A_2^{-1} B_2 u_{t_0} \right] \\ &-A_2^{-1} B_2 u_{t_0} + A_3^{-1} B_3 u_{t_0} \end{aligned} \right\} \\ &+ e^{A_4(t_4-t_3)} \left[-A_3^{-1} B_3 u_{t_0} + A_4^{-1} B_4 u_{t_0} \right] \end{aligned} \right\} \\
&= \Phi_4 \left\{ \begin{aligned} &\left[e^{A_3(t_3-t_2)} A_3 - A_4 e^{A_3(t_3-t_2)} \right] \left\{ \begin{aligned} &e^{A_2(t_2-t_1)} e^{A_1(t_1-t_0)} \left[x_{t_0} + A_1^{-1} B_1 u_{t_0} \right] \\ &e^{A_2(t_2-t_1)} \left[A_2^{-1} B_2 u_{t_0} - A_1^{-1} B_1 u_{t_0} \right] \\ &A_3^{-1} B_3 u_{t_0} - A_2^{-1} B_2 u_{t_0} \end{aligned} \right\} \\ &+ A_4 \left[A_3^{-1} B_3 u_{t_0} - A_4^{-1} B_4 u_{t_0} \right] \end{aligned} \right\}
\end{aligned}$$

คำนวณหาสัมประสิทธิ์ของพจน์ \hat{t}_4 ในสมการ (4.2) ได้เป็น $E_{44} = \frac{\partial x_{t_4}}{\partial t_4}$

$$= \frac{\partial}{\partial t_4} \left\{ \begin{array}{l} e^{A_4(t_4-t_3)} e^{A_3(t_3-t_2)} e^{A_2(t_2-t_1)} e^{A_1(t_1-t_0)} x_{t_0} + \\ e^{A_4(t_4-t_3)} e^{A_3(t_3-t_2)} e^{A_2(t_2-t_1)} \left[e^{A_1(t_1-t_0)} - I \right] A_1^{-1} B_1 u_{t_0} \\ + e^{A_4(t_4-t_3)} e^{A_3(t_3-t_2)} \left[e^{A_2(t_2-t_1)} - I \right] A_2^{-1} B_2 u_{t_0} \\ + e^{A_4(t_4-t_3)} \left[e^{A_3(t_3-t_2)} - I \right] A_3^{-1} B_3 u_{t_0} \\ + \left[e^{A_4(t_4-t_3)} - I \right] A_4^{-1} B_4 u_{t_0} \end{array} \right.$$

$$= \frac{\partial}{\partial t_4} \left\{ \begin{array}{l} e^{A_4(t_4-t_3)} e^{A_3(t_3-t_2)} e^{A_2(t_2-t_1)} e^{A_1(t_1-t_0)} x_{t_0} + \\ e^{A_4(t_4-t_3)} e^{A_3(t_3-t_2)} e^{A_2(t_2-t_1)} \left[e^{A_1(t_1-t_0)} - I \right] A_1^{-1} B_1 u_{t_0} \\ + e^{A_4(t_4-t_3)} e^{A_3(t_3-t_2)} \left[e^{A_2(t_2-t_1)} - I \right] A_2^{-1} B_2 u_{t_0} \\ + e^{A_4(t_4-t_3)} \left[e^{A_3(t_3-t_2)} - I \right] A_3^{-1} B_3 u_{t_0} \\ + \left[e^{A_4(t_4-t_3)} \right] A_4^{-1} B_4 u_{t_0} \end{array} \right.$$

$$= \left\{ \begin{array}{l} e^{A_4(t_4-t_3)} A_4 e^{A_3(t_3-t_2)} e^{A_2(t_2-t_1)} e^{A_1(t_1-t_0)} x_{t_0} + \\ e^{A_4(t_4-t_3)} A_4 e^{A_3(t_3-t_2)} e^{A_2(t_2-t_1)} \left[e^{A_1(t_1-t_0)} - I \right] A_1^{-1} B_1 u_{t_0} \\ + e^{A_4(t_4-t_3)} A_4 e^{A_3(t_3-t_2)} \left[e^{A_2(t_2-t_1)} - I \right] A_2^{-1} B_2 u_{t_0} \\ + e^{A_4(t_4-t_3)} A_4 \left[e^{A_3(t_3-t_2)} - I \right] A_3^{-1} B_3 u_{t_0} \\ + e^{A_4(t_4-t_3)} A_4 A_4^{-1} B_4 u_{t_0} \end{array} \right.$$

$$= \Phi_4 A_4 \left\{ \begin{array}{l} e^{A_3(t_3-t_2)} e^{A_2(t_2-t_1)} e^{A_1(t_1-t_0)} \left[x_{t_0} + A_1^{-1} B_1 u_{t_0} \right] \\ e^{A_3(t_3-t_2)} e^{A_2(t_2-t_1)} \left[-A_1^{-1} B_1 u_{t_0} + A_2^{-1} B_2 u_{t_0} \right] \\ + e^{A_3(t_3-t_2)} \left[-A_2^{-1} B_2 u_{t_0} + A_3^{-1} B_3 u_{t_0} \right] \\ -A_3^{-1} B_3 u_{t_0} + A_4^{-1} B_4 u_{t_0} \end{array} \right.$$

4.2 คำนวณหาตัวแปรรั้งความของตัวแปรตำแหน่งเวลา

เมื่อพิจารณาสมการ (4.2) จะเห็นได้ว่ามีพจน์ตัวแปรรั้งความของตัวแปรตำแหน่งเวลา (t_1 และ t_2) ประกอบอยู่ด้วย ซึ่งตัวแปรเหล่านี้เป็นตัวแปรไม่อิสระ ดังนั้นเราจึงจำเป็นต้องคำนวณหาฟังก์ชันของตัวแปรเหล่านี้ที่ขึ้นอยู่กับตัวแปรรั้งความของตัวแปรสถานะที่เวลาเริ่มคาบ $x(t_0)$ และตัวแปรด้านเข้าที่เวลาเริ่มคาบซึ่งได้แก่ $v_s(t_0)$ $v_{DC}(t_0)$ $i_c(t_0)$ และ $f_s(t_0)$ โดยหาได้จากอนุพันธ์อันดับหนึ่งของผลเฉลยของสมการสถานะในแต่ละช่วงเวลา รวมทั้งลักษณะเฉพาะของรูปคลื่นกระแสและแรงดันของวงจร

4.2.1 คำนวณหาตัวแปรรั้งความของ t_1 ในรูปของ $x(t_0)$ กับ $u(t_0)$

$$x_{t_1} = e^{A_1(t_1-t_0)} x_{t_0} + [e^{A_1(t_1-t_0)} - I] A_1^{-1} B_1 u_{t_0} \quad (4.3)$$

ประยุกต์ใช้อนุกรมเทย์เลอร์กับสมการ (4.3) ได้เป็นสมการ (4.4)

$$\hat{x}_{t_1} = A_{1X} \cdot \hat{x}_{t_0} + B_{1U} \cdot \hat{u}_{t_0} + E_{11} \cdot \hat{t}_1 \quad (4.4)$$

คำนวณหาสัมประสิทธิ์ของพจน์ \hat{x}_{t_0} ในสมการ (4.4) ได้เป็น

$$A_{1X} = \frac{\partial x_{t_1}}{\partial x_{t_0}} = e^{A_1(t_1-t_0)}$$

คำนวณหาสัมประสิทธิ์ของพจน์ \hat{u}_{t_0} ในสมการ (4.4) ได้เป็น

$$B_{1U} = \frac{\partial x_{t_1}}{\partial u_{t_0}} = [e^{A_1(t_1-t_0)} - I] A_1^{-1} B_1$$

คำนวณหาสัมประสิทธิ์ของพจน์ \hat{t}_1 ในสมการ (4.4) ได้เป็น $E_{11} = \frac{\partial x_{t_1}}{\partial t_1}$

$$= \frac{\partial}{\partial t_1} \left\{ e^{A_1(t_1-t_0)} x_{t_0} + [e^{A_1(t_1-t_0)} - I] A_1^{-1} B_1 u_{t_0} \right\}$$

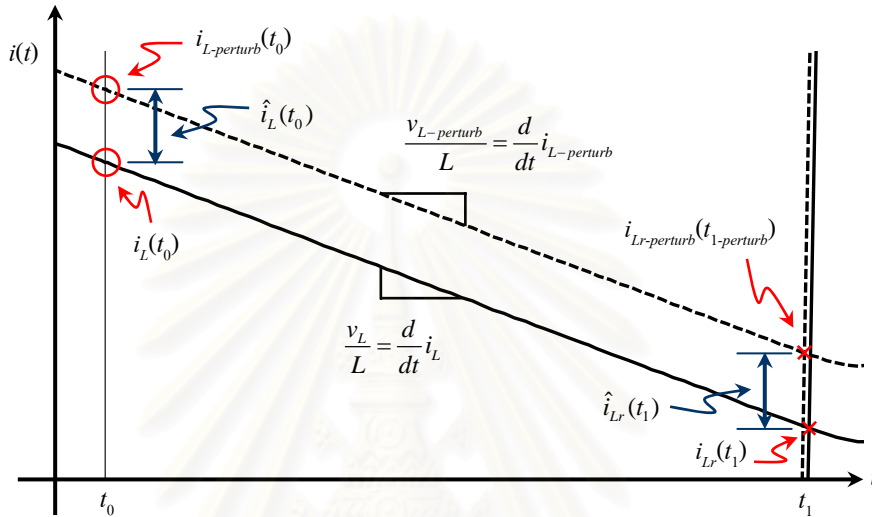
$$= \frac{\partial}{\partial t_1} \left\{ e^{A_1(t_1-t_0)} x_{t_0} + [e^{A_1(t_1-t_0)}] A_1^{-1} B_1 u_{t_0} \right\}$$

$$= e^{A_1(t_1-t_0)} A_1 [x_{t_0} + A_1^{-1} B_1 u_{t_0}]$$

พิจารณาแถวที่ 4 ของสมการ (4.4) เขียนเป็นสมการ (4.5)

$$\hat{i}_{Lr-t_1} = A_{1X}(4,:) \cdot \hat{x}_{t_0} + B_{1U}(4,:) \cdot \hat{u}_{t_0} + e_{11}(4,1) \cdot \hat{t}_1 \tag{4.5}$$

จากสมการ (4.5) เราจะกำจัด \hat{i}_{Lr-t_1} โดยรวมเข้ากับพจน์ \hat{x}_{t_0} ซึ่งพิจารณาเงื่อนไขของกระแส i_L และ $i_{L-perturb}$ ในช่วงเวลา $t_0 < t < t_1$ ดังแสดงในรูป 4.1



รูปที่ 4.1 กระแส i_L และ $i_{L-perturb}$ ในช่วง $t_0 < t < t_1$

เมื่อพิจารณาจากรูปคลื่นที่เวลา t_1 ในรูป 4.1 จะได้ว่า

$$i_{Lr}(t_1) = i_L(t_1) \Rightarrow \hat{i}_{Lr}(t_1) = \hat{i}_L(t_1)$$

$$\hat{i}_L(t_1) \approx \hat{i}_L(t_0) \Rightarrow \hat{i}_{Lr}(t_1) \approx \hat{i}_L(t_0)$$

ดังนั้น

$$\hat{i}_{L-t_0} = A_{1X}(4,:) \cdot \hat{x}_{t_0} + B_{1U}(4,:) \cdot \hat{u}_{t_0} + e_{11}(4,1) \cdot \hat{t}_1$$

คำนวณหา \hat{t}_1 ได้เป็นสมการ (4.6)

$$\hat{t}_1 = E_{1X} \cdot \hat{x}_{t_0} + E_{1U} \cdot \hat{u}_{t_0} \tag{4.6}$$

ซึ่ง $E_{1X} = \frac{A_{1X}(4,:) - I(5,:)}{-e_{11}(4,1)}$, $E_{1U} = \frac{B_{1U}(4,:)}{-e_{11}(4,1)}$ และ $I(5,:) = [0 \ 0 \ 0 \ 0 \ 1]$

4.2.2 คำนวณหาตัวแปรบังคับของ t_3 ในรูปของ $x(t_0)$ กับ $u(t_0)$

$$x_{t_3} = \begin{cases} e^{A_3(t_3-t_2)} e^{A_2(t_2-t_1)} e^{A_1(t_1-t_0)} x_{t_0} + \\ e^{A_3(t_3-t_2)} e^{A_2(t_2-t_1)} [e^{A_1(t_1-t_0)} - I] A_1^{-1} B_1 u_{t_0} \\ + e^{A_3(t_3-t_2)} [e^{A_2(t_2-t_1)} - I] A_2^{-1} B_2 u_{t_0} \\ + [e^{A_3(t_3-t_2)} - I] A_3^{-1} B_3 u_{t_0} \end{cases} \quad (4.7)$$

ประยุกต์ใช้อนุกรมเทย์เลอร์กับสมการ (4.7) ได้เป็นสมการ (4.8)

$$\hat{x}_{t_3} = A_{3X} \cdot \hat{x}_{t_0} + B_{3U} \cdot \hat{u}_{t_0} + E_{31} \cdot \hat{t}_1 + E_{32} \cdot \hat{t}_2 + E_{33} \cdot \hat{t}_3 \quad (4.8)$$

คำนวณหาสัมประสิทธิ์ของพจน์ \hat{x}_{t_0} ในสมการ (4.8) ได้เป็น

$$A_{3X} = \frac{\partial x_{t_3}}{\partial x_{t_0}} = e^{A_3(t_3-t_2)} e^{A_2(t_2-t_1)} e^{A_1(t_1-t_0)}$$

คำนวณหาสัมประสิทธิ์ของพจน์ \hat{u}_{t_0} ในสมการ (4.8) ได้เป็น

$$B_{3U} = \frac{\partial x_{t_3}}{\partial u_{t_0}} = \begin{cases} e^{A_3(t_3-t_2)} e^{A_2(t_2-t_1)} [e^{A_1(t_1-t_0)} - I] A_1^{-1} B_1 \\ + e^{A_3(t_3-t_2)} [e^{A_2(t_2-t_1)} - I] A_2^{-1} B_2 \\ + [e^{A_3(t_3-t_2)} - I] A_3^{-1} B_3 \end{cases}$$

สถาบันวิทยบริการ
จุฬาลงกรณ์มหาวิทยาลัย

คำนวณหาสัมประสิทธิ์ของพจน์ \hat{t}_1 ในสมการ (4.8) ได้เป็น $E_{31} = \frac{\partial x_{t_3}}{\partial t_1}$

$$\begin{aligned}
 &= \frac{\partial}{\partial t_1} \left\{ \begin{aligned} &e^{A_3(t_3-t_2)} e^{A_2(t_2-t_1)} e^{A_1(t_1-t_0)} x_{t_0} + \\ &e^{A_3(t_3-t_2)} e^{A_2(t_2-t_1)} \left[e^{A_1(t_1-t_0)} - I \right] A_1^{-1} B_1 u_{t_0} \\ &+ e^{A_3(t_3-t_2)} \left[e^{A_2(t_2-t_1)} - I \right] A_2^{-1} B_2 u_{t_0} \\ &+ \left[e^{A_3(t_3-t_2)} - I \right] A_3^{-1} B_3 u_{t_0} \end{aligned} \right. \\
 &= \frac{\partial}{\partial t_1} \left\{ \begin{aligned} &e^{A_3(t_3-t_2)} e^{A_2(t_2-t_1)} e^{A_1(t_1-t_0)} x_{t_0} + \\ &e^{A_3(t_3-t_2)} e^{A_2(t_2-t_1)} \left[e^{A_1(t_1-t_0)} - I \right] A_1^{-1} B_1 u_{t_0} \\ &+ e^{A_3(t_3-t_2)} \left[e^{A_2(t_2-t_1)} \right] A_2^{-1} B_2 u_{t_0} \end{aligned} \right. \\
 &= \Phi_3 \frac{\partial}{\partial t_1} \left\{ \begin{aligned} &e^{A_2(t_2-t_1)} e^{A_1(t_1-t_0)} \left[x_{t_0} + A_1^{-1} B_1 u_{t_0} \right] \\ &+ e^{A_2(t_2-t_1)} \left[-A_1^{-1} B_1 u_{t_0} + A_2^{-1} B_2 u_{t_0} \right] \end{aligned} \right. \\
 &= \Phi_3 \left\{ \begin{aligned} &\left[e^{A_2(t_2-t_1)} e^{A_1(t_1-t_0)} A_1 + e^{A_2(t_2-t_1)} (-A_2) e^{A_1(t_1-t_0)} \right] \left[x_{t_0} + A_1^{-1} B_1 u_{t_0} \right] \\ &+ e^{A_2(t_2-t_1)} (-A_2) \left[-A_1^{-1} B_1 u_{t_0} + A_2^{-1} B_2 u_{t_0} \right] \end{aligned} \right. \\
 &= \Phi_3 \Phi_2 \left\{ \begin{aligned} &\left[e^{A_1(t_1-t_0)} A_1 - A_2 e^{A_1(t_1-t_0)} \right] \left[x_{t_0} + A_1^{-1} B_1 u_{t_0} \right] \\ &+ A_2 \left[A_1^{-1} B_1 u_{t_0} - A_2^{-1} B_2 u_{t_0} \right] \end{aligned} \right.
 \end{aligned}$$

สถาบันวิทยบริการ
จุฬาลงกรณ์มหาวิทยาลัย

คำนวณหาสัมประสิทธิ์ของพจน์ \hat{t}_2 ในสมการ (4.8) ได้เป็น $E_{32} = \frac{\partial x_3}{\partial t_2}$

$$\begin{aligned}
&= \frac{\partial}{\partial t_2} \left\{ \begin{aligned} &e^{A_3(t_3-t_2)} e^{A_2(t_2-t_1)} e^{A_1(t_1-t_0)} x_{t_0} + \\ &e^{A_3(t_3-t_2)} e^{A_2(t_2-t_1)} \left[e^{A_1(t_1-t_0)} - I \right] A_1^{-1} B_1 u_{t_0} \\ &+ e^{A_3(t_3-t_2)} \left[e^{A_2(t_2-t_1)} - I \right] A_2^{-1} B_2 u_{t_0} \\ &+ \left[e^{A_3(t_3-t_2)} - I \right] A_3^{-1} B_3 u_{t_0} \end{aligned} \right\} \\
&= \frac{\partial}{\partial t_2} \left\{ \begin{aligned} &e^{A_3(t_3-t_2)} e^{A_2(t_2-t_1)} e^{A_1(t_1-t_0)} x_{t_0} + \\ &e^{A_3(t_3-t_2)} e^{A_2(t_2-t_1)} \left[e^{A_1(t_1-t_0)} - I \right] A_1^{-1} B_1 u_{t_0} \\ &+ e^{A_3(t_3-t_2)} \left[e^{A_2(t_2-t_1)} - I \right] A_2^{-1} B_2 u_{t_0} \\ &+ \left[e^{A_3(t_3-t_2)} \right] A_3^{-1} B_3 u_{t_0} \end{aligned} \right\} \\
&= \frac{\partial}{\partial t_2} \left\{ \begin{aligned} &\underbrace{e^{A_3(t_3-t_2)} e^{A_2(t_2-t_1)} e^{A_1(t_1-t_0)}}_{\dots\dots\dots} \left[x_{t_0} + A_1^{-1} B_1 u_{t_0} \right] + \\ &\underbrace{e^{A_3(t_3-t_2)} e^{A_2(t_2-t_1)}}_{\dots\dots\dots} \left[-A_1^{-1} B_1 u_{t_0} + A_2^{-1} B_2 u_{t_0} \right] \\ &+ e^{A_3(t_3-t_2)} \left[-A_2^{-1} B_2 u_{t_0} + A_3^{-1} B_3 u_{t_0} \right] \end{aligned} \right\} \\
&= \frac{\partial}{\partial t_2} \left\{ \begin{aligned} &e^{A_3(t_3-t_2)} e^{A_2(t_2-t_1)} \left\{ e^{A_1(t_1-t_0)} \left[x_{t_0} + A_1^{-1} B_1 u_{t_0} \right] - A_1^{-1} B_1 u_{t_0} + A_2^{-1} B_2 u_{t_0} \right\} \\ &+ e^{A_3(t_3-t_2)} \left[-A_2^{-1} B_2 u_{t_0} + A_3^{-1} B_3 u_{t_0} \right] \end{aligned} \right\} \\
&= \left\{ \begin{aligned} &\left[\underbrace{e^{A_3(t_3-t_2)} e^{A_2(t_2-t_1)}}_{\dots\dots\dots} A_2 + \underbrace{e^{A_3(t_3-t_2)} (-A_3)}_{\dots\dots\dots} e^{A_2(t_2-t_1)} \right] \cdot \\ &\left\{ e^{A_1(t_1-t_0)} \left[x_{t_0} + A_1^{-1} B_1 u_{t_0} \right] - A_1^{-1} B_1 u_{t_0} + A_2^{-1} B_2 u_{t_0} \right\} \\ &+ \underbrace{e^{A_3(t_3-t_2)} (-A_3)}_{\dots\dots\dots} \left[-A_2^{-1} B_2 u_{t_0} + A_3^{-1} B_3 u_{t_0} \right] \end{aligned} \right\} \\
&= \Phi_3 \left\{ \begin{aligned} &\left[e^{A_2(t_2-t_1)} A_2 - A_3 e^{A_2(t_2-t_1)} \right] \cdot \\ &\left\{ e^{A_1(t_1-t_0)} \left[x_{t_0} + A_1^{-1} B_1 u_{t_0} \right] - A_1^{-1} B_1 u_{t_0} + A_2^{-1} B_2 u_{t_0} \right\} \\ &+ A_3 \left[A_2^{-1} B_2 u_{t_0} - A_3^{-1} B_3 u_{t_0} \right] \end{aligned} \right\}
\end{aligned}$$

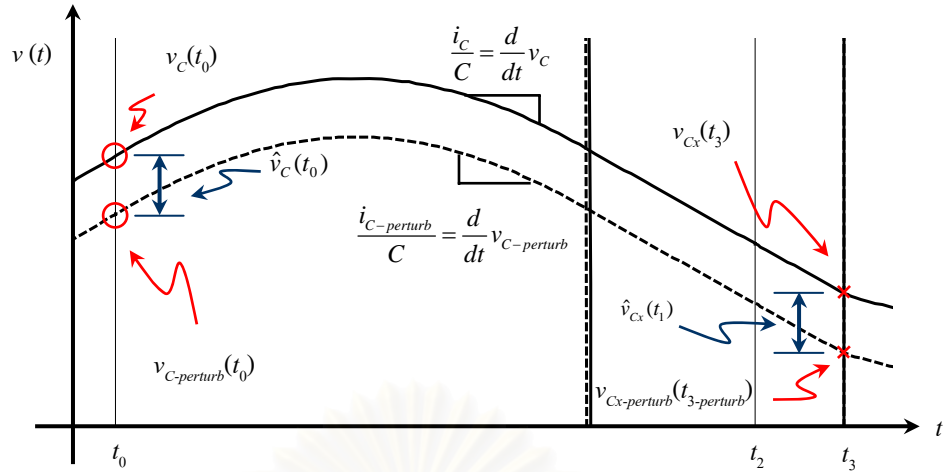
คำนวณหาสัมประสิทธิ์ของพจน์ \hat{t}_3 ในสมการ (4.8) ได้เป็น $E_{33} = \frac{\partial x_{t_3}}{\partial t_3}$

$$\begin{aligned}
 &= \frac{\partial}{\partial t_3} \left\{ \begin{aligned} &e^{A_3(t_3-t_2)} e^{A_2(t_2-t_1)} e^{A_1(t_1-t_0)} x_{t_0} + \\ &e^{A_3(t_3-t_2)} e^{A_2(t_2-t_1)} \left[e^{A_1(t_1-t_0)} - I \right] A_1^{-1} B_1 u_{t_0} \\ &+ e^{A_3(t_3-t_2)} \left[e^{A_2(t_2-t_1)} - I \right] A_2^{-1} B_2 u_{t_0} \\ &+ \left[e^{A_3(t_3-t_2)} - I \right] A_3^{-1} B_3 u_{t_0} \end{aligned} \right. \\
 &= \frac{\partial}{\partial t_3} \left\{ \begin{aligned} &e^{A_3(t_3-t_2)} e^{A_2(t_2-t_1)} e^{A_1(t_1-t_0)} x_{t_0} + \\ &e^{A_3(t_3-t_2)} e^{A_2(t_2-t_1)} \left[e^{A_1(t_1-t_0)} - I \right] A_1^{-1} B_1 u_{t_0} \\ &+ e^{A_3(t_3-t_2)} \left[e^{A_2(t_2-t_1)} - I \right] A_2^{-1} B_2 u_{t_0} \\ &+ \left[e^{A_3(t_3-t_2)} \right] A_3^{-1} B_3 u_{t_0} \end{aligned} \right. \\
 &= \Phi_3 A_3 \left\{ \begin{aligned} &e^{A_2(t_2-t_1)} e^{A_1(t_1-t_0)} x_{t_0} + \\ &e^{A_2(t_2-t_1)} \left[e^{A_1(t_1-t_0)} - I \right] A_1^{-1} B_1 u_{t_0} \\ &+ \left[e^{A_2(t_2-t_1)} - I \right] A_2^{-1} B_2 u_{t_0} \\ &+ A_3^{-1} B_3 u_{t_0} \end{aligned} \right. \\
 &= \Phi_3 A_3 \left\{ \begin{aligned} &e^{A_2(t_2-t_1)} e^{A_1(t_1-t_0)} \left[x_{t_0} + A_1^{-1} B_1 u_{t_0} \right] \\ &e^{A_2(t_2-t_1)} \left[-A_1^{-1} B_1 u_{t_0} + A_2^{-1} B_2 u_{t_0} \right] \\ &-A_2^{-1} B_2 u_{t_0} + A_3^{-1} B_3 u_{t_0} \end{aligned} \right.
 \end{aligned}$$

พิจารณาแถวที่ 1 ของสมการ (4.8) เขียนเป็นสมการ (4.9)

$$\hat{v}_{Cx-t_3} = \begin{cases} A_{3x}(1,:) \cdot \hat{x}_{t_0} + B_{3u}(1,:) \cdot \hat{u}_{t_0} + \\ e_{31}(1,1) \cdot \hat{t}_1 + e_{32}(1,1) \cdot \hat{t}_2 + e_{33}(1,1) \cdot \hat{t}_3 \end{cases} \quad (4.9)$$

จากสมการ (4.9) เราจะกำจัด \hat{v}_{Cx-t_3} โดยรวมเข้ากับพจน์ \hat{x}_{t_0} ซึ่งพิจารณาเงื่อนไขของกระแส v_{Cx} และ $v_{Cx-perturb}$ ในช่วงเวลา $t_0 < t < t_3$ ดังแสดงในรูป 4.2



รูปที่ 4.2 แรงดัน v_{Cx} และ $v_{Cx-perturb}$ ในช่วง $t_0 < t < t_3$

เมื่อพิจารณาจากรูปคลื่นที่เวลา t_3 ในรูป 4.2 จะได้ว่า

$$v_{Cx}(t_3) = v_C(t_3) \Rightarrow \hat{v}_{Cx}(t_1) \approx \hat{v}_C(t_3)$$

$$\hat{v}_C(t_3) \approx \hat{v}_C(t_0) \Rightarrow \hat{v}_{Cx}(t_1) \approx \hat{v}_C(t_0)$$

ดังนั้น

$$\hat{v}_{C-t_0} = \begin{cases} A_{3X}(1,:) \cdot \hat{x}_{t_0} + B_{3U}(1,:) \cdot \hat{u}_{t_0} + \\ e_{31}(1,1) \cdot \hat{t}_1 + e_{32}(1,1) \cdot \hat{t}_2 + e_{33}(1,1) \cdot \hat{t}_3 \end{cases}$$

คำนวณหา \hat{t}_3 ได้เป็นสมการ (4.10)

$$\hat{t}_3 = \frac{A_{3X}(1,:) - [0 \ 0 \ 1 \ 0 \ 0]}{-e_{33}(1,1)} \hat{x}_{t_0} + \frac{B_{3U}(1,:)}{-e_{33}(1,1)} \hat{u}_{t_0} + \frac{e_{31}(1,1)}{-e_{33}(1,1)} \hat{t}_1 + \frac{e_{32}(1,1)}{-e_{33}(1,1)} \hat{t}_2$$

$$\hat{t}_3 = E_{3X} \cdot \hat{x}_{t_0} + E_{3U} \cdot \hat{u} + e_{3T1} \cdot \hat{t}_1 + e_{3T2} \cdot \hat{t}_2 \quad (4.10)$$

$$\text{ซึ่ง } E_{3X} = \frac{A_{3X}(1,:) - I(3,:)}{-e_{33}(1,1)}, E_{3U} = \frac{B_{3U}(1,:)}{-e_{33}(1,1)} \text{ และ } I(3,:) = [0 \ 0 \ 1 \ 0 \ 0]$$

$$e_{3T1} = \frac{e_{31}(1,1)}{-e_{33}(1,1)}, e_{3T2} = \frac{e_{32}(1,1)}{-e_{33}(1,1)}$$

4.3 กำจัดตัวแปรรั้งความของตัวแปรตำแหน่งเวลา

จากหัวข้อ 4.2 เราสามารถคำนวณหาสมการสัญญาณขนาดเล็กของตัวแปรรั้งความของตัวแปรตำแหน่งเวลา t_1 และ t_3 ได้เป็นสมการ (4.6) และ (4.10) ตามลำดับ ดังนั้นเขียนสมการ (4.2) เป็นสมการ (4.11) แล้วแทนสมการ (4.10) ลงไปเพื่อกำจัด \hat{t}_3

$$\hat{x}_{t_4} = \begin{cases} A_{4X} \cdot \hat{x}_{t_0} + B_{4U} \cdot \hat{u}_{t_0} + \\ E_{41} \cdot \hat{t}_1 + E_{42} \cdot \hat{t}_2 + E_{43} \cdot \hat{t}_3 + E_{44} \cdot \hat{t}_4 \end{cases} \quad (4.11)$$

ได้เป็นสมการ (4.12)

$$\hat{x}_{t_4} = \begin{cases} A_{4X} \cdot \hat{x}_{t_0} + B_{4U} \cdot \hat{u}_{t_0} + E_{41} \cdot \hat{t}_1 + E_{42} \cdot \hat{t}_2 + \\ E_{43} \cdot [E_{3X} \cdot \hat{x}_{t_0} + E_{3U} \cdot \hat{u}_{t_0} + e_{3T1} \cdot \hat{t}_1 + e_{3T2} \cdot \hat{t}_2] + E_{44} \cdot \hat{t}_4 \end{cases}$$

$$\hat{x}_{t_4} = \begin{cases} [A_{4X} + E_{43}E_{3X}] \cdot \hat{x}_{t_0} + [B_{4U} + E_{43}E_{3U}] \cdot \hat{u}_{t_0} + \\ [E_{41} + E_{43}e_{3T1}] \cdot \hat{t}_1 + [E_{42} + E_{43}e_{3T2}] \cdot \hat{t}_2 + E_{44} \cdot \hat{t}_4 \end{cases} \quad (4.12)$$

แทนสมการ (4.6) ลงในสมการ (4.12) เพื่อกำจัด \hat{t}_1 ได้เป็นสมการ (4.13)

$$\hat{x}_{t_4} = \begin{cases} [A_{4X} + E_{43}E_{3X}] \cdot \hat{x}_{t_0} + [B_{4U} + E_{43}E_{3U}] \cdot \hat{u}_{t_0} + \\ [E_{41} + E_{43}e_{3T1}] \cdot [E_{1X} \cdot \hat{x}_{t_0} + E_{1U} \cdot \hat{u}_{t_0}] + [E_{42} + E_{43}e_{3T2}] \cdot \hat{t}_2 \\ + E_{44} \cdot \hat{t}_4 \end{cases}$$

$$\hat{x}_{t_4} = \begin{cases} [A_{4X} + E_{43}E_{3X}] \cdot \hat{x}_{t_0} + [B_{4U} + E_{43}E_{3U}] \cdot \hat{u}_{t_0} + \\ [E_{41}E_{1X} \cdot \hat{x}_{t_0} + E_{41}E_{1U} \cdot \hat{u}_{t_0}] + [E_{43}e_{3T1}E_{1X} \cdot \hat{x}_{t_0} + E_{43}e_{3T1}E_{1U} \cdot \hat{u}_{t_0}] \\ + [E_{42} + E_{43}e_{3T2}] \cdot \hat{t}_2 + E_{44} \cdot \hat{t}_4 \end{cases}$$

$$\hat{x}_{t_4} = \begin{cases} [A_{4X} + E_{43}E_{3X} + E_{41}E_{1X} + E_{43}e_{3T1}E_{1X}] \cdot \hat{x}_{t_0} \\ + [B_{4U} + E_{43}E_{3U} + E_{41}E_{1U} + E_{43}e_{3T1}E_{1U}] \cdot \hat{u}_{t_0} \\ + [E_{42} + E_{43}e_{3T2}] \cdot \hat{t}_2 + E_{44} \cdot \hat{t}_4 \end{cases} \quad (4.13)$$

จากนั้นเราต้องกำจัดตัวแปรเรียงความของตัวแปรตำแหน่งเวลา t_2 และ t_4 ซึ่งเมื่อพิจารณารูปคลื่นกระแสและแรงดันในสภาวะอยู่ตัวของวงจรดังรูป 3.2 ทำให้ทราบว่าตัวแปรเรียงความเหล่านี้เป็นฟังก์ชันโดยตรงของ f_s ซึ่งเป็นตัวแปรอิสระ เราจึงกำจัด \hat{t}_2 ในสมการ (4.13) โดยแทน $\hat{t}_2 = \frac{\hat{t}_4}{2}$ ได้เป็นสมการ (4.14)

$$\hat{x}_{t_4} = \begin{cases} \left[A_{4X} + E_{43}E_{3X} + E_{41}E_{1X} + E_{43}e_{3T1}E_{1X} \right] \cdot \hat{x}_{t_0} \\ + \left[B_{4U} + E_{43}E_{3U} + E_{41}E_{1U} + E_{43}e_{3T1}E_{1U} \right] \cdot \hat{u}_{t_0} \\ + \left[E_{42} + E_{43}e_{3T2} \right] \cdot \frac{\hat{t}_4}{2} + E_{44} \cdot \hat{t}_4 \end{cases} \quad (4.14)$$

และกำจัด \hat{t}_4 ในสมการ (4.14) โดยแทน $\hat{t}_4 = \frac{-1}{F_S^2} \hat{f}_s$ ได้เป็นสมการ (4.15)

$$\hat{x}_{t_4} = \begin{cases} \left[A_{4X} + E_{43}E_{3X} + E_{41}E_{1X} + E_{43}e_{3T1}E_{1X} \right] \cdot \hat{x}_{t_0} \\ + \left[B_{4U} + E_{43}E_{3U} + E_{41}E_{1U} + E_{43}e_{3T1}E_{1U} \right] \cdot \hat{u}_{t_0} \\ + \left[\frac{E_{42} + E_{43}e_{3T2}}{2} + E_{44} \right] \cdot \frac{-1}{F_S^2} \cdot \hat{f}_s \end{cases} \quad (4.15)$$

จากสมการ (4.15) สามารถเขียนสมการผลต่างสี่เหลี่ยมที่ เป็นเชิงเส้นและไม่แปรผันตามเวลาได้เป็นสมการ (4.16)

โดยจะรวมตัวแปรอิสระทั้งหมดเป็นเวกเตอร์ $\hat{w}_{t_0} = [\hat{u}_{t_0} \quad \hat{f}_s(t_0)]^T$

$$\hat{x}_{t_4} = A_D \cdot \hat{x}_{t_0} + W_D \cdot \hat{w}_{t_0} \quad (4.16)$$

ซึ่ง $A_D = A_{4X} + E_{43}E_{3X} + E_{41}E_{1X} + E_{43}e_{3T1}E_{1X}$

$$W_D = \begin{bmatrix} B_{4U} + E_{43}E_{3U} + E_{41}E_{1U} + E_{43}e_{3T1}E_{1U} & \left(\frac{E_{42} + E_{43}e_{3T2}}{2} + E_{44} \right) \frac{-1}{F_S^2} \end{bmatrix}$$

เมื่อพิจารณาสมการ (4.16) จะเห็นได้ว่าสัมประสิทธิ์ในแต่ละพจน์ของสมการเป็นค่าคงที่ ดังนั้นเราสามารถเขียนสมการ (4.16) ในคาบที่ n ใดๆ ได้เป็นสมการ (4.17)

$$\hat{x}_{nT_s+T_s} = A_D \cdot \hat{x}_{nT_s} + W_D \cdot \hat{w}_{nT_s} \quad (4.17)$$

4.4 คำนวณหาสมการสัญญาณขนาดเล็ของสมการอนุพันธ์

จากสมการ (4.17) ซึ่งเป็นสมการไม่ต่อเนื่อง (สมการผลต่างสืบเนื่อง) แต่สมการเชิงเส้นและไม่แปรผันตามเวลา ดังนั้นเราจึงแปลงจากสมการไม่ต่อเนื่องให้เป็นสมการต่อเนื่อง (สมการอนุพันธ์) ดังแสดงในสมการ (4.18) โดยใช้ความสัมพันธ์ใน [15] ตามสมการ (2.14)

$$\frac{d}{dt} \hat{x}(t) = A_C \cdot \hat{x}(t) + W_C \cdot \hat{w}(t) \quad (4.18)$$

ซึ่ง $A_C = [\log_e A_D] / T$, $W_C = \Psi^{-1} W_D / T$ และ $\Psi = A_C^{-1} (A_D - I) / T$

4.5 คำนวณหาแบบจำลองสัญญาณขนาดเล็ของฟังก์ชันโอนย้าย

คำนวณหาผลการแปลงลาปลาซสมการสถานะหรือสมการ (4.18) ได้เป็นสมการ (4.19)

$$s \cdot \hat{x}(s) - \hat{x}(0) = A_C \cdot \hat{x}(s) + W_C \cdot \hat{w}(s)$$

$$[s \cdot I - A_C] \hat{x}(s) = \hat{x}(0) + W_C \cdot \hat{w}(s)$$

$$\hat{x}(s) = \underbrace{[s \cdot I - A_C]^{-1}}_{\text{transition-matrix}} \hat{x}(0) + [s \cdot I - A_C]^{-1} W_C \cdot \hat{w}(s) \quad (4.19)$$

คำนวณหาผลการแปลงลาปลาซสัญญาณขนาดเล็ของสมการด้านออกในปริภูมิสถานะได้เป็นสมการ (4.20)

$$\hat{y}(s) = C_X \cdot \hat{x}(s) + D_W \cdot \hat{w}(s) \quad (4.20)$$

ซึ่ง $D_W = [0 \ 0 \ 0 \ 0]^T$

แทนสมการ (4.19) ลงในสมการ (4.20) ได้เป็นสมการ (4.21)

$$\hat{y}(s) = C_X \cdot \left\{ [s \cdot I - A_C]^{-1} \hat{x}(0) + [s \cdot I - A_C]^{-1} W_C \cdot \hat{w}(s) \right\} + D_W \cdot \hat{w}(s)$$

$$\hat{y}(s) = C_X [s \cdot I - A_C]^{-1} \hat{x}(0) + \underbrace{\left\{ C_X [s \cdot I - A_C]^{-1} W_C + D_W \right\}}_{\text{matrix-transfer-function}} \hat{w}(s) \quad (4.21)$$

พิจารณาสัมประสิทธิ์ของพจน์เวกเตอร์ด้านเข้าของสมการ (4.21) เขียนเป็นสมการ (4.22)

$$\begin{aligned} \hat{G}(s) &= \frac{\hat{y}(s)}{\hat{w}(s)} = C_X [s \cdot I - A_C]^{-1} W_C + D_W \\ \hat{G}(s) &= C_X \cdot \frac{\text{adj}\{s \cdot I - A_C\}}{\det\{s \cdot I - A_C\}} \cdot W_C + D_W \\ \hat{G}(s) &= \frac{C_X \cdot \text{adj}\{s \cdot I - A_C\} \cdot W_C + \det\{s \cdot I - A_C\} \cdot D_W}{\det\{s \cdot I - A_C\}} \end{aligned} \quad (4.22)$$

พิจารณาสมการ (4.22) หรือเมตริกซ์ฟังก์ชันโอนย้ายซึ่งเป็นเมตริกซ์ที่แต่ละองค์ประกอบจะเป็นฟังก์ชันโอนย้ายของระบบหนึ่งสัญญาณเข้าหนึ่งสัญญาณออก ดังแสดงในสมการ (4.23)

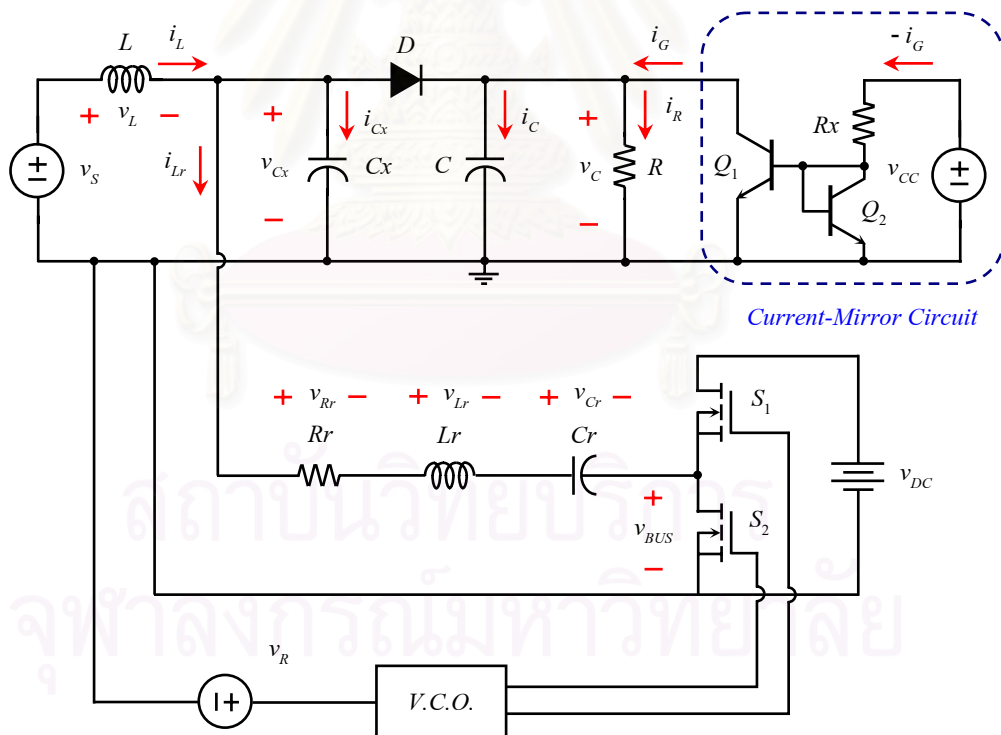
$$\hat{G}(s) = \begin{bmatrix} \underbrace{\frac{\hat{v}_C(s)}{\hat{v}_S(s)}}_{\text{Line-to-output}} & \underbrace{\frac{\hat{v}_C(s)}{\hat{v}_{DC}(s)}}_{\text{Line-to-output}} & \underbrace{\frac{\hat{v}_C(s)}{\hat{i}_G(s)}}_{\text{Output-impedance}} & \underbrace{\frac{\hat{v}_C(s)}{\hat{f}_S(s)}}_{\text{Control-to-output}} \\ \underbrace{\frac{\hat{i}_L(s)}{\hat{v}_S(s)}}_{\text{Inverse-input-impedance}} & \frac{\hat{i}_L(s)}{\hat{v}_{DC}(s)} & \frac{\hat{i}_L(s)}{\hat{i}_G(s)} & \frac{\hat{i}_L(s)}{\hat{f}_S(s)} \end{bmatrix} \quad (4.23)$$

และเมื่อพิจารณาตัวส่วนของ $G(s)$ ในสมการ (4.22) จะได้ว่า เป็นสมการโพลิโนเมียล ซึ่งเป็นสเกลาร์ ดังนั้นฟังก์ชันโอนย้ายต่างๆ ใน $G(s)$ จะมีขั้ว (pole) เหมือนกันแต่ศูนย์ (zero) แตกต่างกันซึ่งในบทต่อไปเราจะหาผลตอบแทนเชิงความถี่ (Bode) ของฟังก์ชันโอนย้ายต่างๆ ใน $G(s)$ เพื่อเปรียบเทียบกับฟังก์ชันโอนย้ายที่ได้จากวิธีอื่นๆ (จากการจำลองวงจร, จากการทดลอง และการคำนวณด้วยวิธีเล็ขงจรแบบพิจารณาเฉพาะความถี่หลักมูล)

บทที่ 5

ผลตอบสนองเชิงความถี่

ในบทนี้จะเป็นการเปรียบเทียบผลตอบสนองเชิงความถี่ของฟังก์ชันโอนย้ายวงรอบเปิดของสัญญาณขนาดเล็กต่างๆ ของวงจรซึ่งได้แก่ ฟังก์ชันโอนย้ายจากแรงดันด้านเข้า v_s ไปสู่แรงดันด้านออก v_c (\hat{v}_c / \hat{v}_s) ฟังก์ชันโอนย้ายจากกระแสด้านเข้า i_L ไปสู่แรงดันด้านเข้า v_s หรืออิมพีแดนซ์ด้านเข้า ($\hat{z}_i = \hat{v}_s / \hat{i}_L$) ฟังก์ชันโอนย้ายจากความถี่การสวิตช์ f_s ไปสู่แรงดันด้านออก v_c (\hat{v}_c / \hat{f}_s) และฟังก์ชันโอนย้ายจากกระแสด้านออก i_G ไปสู่แรงดันด้านออก v_c หรืออิมพีแดนซ์ด้านออก ($\hat{z}_o = \hat{v}_c / \hat{i}_G$) โดยจะเปรียบเทียบผลตอบสนองเชิงความถี่ที่ได้จาก 1. การคำนวณทางทฤษฎีในแต่ละวิธี (วิธีเฉลี่ยวงจรหรือ CA และวิธีชักข้อมูลตัวอย่างหรือ SD) 2. การจำลองวงจรด้วยโปรแกรมคอมพิวเตอร์ P-Sim และ 3. ผลทดลองจากวงจรจริง ซึ่ง ผลตอบสนองเชิงความถี่ของการคำนวณด้วยวิธีเฉลี่ยวงจร, การจำลองวงจรและการทดลองด้วยวงจรจริง เป็นข้อมูลที่น่ามาจากรายงานอ้างอิง [5] โดยแสดงรูปวงจรที่ใช้ในการทดลอง ไว้ในรูป 5.1 สำหรับแหล่งกระแสด้านออก i_G ในการทดลองจะใช้วงจรสะท้อนกระแส (Current-Mirror Circuit) แทนเป็นกึ่งกระแสด้านออก และจะใช้วงจรออสซิลเลเตอร์ควบคุมแรงดัน (V.C.O.) ในการสร้างสัญญาณขับนำสวิตซ์งาน S_1 และ S_2 ดังรูป 5.1



รูปที่ 5.1 วงจรทระดับที่ใช้กึ่งควบคุมแรงดัน

กรณีใช้อินเวอร์เตอร์เป็นแหล่งกระแสควบคุม สำหรับการทดลองในห้องปฏิบัติการ

คุณลักษณะของวงจรที่ใช้ในการเปรียบเทียบผลตอบสนองเชิงความถี่ทั้งหมด 4 คุณลักษณะซึ่งได้แก่

1. แรงดันด้านเข้าสูง-โหลดน้อย และกระแสด้านออกเป็นศูนย์ (HLLL)
2. แรงดันด้านเข้าสูง-โหลดน้อย และกระแสด้านออกไม่เป็นศูนย์ (HLLL- i_G)
3. แรงดันด้านเข้าต่ำ-โหลดมาก และกระแสด้านออกเป็นศูนย์ (LLFL)
4. แรงดันด้านเข้าต่ำ-โหลดมาก และกระแสด้านออกไม่เป็นศูนย์ (LLFL- i_G)

กำหนดให้ ค่าของตัวแปรต่างๆ ซึ่งเป็นค่าไฟตรงในสภาวะอยู่ตัวของวงจร มีค่าดังแสดงในตาราง 5.1 ซึ่งกรณีกระแสด้านออกเป็นศูนย์ จะเปรียบเทียบผลตอบสนองเชิงความถี่ของ \hat{v}_C / \hat{v}_S , \hat{z}_I และ \hat{v}_C / \hat{f}_S แต่สำหรับกรณีกระแสด้านออกไม่เป็นศูนย์ จะเปรียบเทียบเฉพาะผลตอบสนองเชิงความถี่ของ \hat{z}_O

ตาราง 5.1 ค่าไฟตรงในสภาวะอยู่ตัวของวงจร

ตัวแปร	HLLL	HLLL- i_G	LLFL	LLFL- i_G	Unit
แรงดันด้านออก (V_o)	48				V
แรงดันเข้าอินเวอร์เตอร์ (V_{DC})	240				V
ตัวเหนี่ยวนำด้านเข้า (L)	9.775				mH
ตัวเก็บประจุด้านออก (C)	62.6				μ F
ตัวเก็บประจุชารจ์ป้อน (C_x)	1.888				η F
ตัวต้านทานเรโซแนนซ์ (R_r)	1.96				Ω
ตัวเหนี่ยวนำเรโซแนนซ์ (L_r)	0.8497				mH
ตัวเก็บประจุเรโซแนนซ์ (C_r)	12.965				η F
แรงดันด้านเข้า (V_S)	26.4		21.6		V
กระแสด้านออก (I_G)	0	-0.2	0	-0.2	A
ความถี่การสวิตช์ (F_S)	126.4134	89.128	55.243		kHz
ตัวต้านทานด้านออก (R)	240	240	24	26.6667	Ω
t_1 (จากการจำลองวงจร)	2.764	4.164	6.716	6.716	μ S
t_3 (จากการจำลองวงจร)	5.983	7.575	10.338	10.337	μ S
$v_{C_x}(t_0)$ (จากการจำลองวงจร)	48.9406	49.2533	50.7261	50.8192	V
$v_{C_r}(t_0)$ (จากการจำลองวงจร)	20.9555	11.2634	-152.7919	-153.1871	V
$v_C(t_0)$ (จากการจำลองวงจร)	48.0689	48.3241	49.4320	49.5253	V
$i_{L_r}(t_0)$ (จากการจำลองวงจร)	-0.3370	-0.5515	-2.1623	-2.1615	A
$i_L(t_0)$ (จากการจำลองวงจร)	0.2022	0.4124	2.0675	2.0672	A

ค่าไฟตรงในสภาวะอยู่ตัวบางค่าจะแตกต่างกันไปในแต่ละคุณลักษณะของวงจร (ดังตาราง 5.1) คือ แรงดันเข้า กระแสด้านออก ความถี่การสวิตช์และตัวต้านทานด้านออก ซึ่งค่าไฟตรงเหล่านี้ได้จากการออกแบบวงจรใน [5] และยังมีค่าไฟตรงในสภาวะอยู่ตัวบางค่า เราไม่สามารถรู้ได้จากการคำนวณโดยตรงซึ่งได้แก่ ค่าของตัวแปรสถานะที่เวลาเริ่มต้นการทำงาน $x(t_0)$ และค่าตัวแปรตำแหน่งเวลา t_1 และ t_3 (ตัวแปรตำแหน่งเวลา t_2 และ t_4 เป็นฟังก์ชันของ f_S ทำให้สามารถคำนวณได้โดยตรง) แต่เราสามารถทราบค่าของตัวแปรเหล่านี้ได้จากการจำลองวงจรด้วยคอมพิวเตอร์

5.1 ผลตอบสนองเชิงความถี่ของฟังก์ชันโอนย้ายวงรอบเปิดสำหรับคุณลักษณะ HLLL

- ฟังก์ชันโอนย้ายจากแรงดันด้านเข้าสู่แรงดันด้านออก

จากวิธีชักตัวอย่างข้อมูล (SD)

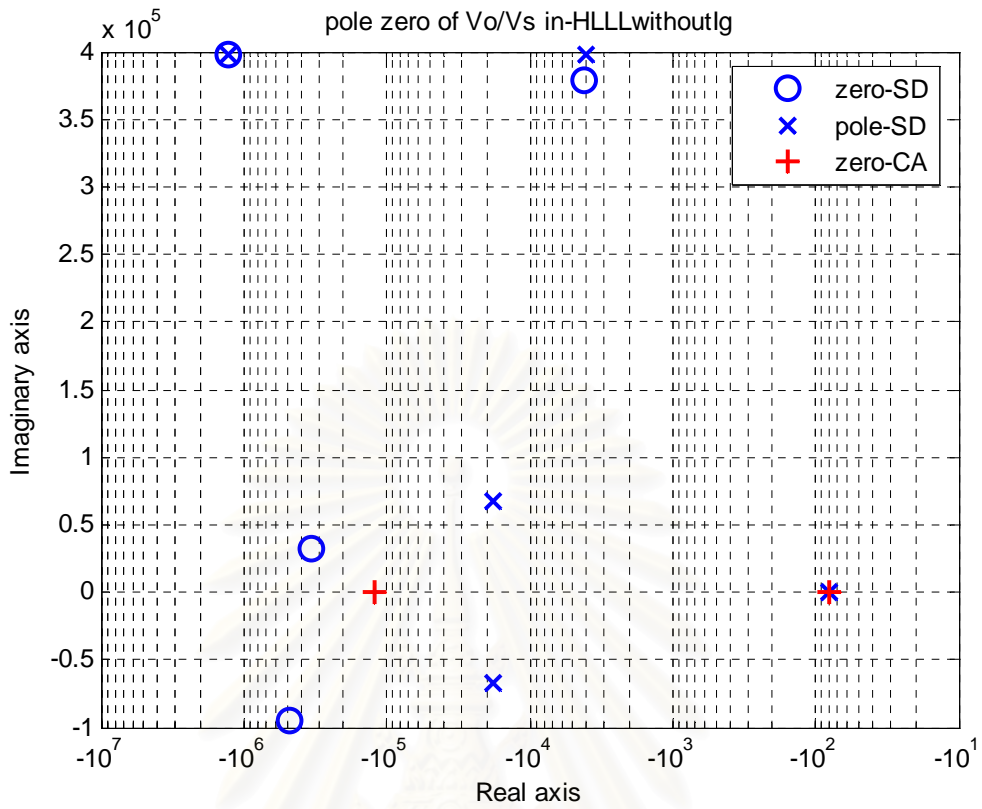
$$\frac{\hat{v}_c}{\hat{v}_s} = \frac{(0.4-0.04i)(s+(341-33i)k)(s+(476+94.37i)k)(s+(4.229-379i)k)(s+(1292-397i)k)}{(s+79.77)(s+(18-67i)k)(s+(18+67i)k)(s+(4.052-397i)k)(s+(1292-397i)k)}$$

จากวิธีเฉลี่ยวงจรแบบประมาณด้วยความถี่หลักมูล (CA) นำมาจาก [5]

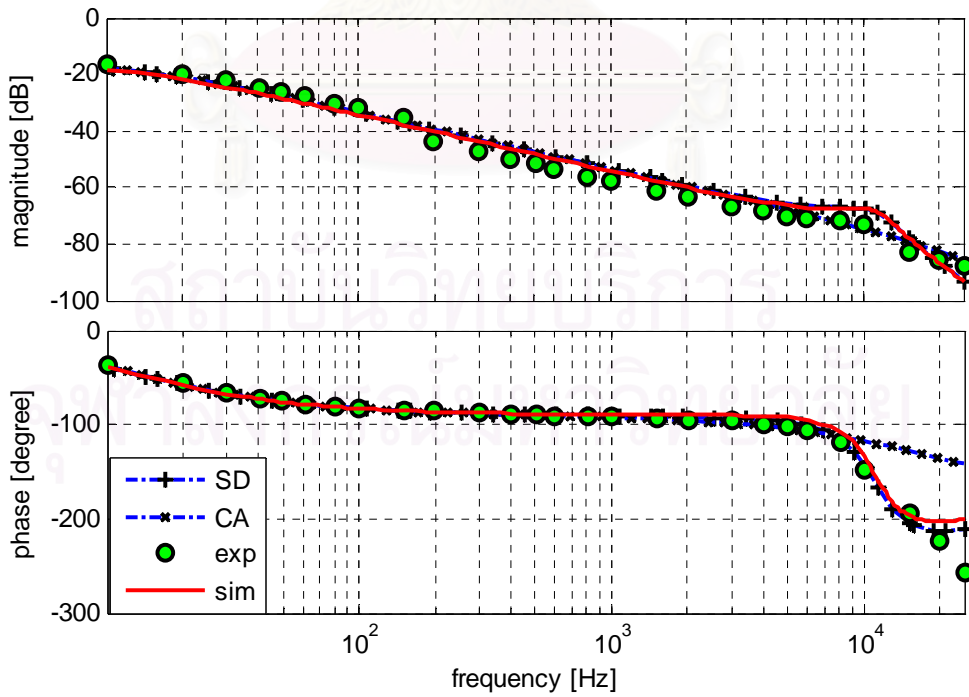
$$\frac{\hat{v}_c}{\hat{v}_s} = \frac{1634313.7255}{(s+122.8k)(s+79.86)}$$

โดยแสดงตำแหน่งขั้วและศูนย์กับผลตอบสนองเชิงความถี่ไว้ในรูป 5.2 (ก) กับรูป 5.2 (ข) ตามลำดับซึ่งจากรูป 5.2 (ข) จะเห็นได้ว่าในย่านความถี่ น้อยกว่าครึ่งหนึ่งของความถี่การสวิตช์ ผลการคำนวณ ผลการจำลอง และผลการทดลองจะสอดคล้องกันมาก แต่เมื่อความถี่มีค่ามากกว่า 4 kHz ผลการคำนวณจากการประมาณด้วยความถี่หลักมูล จะเริ่มมีความคลาดเคลื่อน โดยน่าจะเป็นผลมาจากองค์ประกอบสะสมพลังงานที่มีความถี่ธรรมชาติค่าสูง เช่น Lr , Cr และ Cx ที่ได้ละเลยตอนหาแบบจำลองสัญญาณขนาดเล็ก

สถาบันวิทยบริการ
จุฬาลงกรณ์มหาวิทยาลัย



รูปที่ 5.2 ก แผนภาพขั้วและศูนย์ของ \hat{v}_C / \hat{v}_S ในคุณลักษณะ HLLL



รูปที่ 5.2 ข ผลตอบสนองเชิงความถี่ของ \hat{v}_C / \hat{v}_S ในคุณลักษณะ HLLL

- ฟังก์ชัน โอนย้ายจากกระแสด้านเข้าสู่แรงดันด้านเข้า

จากวิธีชักตัวอย่างข้อมูล (SD)

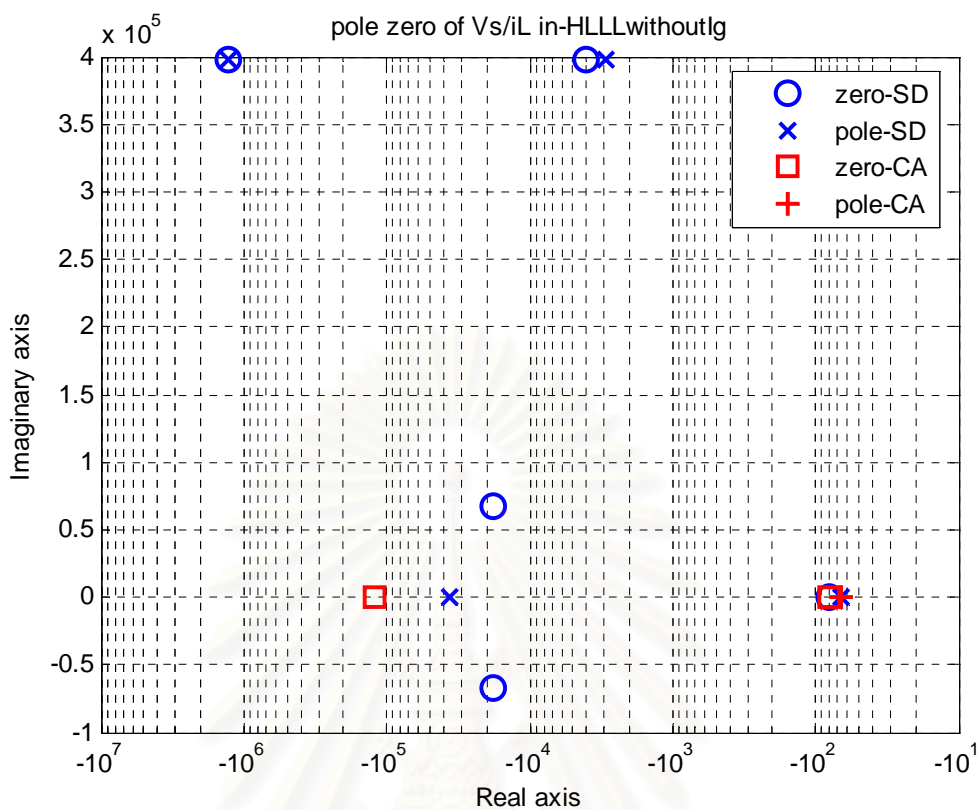
$$\frac{\hat{v}_s}{\hat{i}_L} = \frac{0.01(s+79.77) (s+(18-67i)k) (s+(18+67i)k)(s+(4.052-397i)k) (s+(1292-397i)k)}{(s+66.54) (s+(37k-3.279i)) (s+(1292-397i)k)(s+(2.933-397i)k)}$$

จากวิธีเฉลี่ยวงจรแบบประมาณด้วยความถี่หลักมูล (CA) นำมาจาก [5]

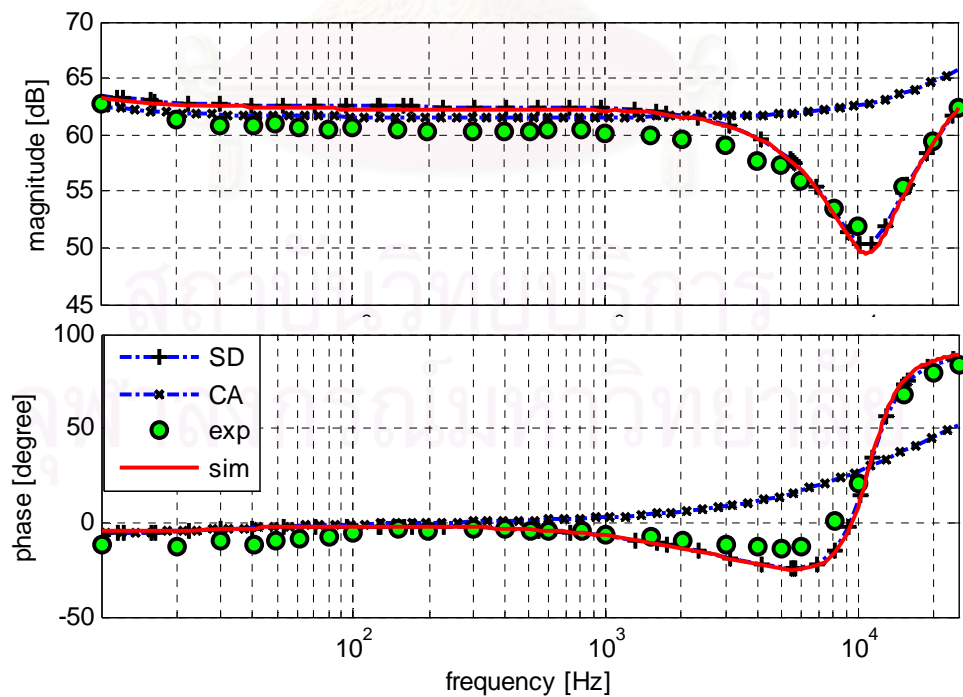
$$\frac{\hat{v}_s}{\hat{i}_L} = \frac{0.0097803 (s+122.7k) (s+79.92)}{(s+66.58)}$$

โดยแสดงตำแหน่งขั้วและศูนย์กับผลตอบสนองเชิงความถี่ไว้ในรูป 5.3 (ก) กับรูป 5.3 (ข) ตามลำดับซึ่งจากรูป 5.3 (ข) จะเห็นได้ว่าในย่านความถี่ น้อยกว่าครึ่งหนึ่งของความถี่การสวิตช์ ผลการคำนวณ ผลการจำลอง และผลการทดลองจะสอดคล้องกันมาก แต่เมื่อความถี่มีค่ามากกว่า 800 Hz ผลการคำนวณจากการประมาณด้วยความถี่หลักมูลจะเริ่มมีความคลาดเคลื่อน โดยน่าจะเป็นผลมาจากองค์ประกอบสะสมพลังงานที่มีความถี่ธรรมชาติค่าสูง เช่น Lr , Cr และ Cx ที่ได้ละเลขตอนหาแบบจำลองสัญญาณขนาดเล็ก

สถาบันวิทยบริการ
จุฬาลงกรณ์มหาวิทยาลัย



รูปที่ 5.3 ก แผนภาพขั้วและศูนย์ของ \hat{z}_1 ในคุณลักษณะ HLLL



รูปที่ 5.3 ผลตอบสนองเชิงความถี่ของ \hat{z}_1 ในคุณลักษณะ HLLL

- ฟังก์ชัน โอนย้ายจากความถี่การสวิตช์สู่แรงดันด้านออก

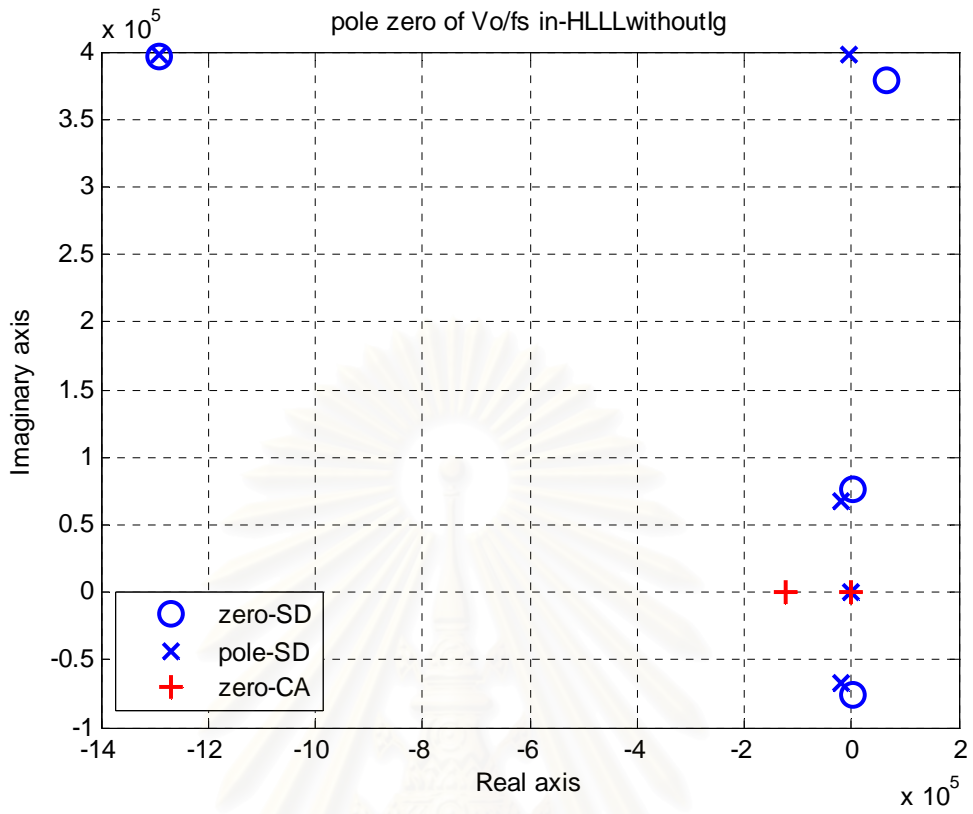
จากวิธีชักตัวอย่างข้อมูล (SD)

$$\frac{\hat{v}_c}{\hat{f}_s} = \frac{(-0.04-0.01i) (s-(1.229-76i)k) (s-(1.144+76i)k)(s-(66+379i)k) (s+(1292-397i)k)}{(s+79.77) (s+(18-67i)k) (s+(18+67i)k)(s+(4.052-397i)k) (s+(1292-397i)k)}$$

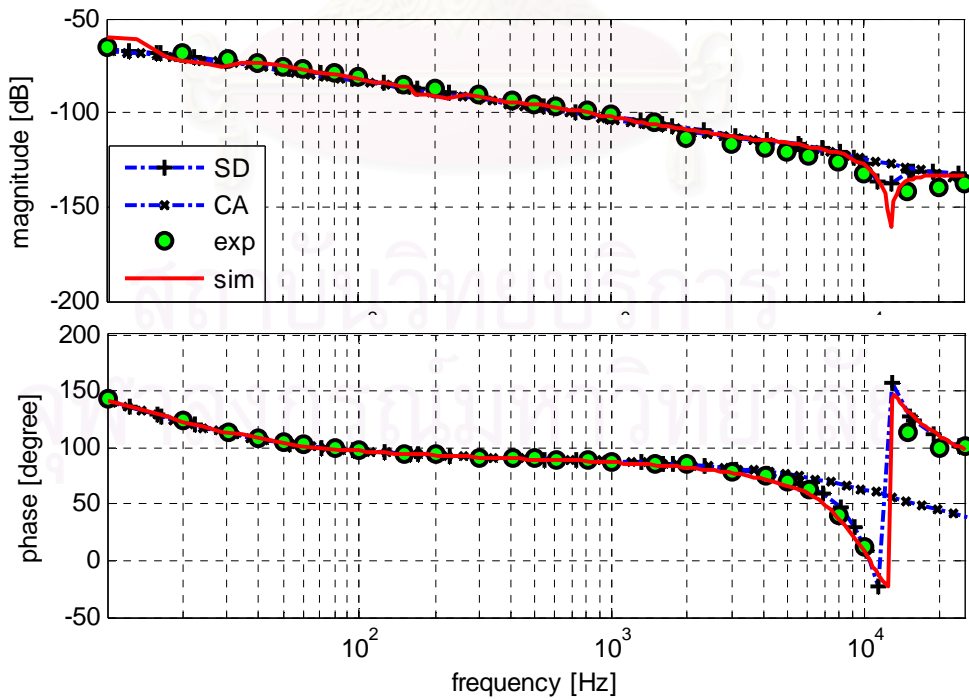
จากวิธีเฉลี่ยวงจรมหาประมาณด้วยค่าความถี่หลักมูล (CA) นำมาจาก [5]

$$\frac{\hat{v}_c}{\hat{f}_s} = \frac{-5274.5098}{(s+122.8k) (s+79.86)}$$

โดยแสดงตำแหน่งขั้วและศูนย์กับผลตอบสนองเชิงความถี่ไว้ในรูป 5.4 (ก) กับรูป 5.4 (ข) ตามลำดับซึ่งจากรูป 5.4 (ข) จะเห็นได้ว่าในย่านความถี่ น้อยกว่าครึ่งหนึ่งของความถี่การสวิตช์ ผลการคำนวณ ผลการจำลอง และผลการทดลองจะสอดคล้องกันมาก แต่เมื่อความถี่มีค่ามากกว่า 6 kHz ผลการคำนวณจากการประมาณด้วยค่าความถี่หลักมูล จะเริ่มมีความคลาดเคลื่อน โดยน่าจะเป็นผลมาจากองค์ประกอบสะสมพลังงานที่มีความถี่ธรรมชาติค่าสูง เช่น Lr , Cr และ Cx ที่ได้ละเอียดตอนหาแบบจำลองสัญญาณขนาดเล็ก



รูปที่ 5.4 ก แผนภาพขั้วและศูนย์ของ \hat{v}_c / \hat{f}_s ในคุณลักษณะ HLLL



รูปที่ 5.4 ผลตอบสนองเชิงความถี่ของ \hat{v}_c / \hat{f}_s ในคุณลักษณะ HLLL

- ฟังก์ชัน โอนย้ายจากแหล่งกระแสด้านออกสู่แรงดันด้านออก

จากวิธีชักตัวอย่างข้อมูล (SD)

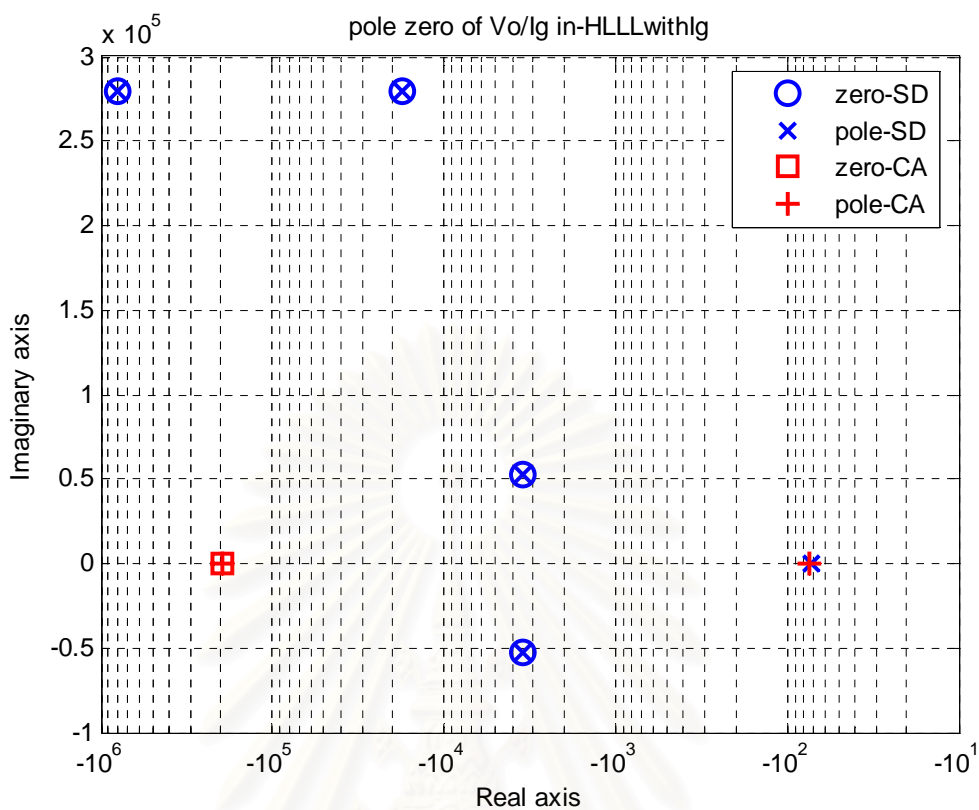
$$\frac{\hat{v}_c}{\hat{i}_G} = \frac{(15987-4.88i) (s+(3.467-52i)k) (s+(3.467+52i)k)(s+(791-280i)k) (s+(18-280i)k)}{(s+71.55) (s+(3.464-52i)k) (s+(3.464+52i)k) (s+(791-280i)k) (s+(18-280i)k)}$$

จากวิธีเฉลี่ยวงจรแบบประมาณด้วยความถี่หลักมูล (CA) นำมาจาก [5]

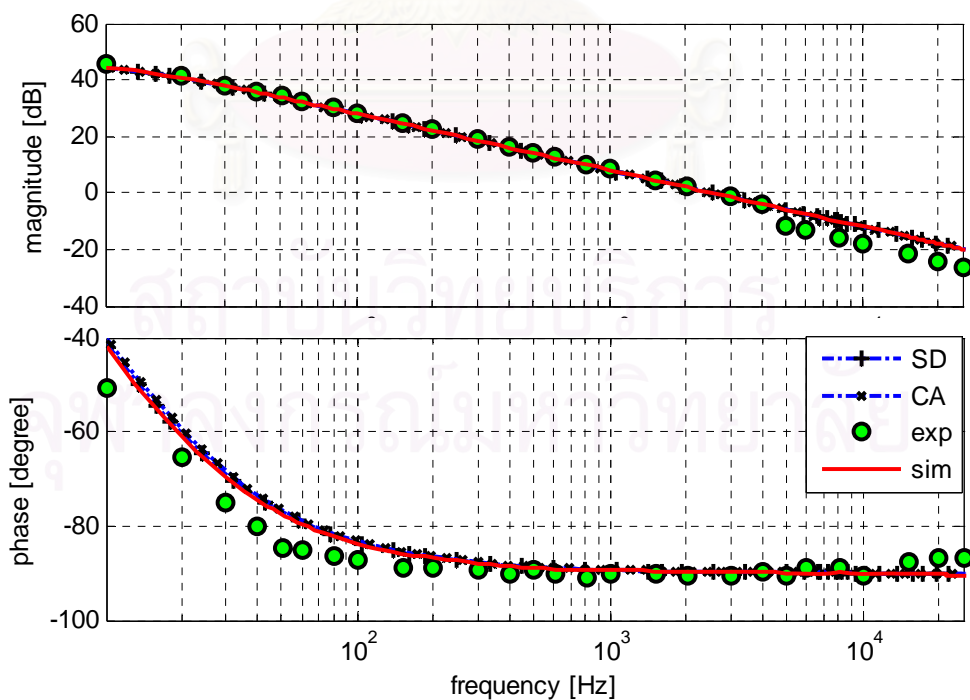
$$\frac{\hat{v}_c}{\hat{i}_G} = \frac{15967.5037 (s+197.4k)}{(s+197.4k) (s+74.82)}$$

โดยแสดงตำแหน่งขั้วและศูนย์กับผลตอบสนองเชิงความถี่ไว้ในรูป 5.5 (ก) กับรูป 5.5 (ข) ตามลำดับซึ่งจากรูป 5.5 (ข) จะเห็นได้ว่าในย่านความถี่ น้อยกว่าครึ่งหนึ่งของความถี่การสวิตช์ ผลการคำนวณ ผลการจำลอง และผลการทดลองจะสอดคล้องกันมาก

สถาบันวิทยบริการ
จุฬาลงกรณ์มหาวิทยาลัย



รูปที่ 5.5 ก แผนภาพขั้วและศูนย์ของ \hat{z}_O ในคุณลักษณะ HLLL- i_G



รูปที่ 5.5 ข ผลตอบสนองเชิงความถี่ของ \hat{z}_O ในคุณลักษณะ HLLL- i_G

5.2 ผลตอบสนองเชิงความถี่ของฟังก์ชันโอนย้ายวงรอบเปิดสำหรับคุณลักษณะ LLFL

- ฟังก์ชันโอนย้ายจากแรงดันด้านเข้าสู่แรงดันด้านออก

จากวิธีชักตัวอย่างข้อมูล (SD)

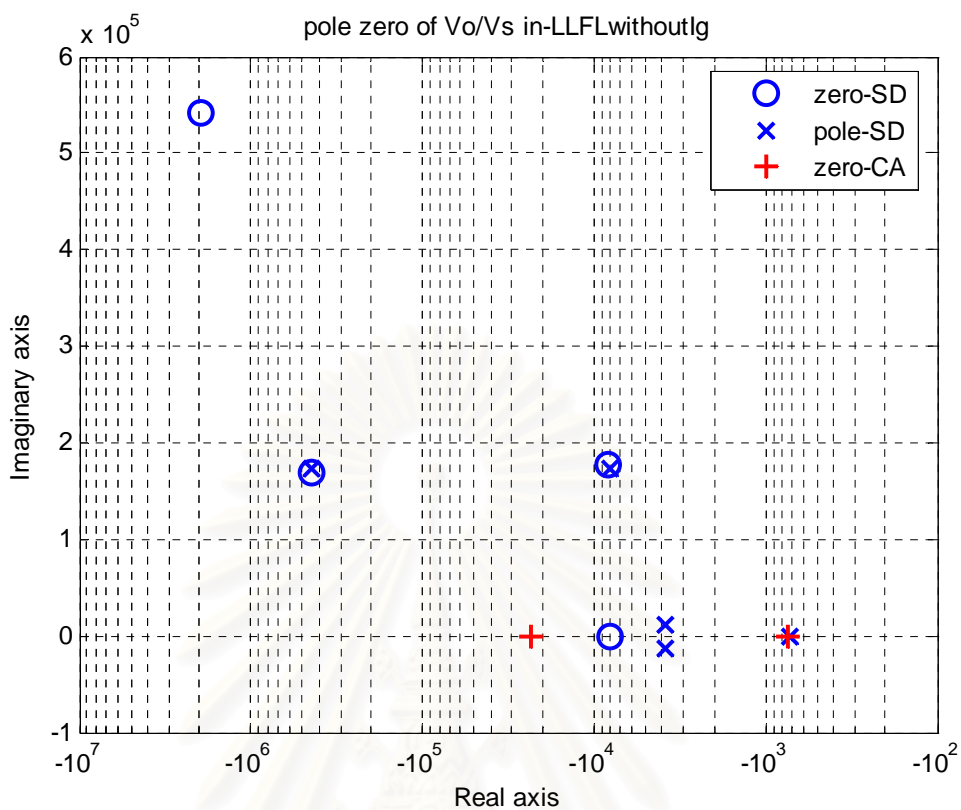
$$\frac{\hat{v}_c}{\hat{v}_s} = \frac{(0.6+0.2i) (s+(8107+0.04i)) (s+(1946-542i)k) (s+(8.265-177i)k) (s+(445-169i)k)}{(s+725.7) (s+(3.813-12i)k) (s+(3.813+12i)k) (s+(8.071-174i)k) (s+(448-174i)k)}$$

จากวิธีเฉลี่ยวงจรแบบประมาณด้วยความถี่หลักมูล (CA) นำมาจาก [5]

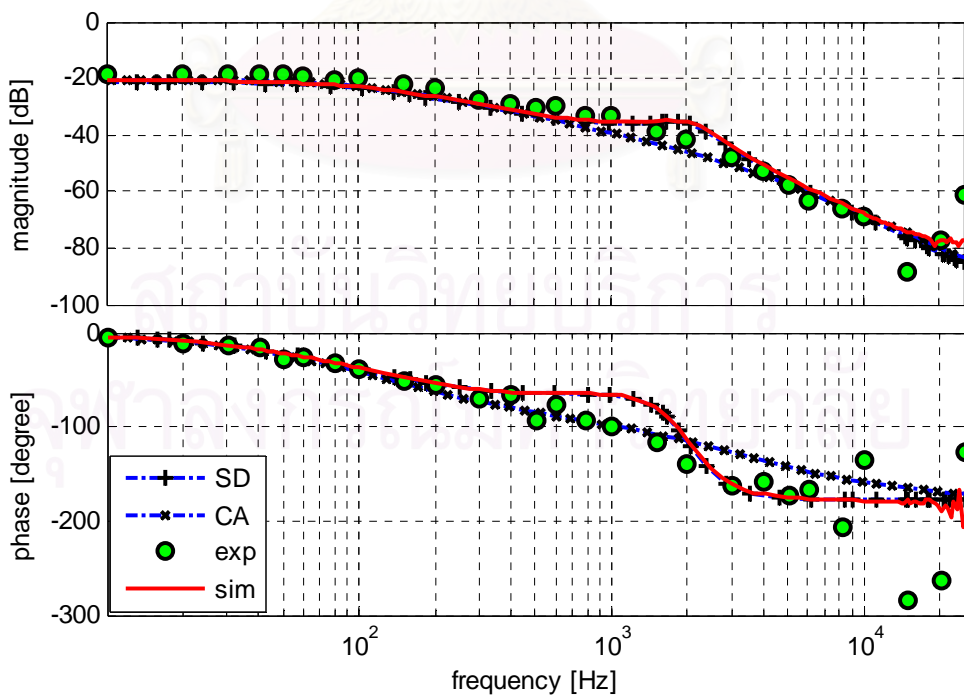
$$\frac{\hat{v}_c}{\hat{v}_s} = \frac{1634316.9026}{(s+23.09k) (s+738.7)}$$

โดยแสดงตำแหน่งขั้วและศูนย์กับผลตอบสนองเชิงความถี่ไว้ในรูป 5.6 (ก) กับรูป 5.6 (ข) ตามลำดับซึ่งจากรูป 5.6 (ข) จะเห็นได้ว่าในย่านความถี่ น้อยกว่าครึ่งหนึ่งของความถี่การสวิตช์ ผลการคำนวณ ผลการจำลอง และผลการทดลองจะสอดคล้องกันมาก แต่เมื่อความถี่มีค่ามากกว่า 200 Hz ผลการคำนวณจากการประมาณด้วยความถี่หลักมูลจะเริ่มมีความคลาดเคลื่อน โดยน่าจะเป็นผลมาจากองค์ประกอบสะสมพลังงานที่มีความถี่ธรรมชาติค่าสูง เช่น Lr , Cr และ Cx ที่ได้ละเลยตอนหาแบบจำลองสัญญาณขนาดเล็ก

สถาบันวิทยบริการ
จุฬาลงกรณ์มหาวิทยาลัย



รูปที่ 5.6 ก แผนภาพขั้วและศูนย์ของ \hat{v}_C / \hat{v}_S ในคุณลักษณะ LLFL



รูปที่ 5.6 ข ผลตอบสนองเชิงความถี่ของ \hat{v}_C / \hat{v}_S ในคุณลักษณะ LLFL

- ฟังก์ชันโอนย้ายจากกระแสด้านเข้าสู่แรงดันด้านเข้า

จากวิธีชักตัวอย่างข้อมูล (SD)

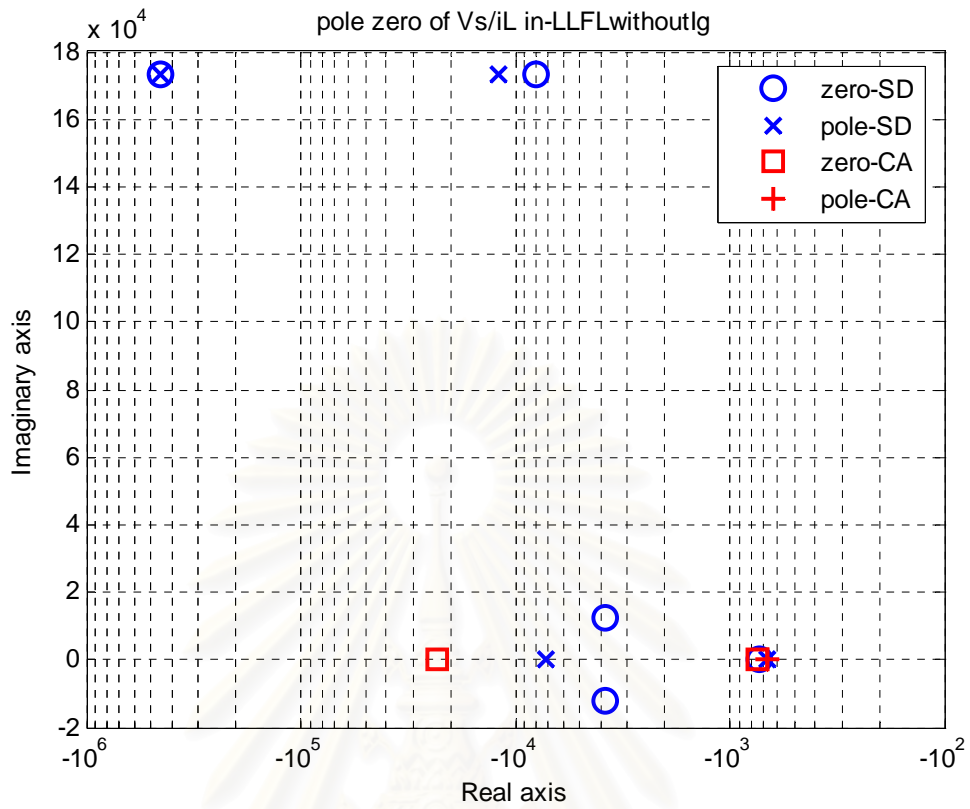
$$\frac{\hat{v}_s}{\hat{i}_L} = \frac{0.01 (s+725.7) (s+(3.813-12i)k) (s+(3.813+12i)k) (s+(8.071-174i)k) (s+(448-174i)k)}{(s+665.4) (s+(7182+0.8495i)) (s+(119-173i)k) (s+(447-173i)k)}$$

จากวิธีเฉลี่ยวงจรแบบประมาณด้วยความถี่หลักมูล (CA) นำมาจาก [5]

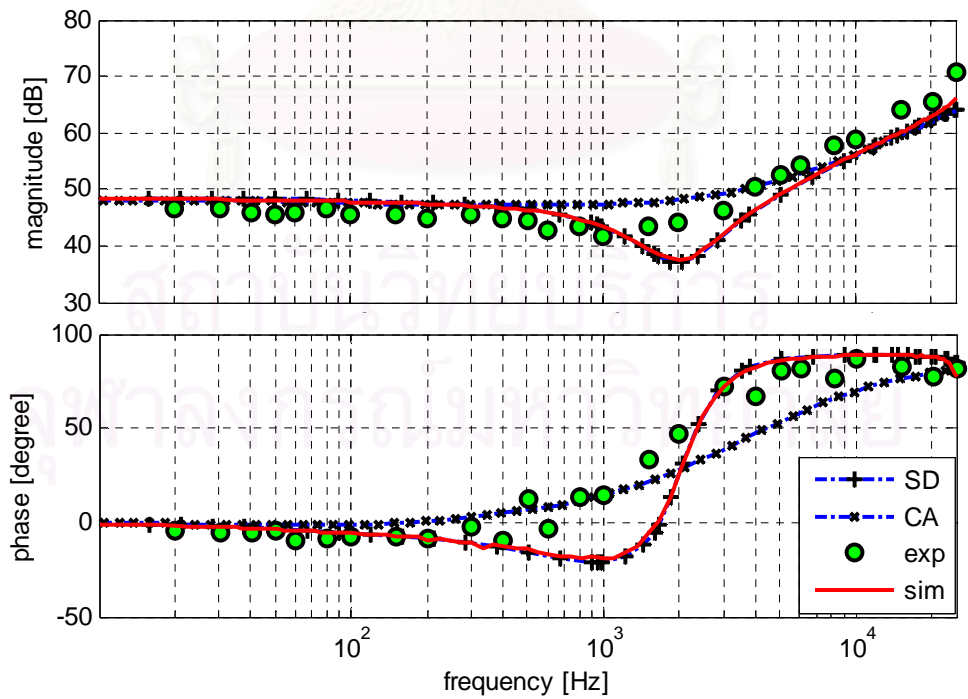
$$\frac{\hat{v}_s}{\hat{i}_L} = \frac{0.0097803 (s+23.09k) (s+738.6)}{(s+665.8)}$$

โดยแสดงตำแหน่งขั้วและศูนย์กับผลตอบสนองเชิงความถี่ไว้ในรูป 5.7 (ก) กับรูป 5.7 (ข) ตามลำดับซึ่งจากรูป 5.7 (ข) จะเห็นได้ว่าในย่านความถี่ น้อยกว่าครึ่งหนึ่งของความถี่การสวิตช์ ผลการคำนวณ ผลการจำลอง และผลการทดลองจะสอดคล้องกันมาก แต่เมื่อความถี่มีค่ามากกว่า 200 Hz ผลการคำนวณจากการประมาณด้วยความถี่หลักมูลจะเริ่มมีความคลาดเคลื่อน โดยน่าจะเป็นผลมาจากองค์ประกอบสะสมพลังงานที่มีความถี่ธรรมชาติค่าสูง เช่น Lr , Cr และ Cx ที่ได้เลขเลขตอนหาแบบจำลองสัญญาณขนาดเล็ก

สถาบันวิทยบริการ
จุฬาลงกรณ์มหาวิทยาลัย



รูปที่ 5.7 ก แผนภาพขั้วและศูนย์ของ \hat{z}_I ในคุณลักษณะ LLFL



รูปที่ 5.7 ข ผลตอบสนองเชิงความถี่ของ \hat{z}_I ในคุณลักษณะ LLFL

- ฟังก์ชัน โอนย้ายจากความถี่การสวิตช์สู่แรงดันค่านอก

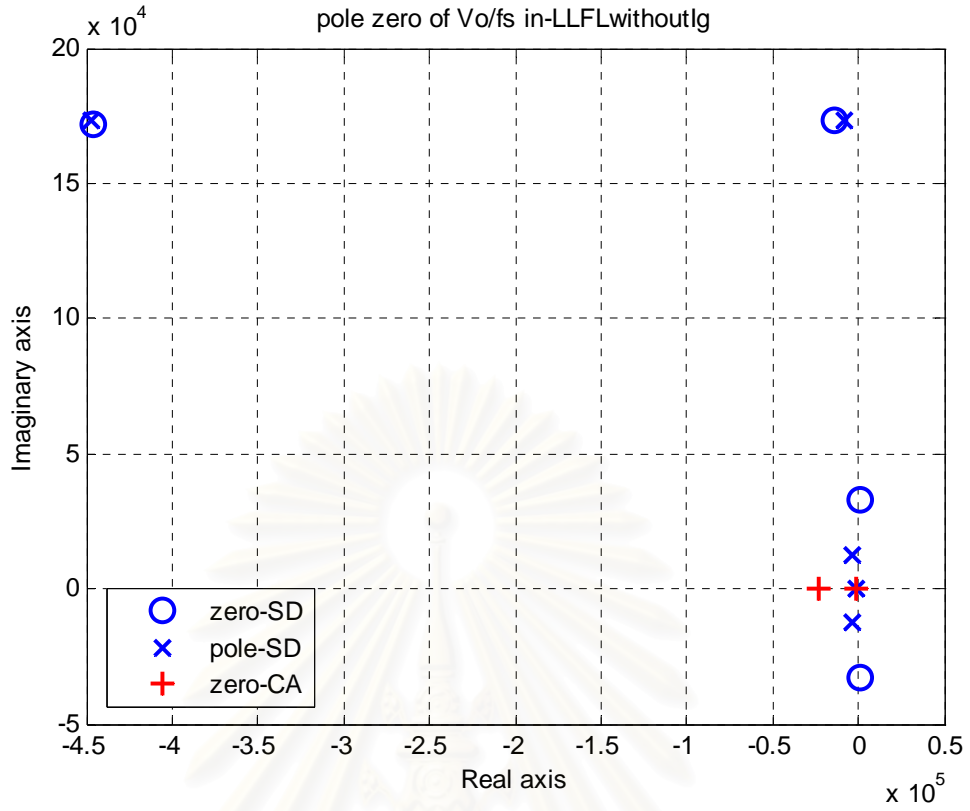
จากวิธีชักตัวอย่างข้อมูล (SD)

$$\frac{\hat{v}_c}{\hat{f}_s} = \frac{(-0.6+0.02i) (s-(701.4+33ki)) (s-(666.7-33ki)) (s+(446-172i)k) (s+(14-173i)k)}{(s+725.7) (s+(3.813-12i)k) (s+(3.813+12i)k) (s+(448-174i)k) (s+(8.071-174i)k)}$$

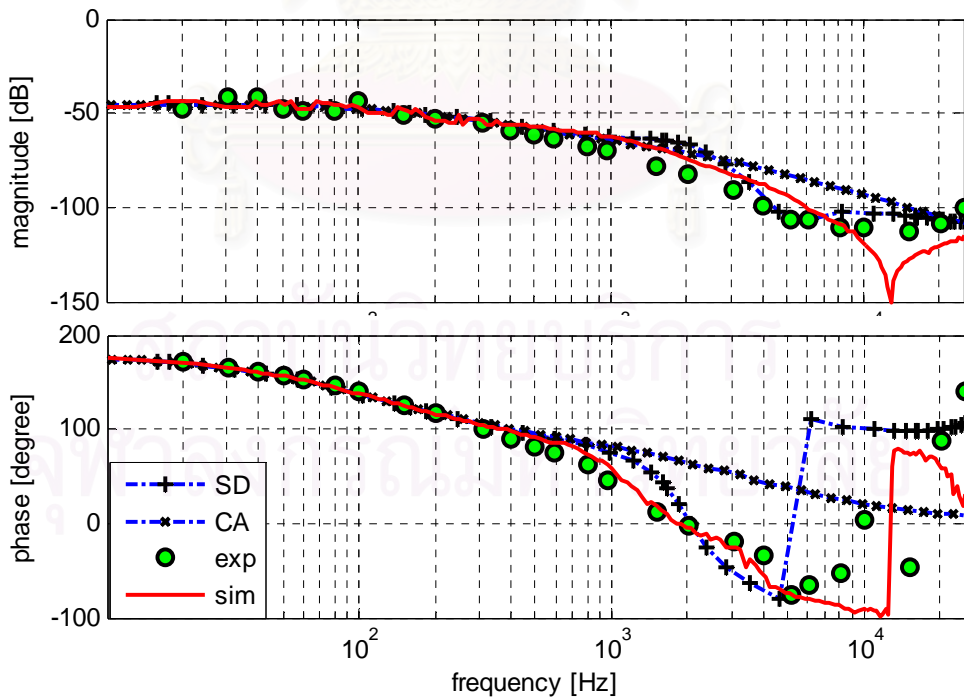
จากวิธีเฉลี่ยวงจรแบบประมาณด้วยความถี่หลักมูล (CA) นำมาจาก [5]

$$\frac{\hat{v}_c}{\hat{f}_s} = \frac{-91625.4477}{(s+23.09k) (s+738.7)}$$

โดยแสดงตำแหน่งขั้วและศูนย์กับผลตอบสนองเชิงความถี่ไว้ในรูป 5.8 (ก) กับรูป 5.8 (ข) ตามลำดับซึ่งจากรูป 5.8 (ข) จะเห็นได้ว่าในย่านความถี่น้อยกว่า 1 kHz ผลการคำนวณ ผลการจำลอง และผลการทดลองจะสอดคล้องกัน และในช่วงความถี่ 4-5 kHz ผลตอบสนองเชิงความถี่ที่ได้จากการคำนวณด้วยวิธีชักตัวอย่างข้อมูลจะเกิดการกระโดดของเฟสและที่ขนาดเกิดการพุ่งขึ้นซึ่งคิดว่าน่าจะเป็นผลของศูนย์ แต่ว่าผลตอบสนองเชิงความถี่ที่ได้จากการจำลองวงจร ก็เกิดผลของศูนย์เหมือนกันแต่อยู่ในช่วงความถี่ 10-11 kHz ซึ่งความคลาดเคลื่อนของตำแหน่งศูนย์นี้น่าจะเป็นผลมาจากการใช้ตัวคงค่าอันดับศูนย์ ซึ่งดึงให้ศูนย์ที่ความถี่สูงลงมาที่ความถี่ต่ำจนใกล้ความถี่ที่ครึ่งหนึ่งของความถี่การสวิตช์ แต่ทั้งนี้ขึ้นอยู่กับคุณลักษณะของวงจรด้วยเพราะ คุณลักษณะ HLLL นั้น ผลตอบสนองเชิงความถี่สอดคล้องกันจนถึงครึ่งหนึ่งของความถี่การสวิตช์ไม่เห็นผลของศูนย์เหมือนอย่างกับในคุณลักษณะ LLFL



รูปที่ 5.8 ก แผนภาพขั้วและศูนย์ของ \hat{v}_c / \hat{f}_s ในคุณลักษณะ LLFL



รูปที่ 5.8 ข ผลตอบสนองเชิงความถี่ของ \hat{v}_c / \hat{f}_s ในคุณลักษณะ LLFL

- ฟังก์ชัน โอนย้ายจากแหล่งกระแสด้านออกสู่แรงดันด้านออก

จากวิธีชักตัวอย่างข้อมูล (SD)

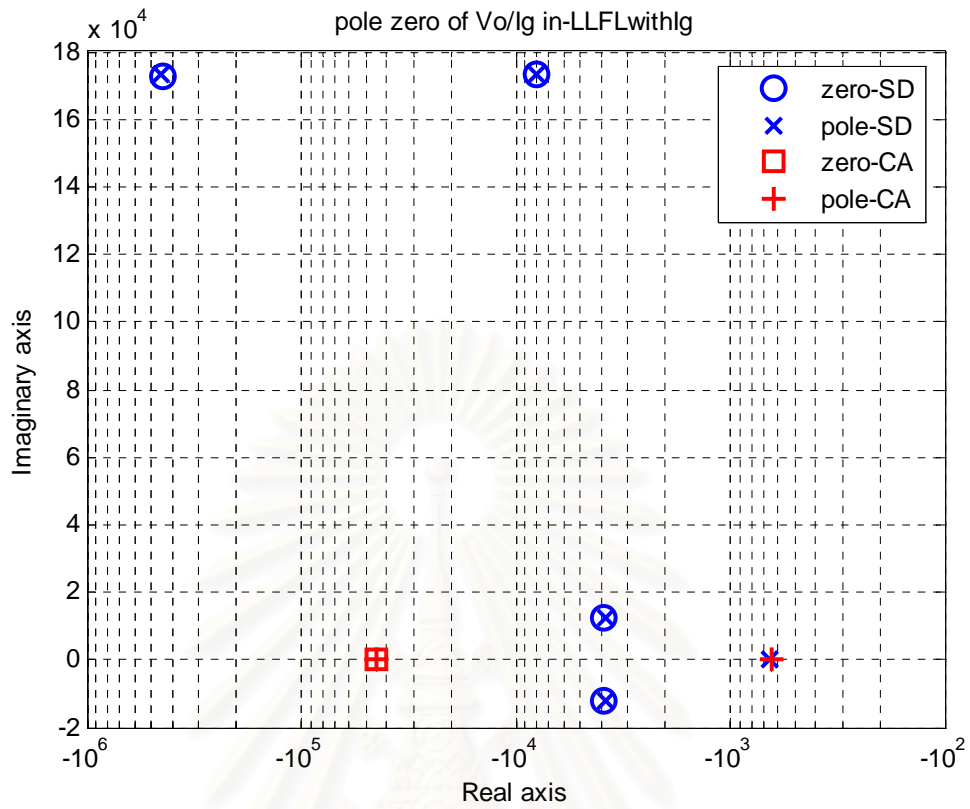
$$\frac{\hat{v}_C}{\hat{i}_G} = \frac{(15998-11i) (s+(3.877+12i)k) (s+(3.877-12i)k) (s+(446-173i)k) (s+(8.019-174i)k)}{(s+660.1) (s+(3.839+12i)k) (s+(3.839-12i)k) (s+(447-174i)k) (s+(8.018-174i)k)}$$

จากวิธีเฉลี่ยวงจรแบบประมาณด้วยความถี่หลักมูล (CA) นำมาจาก [5]

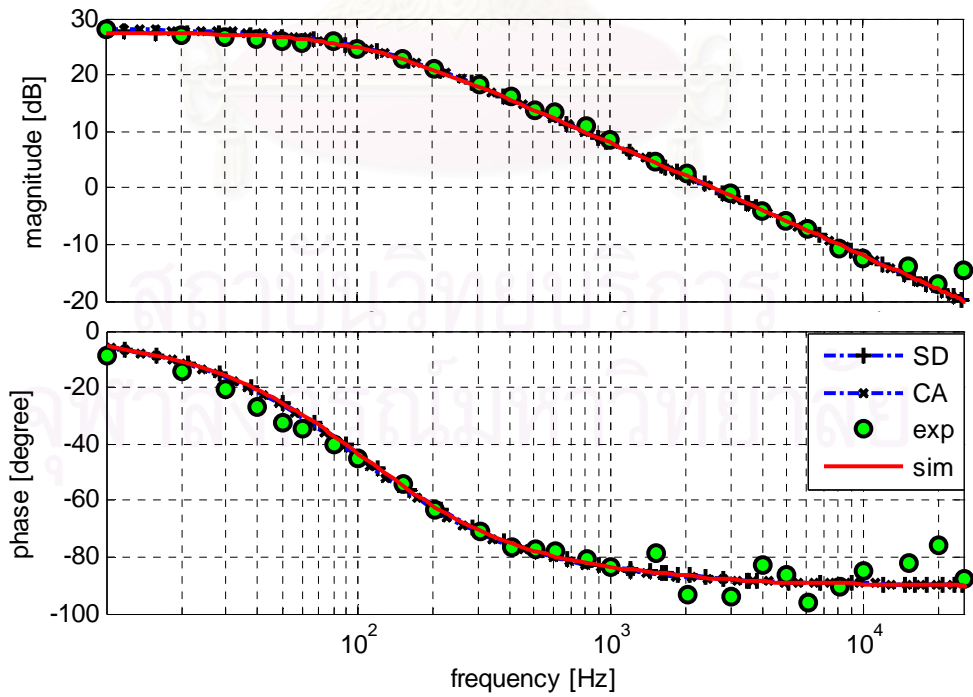
$$\frac{\hat{v}_C}{\hat{i}_G} = \frac{15974.2489 (s+45.03k)}{(s+45k) (s+635.8)}$$

โดยแสดงตำแหน่งขั้วและศูนย์กับผลตอบสนองเชิงความถี่ไว้ในรูป 5.9 (ก) กับรูป 5.9 (ข) ตามลำดับซึ่งจากรูป 5.9 (ข) จะเห็นได้ว่าในย่านความถี่ น้อยกว่าครึ่งหนึ่งของความถี่การสวิตช์ ผลการคำนวณ ผลการจำลอง และผลการทดลองจะสอดคล้องกันมาก

สถาบันวิทยบริการ
จุฬาลงกรณ์มหาวิทยาลัย



รูปที่ 5.9 ก แผนภาพขั้วและศูนย์ของ \hat{z}_O ในคุณลักษณะ LLFL- i_G



รูปที่ 5.9 ข ผลตอบสนองเชิงความถี่ของ \hat{z}_O ในคุณลักษณะ LLFL- i_G

บทที่ 6

สรุปและข้อเสนอแนะ

6.1 สรุป

จากการเปรียบเทียบผลตอบสนองเชิงความถี่ของฟังก์ชันโอนย้ายต่างๆ ของวงจรในแต่ละวิธีพบว่าวิธีเฉลี่ยวงจร จำนวนของขั้วและศูนย์ไม่ครบ เป็นผลมาจากการพิจารณาเฉพาะความถี่หลักมูล วิธีเฉลี่ยปริภูมิสถานะ ใช้กับวงจรทระดับที่ใช้กิ่งควบคุมแรงดันไม่ได้เพราะรูปคลื่นกระแสและแรงดันของตัวแปรสถานะมีค่าระลอกมาก ซึ่งได้แก่ v_{C_x} , v_{C_r} และ i_{L_r} และวิธีชักข้อมูลตัวอย่าง ผลตอบสนองเชิงความถี่ที่คำนวณได้ตามทฤษฎีมีความสอดคล้องกับผลตอบสนองเชิงความถี่การได้จากการจำลองวงจร แต่เมื่อเปรียบเทียบผลตอบสนองเชิงความถี่ที่ได้จากการทดลองด้วยวงจรจริงมีการแกว่งของค่าที่ได้จากการทดลอง เป็นเพราะในการทดลองเราไม่สามารถควบคุมตัวแปรต่างๆ ทุกตัวแปรเหมือนกับในการจำลองวงจร เช่น ความสูญเสียในอุปกรณ์

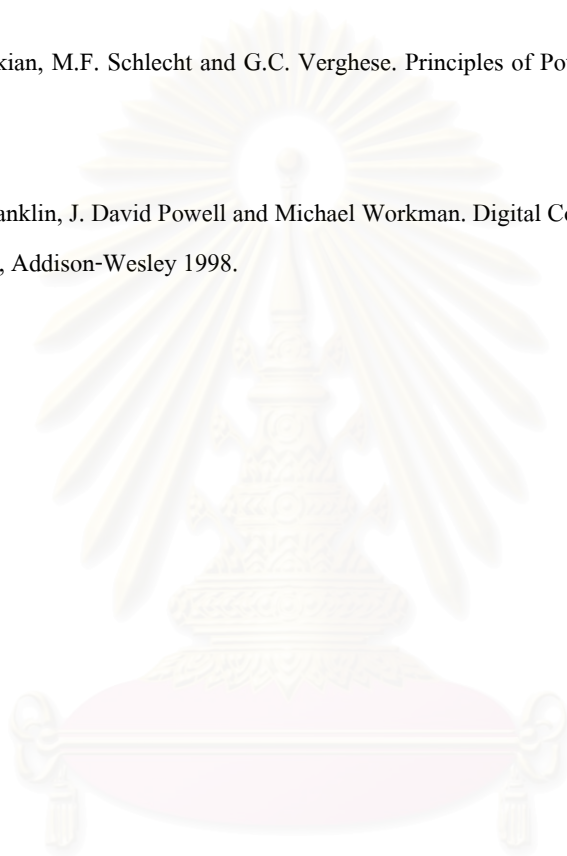
6.2 ข้อเสนอแนะ

แบบจำลองที่ได้มีข้อจำกัดในการใช้งานคือ 1. ใช้ได้เฉพาะย่านความถี่ต่ำ (น้อยกว่า $F/2$) และ 2. ใช้ได้เฉพาะสัญญาณขนาดเล็ก ดังนั้นเราจึงต้องพยายามหาเทคนิคทางคณิตศาสตร์มาช่วยในการคำนวณหาแบบจำลองหรือเปลี่ยนวิธีในการหาผลเฉลยเพื่อลดข้อจำกัดของแบบจำลองที่ได้จากการคำนวณทางทฤษฎี

รายการอ้างอิง

- [1] J.Qian, F.C. Lee and T. Yamauchi. New Continuous-Input Current Charge Pump Power-Factor-Correction Electronic Ballast, IEEE Transactions on Industry Applications, 35, 2(March-April 1999): 433-441.
- [2] โททอม อารีชา. อิเล็กทรอนิกส์กำลัง 1, กรุงเทพฯ: ซีเอ็ดดูเคชั่น 2544.
- [3] ยุทธนา กุลวิทิต. วงจรแปลงผันไฟตรงที่ใช้หน่วยควบคุมแรงดัน, การประชุมวิชาการทางวิศวกรรมไฟฟ้าครั้งที่ 24, 2544: 422-427
- [4] โสภณ อุดมรัตนานนท์ และยุทธนา กุลวิทิต. การวิเคราะห์วงจรทระดับใช้กึ่งควบคุมแรงดัน, การประชุมวิชาการทางวิศวกรรมไฟฟ้าครั้งที่ 24, 2544: 440-445
- [5] โสภณ อุดมรัตนานนท์. การศึกษาวงจรทระดับที่ใช้กึ่งควบคุมแรงดัน, วิทยานิพนธ์ปริญญาโทบริหารธุรกิจ, ภาควิชาวิศวกรรมไฟฟ้า คณะวิศวกรรมศาสตร์ จุฬาลงกรณ์มหาวิทยาลัย, 2546.
- [6] วชิระ บุรณสิทธิเวช และ ยุทธนา กุลวิทิต. การวิเคราะห์ด้านไฟตรงวงจรแปลงผันที่ใช้วงจรเรียงกระแสเป็นหน่วยควบคุม, การประชุมวิชาการทางวิศวกรรมไฟฟ้า ครั้งที่ 25, 2545: 41-45.
- [7] วชิระ บุรณสิทธิเวช. การวิเคราะห์วงจรแปลงผันที่ใช้วงจรเรียงกระแสโดยมีการตรึงแรงดันของตัวเก็บประจุ, วิทยานิพนธ์ปริญญาโทบริหารธุรกิจ, ภาควิชาวิศวกรรมไฟฟ้า คณะวิศวกรรมศาสตร์ จุฬาลงกรณ์มหาวิทยาลัย, 2546.
- [8] Vatche Vorperian. Simplified analysis of PWM converters using model of PWM switch. Continuous conduction mode, IEEE Transactions on Aerospace and Electronic Systems, 26, 3(May 1990): 490-496.
- [9] Vatche Vorperian. Simplified analysis of PWM converters using model of PWM switch. II. Discontinuous conduction mode, IEEE Transactions on Aerospace and Electronic Systems, 26, 3(May 1990): 497-505.
- [10] Arthur R. Brown and R.D. Middlebrook. Sampled-Data Modeling of Switching Regulators, IEEE Power Electronics Specialists Conference Record (June 1981): 269-282.

- [11] Vatche Vorperian and Slobodan Cuk. Small Signal Analysis of resonant converters, IEEE Power Electronics Specialists Conference Record (June 1983): 349-369.
- [12] โคม อารีชา. อิเล็กทรอนิกส์กำลัง 2, กรุงเทพฯ: ซีเอ็ดยูเคชั่น 2544.
- [13] R.W. Erickson. Fundamental of Power Electronics, First Edition, New York: Chapman & Hall. International Thomson Publishing 1997.
- [14] J.G. Kassakian, M.F. Schlecht and G.C. Verghese. Principles of Power Electronics: Addison-Wesley 1991.
- [15] Gene F. Franklin, J. David Powell and Michael Workman. Digital Control of Dynamic Systems, Third Edition, Addison-Wesley 1998.



สถาบันวิทยบริการ
จุฬาลงกรณ์มหาวิทยาลัย

ประวัติผู้เขียนวิทยานิพนธ์

นาย อนันต์ สุกราวงศ์ เกิดเมื่อวันที่ 11 เดือน กันยายน พ.ศ. 2522 ณ. จังหวัด กรุงเทพมหานครฯ สำเร็จปริญญาวิศวกรรมศาสตรบัณฑิต สาขาวิชาวิศวกรรมไฟฟ้า จากมหาวิทยาลัยเกษตรศาสตร์ ในปีการศึกษา 2543 และเข้าศึกษาต่อในหลักสูตรวิศวกรรมศาสตรมหาบัณฑิต สาขาวิชาวิศวกรรมไฟฟ้า (อิเล็กทรอนิกส์-กำลัง) ภาควิชาวิศวกรรมไฟฟ้า คณะวิศวกรรมศาสตร์ จุฬาลงกรณ์มหาวิทยาลัย ในภาคปลายของปีการศึกษา 2544



สถาบันวิทยบริการ
จุฬาลงกรณ์มหาวิทยาลัย